

168306

**YILDIZ TEKNİK ÜNİVERSİTESİ  
FEN BİLİMLERİ ENSTİTÜSÜ**

**2-NAFTALENKARBOKSİ ESTERLERİ İÇEREN  
PORFİRASİNLERİN METAL KOMPLEKSLERİNİN  
SENTEZİ VE SPEKTROSKOPİK ÖZELLİKLERİNİN  
İNCELENMESİ**

**Kimyager Onur ATAK**

**F.B.E. Kimya Anabilim Dalı  
Anorganik Kimya Programında Hazırlanan**

**YÜKSEK LİSANS TEZİ**

**Tez Danışmanı: Yard. Doç. Dr. Naciye COŞKUN**

**Prof. Dr. Ahmet Gül**

**İSTANBUL, 2005**

**Yrd. Doç. Dr. Naciye Coşkun**

## İÇİNDEKİLER

	Sayfa
KISALTMA LİSTESİ.....	iii
ŞEKİL LİSTESİ .....	iv
ÇİZELGE LİSTESİ.....	vi
ÖNSÖZ.....	vii
ÖZET.....	viii
ABSTRACT .....	ix
1. GİRİŞ.....	1
2. GENEL BİLGİLER.....	3
2.1 Tetrafirol Makrosiklik Bileşikler .....	3
2.2 Porfirinler .....	4
2.3 Ftalosiyanın .....	7
2.3.1 Ftalosiyanın Kimyasal Özellikleri.....	8
2.3.2 Ftalosiyanın Sentez Yöntemleri .....	9
2.3.3 Ftalosiyanın Kullanım Alanları.....	10
2.4 Porfirazinler.....	11
2.4.1 Porfirazinlerin Tarihçesi .....	13
2.4.2 Porfirazinlerin Mekanizması .....	13
2.4.3 Elektronik Absorpsiyon Spektroskopisi .....	15
2.4.4 Porfirazinlerin Asit-Baz Özellikleri .....	19
2.4.5 Porfirazinlerin Elektrokimyası .....	21
2.4.6 Porfirazin Sentezlerindeki Gelişmeler.....	22
2.4.7 Periferal Konumlarda Metalli Porfirazinler.....	25
2.4.8 Porfirazin Analogları.....	28
2.4.8.1 Hemiporfirazinler .....	28
2.4.8.2 Üç-Çeyrek-Azaporfirinler .....	29
2.4.8.3 Genişletilmiş Azaporfirinler .....	30
2.4.8.4 Seco-porfirazinler .....	30
2.4.8.5 Korrolazinler.....	31
2.4.8.6 $\beta$ , $\beta$ -indirgenmiş porfirazinler (Hidroporfirazinler).....	32
2.4.8.7 Subporfirazinler (ikincil porfirazinler) .....	33
2.4.9 Porfirazin Topluluk ve Kümeleri.....	33
2.4.10 Periferal Konumlarda Tiyoetil Ester Grupları İçeren Porfirazinler.....	36
2.4.10.1 Ferrosen Sübstítüe Porfirazinler .....	36
2.4.10.2 Taç Eter Sübstítüe Porfirazinler .....	37
2.4.10.3 N-Donör Sübstítüe Porfirazinler.....	38
2.4.10.4 Fosfonyum Grupları İçeren Porfirazinler .....	40
2.4.11 Porfirazinlerin Kullanım Alanları.....	42

2.4.12	Çalışmanın Amacı ve Kapsamı .....	47
3.	DENEYSEL ÇALIŞMALAR .....	48
3.1	Kimyasal Maddeler .....	48
3.2	Kimyasal Cihazlar .....	48
3.3	Solventlerin Kurutulması.....	49
3.4	Başlangıç Maddelerinin ve Yeni Maddelerin Sentezi .....	49
3.4.1	Sodyumsiyanođitijoformiyat (P1) sentezi .....	49
3.4.2	Ditiyomaleonitril disodyum tuzunun (P2) sentezi.....	50
3.4.3	1,2-bis(2-hidroksietiltiyo)maleonitril (P3) sentezi .....	50
3.4.4	[2, 3, 7, 8, 12, 13, 17, 18 -oktakis (2-hidroksietiltiyo)porfirazinato N <sup>21</sup> N <sup>22</sup> N <sup>23</sup> N <sup>24</sup> ] magnezyum (P4) sentezi.....	51
3.4.5	{2, 3, 7, 8, 12, 13, 17, 18-oktakis [2 <sup>1</sup> -(2-naftalenkarboksi)etiltiyo] porfirazinato N <sup>21</sup> N <sup>22</sup> N <sup>23</sup> N <sup>24</sup> } magnezyum(II) Sentezi (P5) .....	52
3.4.6	{2, 3, 7, 8, 12, 13, 17, 18-oktakis [2 -(2-naftalenkarboksi)etiltiyo] H <sup>21</sup> H <sup>23</sup> porfirazin N <sup>21</sup> N <sup>22</sup> N <sup>23</sup> N <sup>24</sup> } (P6) Sentezi .....	53
3.4.7	{2, 3, 7, 8, 12, 13, 17, 18-oktakis [2 <sup>1</sup> -(2-naftalenkarboksi)etiltiyo] porfirazinato N <sup>21</sup> N <sup>22</sup> N <sup>23</sup> N <sup>24</sup> }kobalt(II) Sentezi CoPz (P7) .....	54
3.4.8	{2, 3, 7, 8, 12, 13, 17, 18-oktakis [2 -(2-naftalenkarboksi)etiltiyo] porfirazinato N <sup>21</sup> N <sup>22</sup> N <sup>23</sup> N <sup>24</sup> }nikel (II) Sentezi NiPz (P8) .....	54
3.4.9	{2, 3, 7, 8, 12, 13, 17, 18-oktakis [2 <sup>1</sup> -(2-naftalenkarboksi)etiltiyo] porfirazinato N <sup>21</sup> N <sup>22</sup> N <sup>23</sup> N <sup>24</sup> }çinko (II) Sentezi ZnPz (P9).....	55
4.	SONUÇLAR ve TARTIŞMA .....	56
	KAYNAKLAR.....	79
	ÖZGEÇMIŞ.....	84

## KISALTMA LİSTESİ

AcOH	Asetik asit
CH <sub>2</sub> Cl <sub>2</sub>	Diklorometan
CHCl <sub>3</sub>	Kloroform
CoPz	Kobalt porfirazin
CuPc	Bakır ftalosiyanyanın
CF <sub>3</sub> COOH	Trifloroasetikasit
CV	Sıklık voltametre
DCCI	Disikloheksilikarbodiimid
DCU	Disikloheksilüre
DMF	Dimetilformamid
DMSO	Dimetilsülfoksit
DNA	Deoksiribonükleikasit
E.N.	Erime Noktası
ESR	Elektron spin rezonans
FePc	Demir ftalosiyanyanın
FT-IR	Fourier Transform Infrared
H <sub>2</sub> O	Su
H <sub>2</sub> SO <sub>4</sub>	Sülfürik asit
H <sub>2</sub> Pz	Metalsız porfirazin
H <sub>2</sub> Pc	Metalsız Ftalosiyanyanın
HCl	Hidroklorik asit
HOMO	En yüksek enerjili dolu moleküller orbital
IR	Infra-red (Kızıl Ötesi)
LUMO	En düşük enerjili boş moleküller orbital
M	Metal atomu
MPc	Metalli ftalosiyanyanın
MPz	Metalli porfirazin
MgPz	Magnezyum porfirazin
NiPz	Nikel porfirazin
NMR	Nükleer Manyetik Rezonans
NLO	Nonlineer optik
Pc	Ftalosiyanyanın
PDT	Fotodinamik terapi
TLC	İnce Tabaka Kromatografisi (Thin Layer Chromatography)
THF	Tetrahidrofuran
TPP	Tetrafenilporfirin
UV-vis	Ultraviyole-visible (morötesi-görünür)
ZnPz	Çinko porfirazin

## ŞEKİL LİSTESİ

Şekil 2.1	Substütie olmamış Porfirin, Porfirazin ve Ftalosiyinan .....	3
Şekil 2.2	Porfirin sentez yöntemi .....	6
Şekil 2.3	Porfirin Analoglari .....	6
Şekil 2.4	Ftalosiyinanlerinin sentez yöntemleri .....	9
Şekil 2.5	Sübstitüe olmamış porfirazinlerin hazırlanması .....	11
Şekil 2.6	Sübstitüe olmuş simetrik porfirazinlerin sentezi .....	11
Şekil 2.7	Asimetrik porfirazinlerin iki dinitrilden sentezi .....	12
Şekil 2.8	Porfirazinlerde siklik yapının olası mekanizması .....	14
Şekil 2.9	Gouterman'ın dört-orbital modeli .....	16
Şekil 2.10	Ftalosiyinanlerde kullanılan uyarılmış absorpsiyon modelinden türetilen beş-enerji düzeyi sistemi .....	18
Şekil 2.11	Diklorometan içindeki $M[Pz(A_2B_2)]$ 'lerin absorpsiyon ve emisyon spektrumları ( $A=(S-R)_2$ , trans durumda, $B=4,7\text{-diisopropiloksibenzo}$ ) .....	18
Şekil 2.12	Protonlanmış metalloporfirazinler için HOMO ve LUMO enerji düzeyi diyagramı .....	19
Şekil 2.13	$(HSO_4)IrOPTAP$ molekülünün asit-baz etkileşimleri sırasında elektron absorpsiyon spektrumundaki değişimler .....	20
Şekil 2.14	Porfirazin molekülü ile etkileşen piridin için olası yapı .....	21
Şekil 2.15	Sülfür-metil eter porfirazinlerin sentezi .....	22
Şekil 2.16	Demir(II) ve Fe(III) okta S-etil porfirazinlerin hazırlanması .....	23
Şekil 2.17	Alkenil(sulfanil) porfirazin ( $M= Cu^{2+}, Co^{2+}, Ni^{2+}$ ) .....	24
Şekil 2.18	Oktakis(benziltiyo) tetraazaporfirinin sterokimyasal yapısı .....	24
Şekil 2.19	Okta S-benzil porfirazinler ve periferal konumlarda metal bileşikleri .....	25
Şekil 2.20	Tetrakis(difosfinonikel)-star-(porfirazin)-oktatiyolat kompleksleri .....	26
Şekil 2.21	Taç eter sübstitüe porfirazinlerin hazırlanması .....	26
Şekil 2.22	Polinükleer soliter-porfirazin-tiyolatlar .....	27
Şekil 2.23	Sülfür bağlı cis-gemini ve trans-gemini porfirazinlerin sentezi .....	28
Şekil 2.24	Hemiporfirazinlerin sentezi .....	29
Şekil 2.25	Üç-çeyrek-azaporfirinler .....	29
Şekil 2.26	Genişletilmiş azaporfirinler .....	30
Şekil 2.27	Seco-porfirazinlerin sentezi .....	30
Şekil 2.28	Diseco-porfirazinlerin sentezi .....	31
Şekil 2.29	Korrolazinlerin genel sentezi .....	31
Şekil 2.30	Porfirazinlerin hidrojenlenme reaksiyonu .....	32
Şekil 2.31	Kararlı yapılı hidroporfirazinlerin sentezi .....	32
Şekil 2.32	Subporfirazinler (ikincilporfirazinler) .....	33
Şekil 2.33	Merdiven tip porfirazinler .....	33
Şekil 2.34	Metal bağlı porfirazin kümeleri .....	34
Şekil 2.35	Lutesyum sandviç komplekslerinin hazırlanması .....	35
Şekil 2.36	Zirkonyum sandviç kompleksleri .....	35
Şekil 2.37	Seryum sandviç kompleksler .....	35
Şekil 2.38	$CoPz$ 'nin $MeCN$ 'de alınan CV'si .....	36
Sekil 2.39	Oktakis(ferrosen)-sübstitüe porfirazin türevleri .....	37
Sekil 2.40	Oktakis(krown-eter)sübstitüe porfirazin türevleri .....	38
Sekil 2.41	$MgPyPz$ molekülü .....	39
Sekil 2.42	Oktakatyonik porfirazin ( $QMgPyPz$ ) .....	39
Sekil 2.43	Vanadil bis(asetylaseton) içeren oktakis(4-piridoksi)porfirazinatomagnezyum ..	40
Sekil 2.44	a) $VO(acac)_2$ ve b) supramoleküle ait X-band EPR spektrumları .....	40
Şekil 2.45	{Oktakis[trifenil-(2-sülfonil-etoxsikarbonil-2-	

Şekil 2.46	{propil)fosfonyum]ilporfirazinatomagnezym}-oktabromür .....	41
	{Oktakis[trifenil-(2-sülfonil-etoksikarbonil-2-propil)fosfonyum]il porfirazinatomagnezym}-oktaperklorat.....	42
Şekil 2.47	Porfirazin photosensitizer (ışığa duyarlı).....	44
Şekil 2.48	Sübstítüe tetra[6,7]kinoksalino (photosensitizer (ışığa duyarlı)) .....	44
Şekil 2.49	Fotokromik proses.....	46
Şekil 2.50	Porfirazin yapılar ve Au yüzeye tek tabaka halinde yönlenmesi .....	46
Şekil 3.1	Sodyumsiyanođitiyoformiyat (P1) .....	49
Şekil 3.2	Dityomaleonitril disodyum tuzu (P2) .....	50
Şekil 3.3	1,2-bis(2-hidroksietiltiyo)maleonitril (P3) .....	51
Şekil 3.4	Oktakis (2-hidroksietiltiyo) porfirazinato magnezym (P4).....	51
Şekil 3.5	2-Naftoik asit sübstitüe porfirazin (P5).....	52
Şekil 3.6	Metalsız porfirazin (P6) .....	53
Şekil 3.7	Metal porfirazin türevleri (P7), (P8) ve (P9).....	55
Şekil 4.1	1,2-bis(2-hidroksietiltiyo)maleonitrilin IRspektrumu.....	61
Şekil 4.2	1,2-bis(2-hidroksietiltiyo)maleonitrilin $^1\text{H}$ NMR spektrumu.....	62
Şekil 4.3	[2, 3, 7, 8, 12, 13, 17, 18 -oktakis (2-hidroksietiltiyo)porfirazinato $\text{N}^{21}\text{N}^{22}\text{N}^{23}\text{N}^{24}]$ magnezymun IR spektrumu.....	63
Şekil 4.4	[2, 3, 7, 8, 12, 13, 17, 18-oktakis(2-hidroksietiltiyo)-porfirazinato $\text{N}^{21}\text{N}^{22}\text{N}^{23}\text{N}^{24}]$ magnezymun UV-görünür bölge spektrumu.....	64
Şekil 4.5	{2, 3, 7, 8, 12, 13, 17, 18-oktakis[2 -(2-naftalenkarboksi)etiltiyo]porfirazinato $\text{N}^{21}\text{N}^{22}\text{N}^{23}\text{N}^{24}}$ }magnezymun IR spektrumu.....	65
Şekil 4.6	{2, 3, 7, 8, 12, 13, 17, 18-oktakis [2 -(2-naftalenkarboksi)etiltiyo] porfirazinato $\text{N}^{21}\text{N}^{22}\text{N}^{23}\text{N}^{24}}$ }magnezymun UV-Görünür Bölge spektrumu.....	66
Şekil 4.7	{2, 3, 7, 8, 12, 13, 17, 18-oktakis [2 -(2-naftalenkarboksi)etiltiyo] porfirazinato $\text{N}^{21}\text{N}^{22}\text{N}^{23}\text{N}^{24}$ }magnezymun $^1\text{H}$ NMR spektrumu.....	67
Şekil 4.8	{2, 3, 7, 8, 12, 13, 17, 18-oktakis [2 -(2-naftalenkarboksi)etiltiyo] $\text{H}^{21}\text{H}^{23}$ porfirazinin $\text{N}^{21}\text{N}^{22}\text{N}^{23}\text{N}^{24}$ IR spektrumu.....	68
Şekil 4.9	{2, 3, 7, 8, 12, 13, 17, 18-oktakis [2 -(2-naftalenkarboksi)etiltiyo] $\text{H}^{21}\text{H}^{23}$ porfirazin $\text{N}^{21}\text{N}^{22}\text{N}^{23}\text{N}^{24}$ }UV-Görünür spektrumu.....	69
Şekil 4.10	{2, 3, 7, 8, 12, 13, 17, 18-oktakis [2 -(2-naftalenkarboksi)etiltiyo] $\text{H}^{21}\text{H}^{23}$ porfirazin $\text{N}^{21}\text{N}^{22}\text{N}^{23}\text{N}^{24}$ } $^1\text{H}$ NMR spektrumu.....	70
Şekil 4.11	{2, 3, 7, 8, 12, 13, 17, 18-oktakis [2 -(2-naftalenkarboksi)etiltiyo] $\text{H}^{21}\text{H}^{23}$ porfirazinin $\text{N}^{21}\text{N}^{22}\text{N}^{23}\text{N}^{24}$ } $^{13}\text{C}$ NMR spektrumu.....	71
Şekil 4.12	{2, 3, 7, 8, 12, 13, 17, 18-oktakis [2 -(2-naftalenkarboksi)etiltiyo] porfirazinato $\text{N}^{21}\text{N}^{22}\text{N}^{23}\text{N}^{24}$ }kobalt(II)nин IRspektrumu .....	72
Şekil 4.13	{2, 3, 7, 8, 12, 13, 17, 18-oktakis [2 -(2-naftalenkarboksi)etiltiyo] porfirazinato $\text{N}^{21}\text{N}^{22}\text{N}^{23}\text{N}^{24}$ }kobalt(II)'nin UV-Görünür Bölges pektrumu.....	73
Şekil 4.14	{2, 3, 7, 8, 12, 13, 17, 18-oktakis [2 -(2-naftalenkarboksi)etiltiyo] porfirazinato $\text{N}^{21}\text{N}^{22}\text{N}^{23}\text{N}^{24}$ }nikel(II)'nin IR spektrum.....	74
Şekil 4.15	{2, 3, 7, 8, 12, 13, 17, 18-oktakis [2 -(2-naftalenkarboksi)etiltiyo] porfirazinato $\text{N}^{21}\text{N}^{22}\text{N}^{23}\text{N}^{24}$ }nikel(II)'nin UV-Görünür Bölge spektrumu.....	75
Şekil 4.16	{2, 3, 7, 8, 12, 13, 17, 18-oktakis [2 -(2-naftalenkarboksi)etiltiyo] porfirazinato $\text{N}^{21}\text{N}^{22}\text{N}^{23}\text{N}^{24}$ }çinko(II)'nin IR spektrumu.....	76
Şekil 4.17	{2, 3, 7, 8, 12, 13, 17, 18-oktakis [2 -(2-naftalenkarboksi)etiltiyo] porfirazinato $\text{N}^{21}\text{N}^{22}\text{N}^{23}\text{N}^{24}$ }çinko(II)'nun UV-Görünür Bölge spektrumu.....	77
Şekil 4.18	Farklı konsantrasyonlardaki ZnPz (P9)'un emisyon spektrumları.....	78

## **ÇİZELGE LİSTESİ**

Çizelge 2.1 Değişik porfirazin ve benzerlerinin Uv. Vis. spektrumları..... 15



## **ÖNSÖZ**

Yıldız Teknik Üniversitesi Fen-Edebiyat Fakültesi Kimya Bölümü’nde Yüksek Lisans araştırmamı yapabilmem için gerekli imkanları sağlayan Anorganik Kimya Anabilim Dalı Başkanı Sayın Prof. Dr. Ulvi Avcıata'ya;

Bu çalışmanın gerçekleşmesinde bana yol gösteren, gerek tezin hazırlanmasında gerek laboratuvara yapılan çalışmalarда, ilgi ve anlayışıyla yardımcı olan ve her türlü konuda bilgi ve desteğini benden esirgemeyen değerli hocam ve tez danışmanım Sayın Yard. Doç.Dr. Naciye Coşkun'a;

Çalışmalarımız süresince bize destek olan ve önerileriyle yol gösteren Sayın Prof. Dr. Ahmet Gül'e ;

Her zaman ve her konuda bilgi ve tecrübeleri ile bana yol gösteren değerli hocam Sayın Prof. Dr. Sabiha Manav Yalçın'a;

Laboratuvar çalışmalarına katkıda bulunan tüm Anorganik Kimya Anabilim Dalı elemanlarına;

Hayatım boyunca beni maddi ve manevi her konuda destekleyen değerli annem, babam ve kardeşim;

En içten saygı ve teşekkürlerimi sunarım.

## ÖZET

Porfirinler, ftalosiyaniner, tetrabenzoporfirinler ve porfirazinler, tetraapirol türevleri olarak adlandırılırlar. Bu yapılar elektrofotografi, optik veri toplanması, gaz sensör, sıvı kristal, tümörlerin fotodinamik terapisi pigment ve boyalar gibi pek çok alanda uygulama alanı vardır. Porfirazinler gösterdikleri yüksek simetri, düzlemsel yapı ve elektron delokalizasyonu nedeniyle, kimyacilar ve spektroskopistler için çalışma konusu olmuştur.

Bu çalışmanın amacı, periferal konumlarda sekiz adet naftalenkarboksi grubu taşıyan yeni bir porfirazin türevi hazırlanmasıdır. Periferal konumlarda sübstitüe gruplar bulunan porfirazinler ilginç optik, manyetik ve elektronik özellikler sergileme potansiyaline sahiptir.

1,2-bis(hidroksietiltiyo)maleonitril bileşigi, disodyum tuzu halindeki başlangıç maddesinin 2-brometanol ile mutlak alkol (etanol) içerisinde 3 gün süren reaksiyonu sonucu elde edilmiştir. Magnezyum, n-propanol ve bis(2-hidroksietiltiyo)maleonitrilin siklotramerizasyon reaksiyonu ile magnezyum porfirazin (P4) sentez elde edildi. Porfirazin üzerindeki OH gruplarının karboksilik asit ile esterleşme reaksiyonuna sokulmasıyla naftalenkarboksi sübstitüe porfirazinler elde edilmiştir. Naftalen sübstitüe magnezyum porfirazin, (P5) trifloroasetik asit ile muamele edilerek metalsiz porfirazine (P6) elde edilmiştir. Bu ürünün bir sonraki reaksiyonunda, çeşitli metal tuzları (kobalt(II) asetat, nikel(II) asetat ve çinko(II) asetat) ile reaksiyona sokulması ile (M=Co (P7), Ni (P8) ve Zn (P9)) metalli (MPz) porfirazinler elde edilmiştir. Elde edilen ürünlerin UV, IR, <sup>1</sup>H NMR ve <sup>13</sup>C NMR spektrumları incelenmiş ve karakterize edilmiştir..

**Anahtar Kelimeler:** porfirazin, tetraazaporfirin, 2-naftoik asit

## **ABSTRACT**

Tetrapyrrolic macrocyclic ring systems are porphyrins, tetraazaporphyrins, phthalocyanines and porphyrazines. These compounds have been used electrophotography, optical data, photodynamic therapy of tumors, liquid crystals, pigments and dyes. Porphyrazines have been of considerable interest to spectroscopists and theoreticians for their high symmetrical, planar structure and electron delocalisation.

In the present work our aim has been prepared to different peripheral porphyrazines which include eight napthalencarboxy groups. Peripherally-functionalized porphyrazines have the potential to exhibit novel optical, magnetic and electronic properties.

1,2-bis(hydroxyethylthio)maleonitrile has been obtained from the reaction of disodium salt, 2-bromoethanol and ethanol at three days. MgPz (P4) has been synthesized through the cyclotetramerization reaction of magnesium and n-propanol with bis(2-hydroxyethylthio)maleonitrile. Naphalenecarboxy substitue porphyrazines (P5) have been obtained from the esterification reaction of 2-naphthoic acid and OH groups on the porphyrazine molecule. The metal free porphyrazine (P6) derivative was obtained by its treatment with trifluoroacetic acid and further reaction of this product with cobalt(II) acetate, nickel(II) acetate and zinc(II) acetate led to the metal porphyrazine (MPz, M=Co (P7), Ni (P8) ve Zn (P9)). These new compounds have been investigated and characterized by UV, FT-IR, <sup>1</sup>H NMR, ve <sup>13</sup>C NMR analysis methods.

**Keyword :** porphyrazine, tetraazaporphyrin, 2-naphthoic acid

## 1. GİRİŞ

Porfirinler, ftalosiyaninler, tetrabenzoporfirinler ve porfirazinler, tetraapirol türevleri olarak gruplandırılabılır. Bu grubun üyelerinden olan porfirinler ve ftalosiyaninler boyar madde, pigment ve ileri teknoloji malzemesi olarak araştırmacıların dikkatini çekmiştir. Porfirinler biyolojik açıdan büyük önem taşımaktadır. Bunun yanında kataliz, zengin koordinasyon kimyası ve malzeme bilimindeki uygulamaları ile de ilgi çekmektedir. Ftalosiyaninler boyar madde ve pigment olarak kullanılması yanında enerji dönüşümü, optik veri toplanması, elektrofotografi, sıvı kristal, lazer teknolojisi ve tümörlerin fotodinamik terapisi gibi bir çok alanda uygulaması bulunmaktadır. Ftalosiyaninlerin özellikleri sübstituentlerin yapısına ve çeşidine göre değişiklik gösterir (Kobayashi, 2001; McKeown, 1999; Luk'yanets, 1992; Poon vd., 2001). Ayrıca gösterdikleri yüksek simetri, düzlemsel ve elektron delokalizasyonu nedeniyle, porfirin ve ftalosiyaninler teorik kimyacılar ve spektroskopistler için çalışma konusu olmuştur.

Porfirazinler ilk kez 1937 yılında sentezlenmiştir. Linstead ve Cook difenilmaleonitril ve magnezyum tozunu reaksiyona sokup % 92 verim ile Mg-porfirazin elde etmişlerdir (Cook ve Linstead, 1937). 1970 yılından sonra Luk'yanets grubu çok sayıda çözünür porfirazin elde etmeyi başarmıştır. Serbest porfirazin molekülünün yerleşik sistemi karşılıklı olarak çok simetriktir ve iç kromoforun  $18\pi$  elektronu vardır. Porfirin halkası amfoter özellik taşımaktadır. Porfirazin molekülü bir çok metal ile kompleks oluşturabilmektedir.

Porfirazinler ve ftalosiyaninler benzer yapısal özellikler gösterir. Bununla birlikte porfirazinler, ftalosiyaninlere göre daha az çalışılmış yapılardır (van Nostrum ve Nolte, 1996; Pullen vd., 1999; Khelevina vd., 2000). Katı hal etkileşimlerinde S (küükürt) donör atomlarının önemli bir rol oynadığı, Hoffman ve arkadaşları tarafından oktakis(alkiltiyo)porfirazin türevlerinin sentezlenmesiyle belirlenmiştir. Ayrıca sentezlenen çok sayıdaki türevlerin fiziksel ve kimyasal özelliklerini ftalosiyaninler ile karşılaştırılmışlardır (Schramm ve Hofmann, 1980)

Porfirazin çekirdeğine periferal konumlarda bağlı fonksiyonel gruplar ftalosiyaninlere göre daha kolay hazırlanabilmekte ve daha kararlı halde kalabilmektedir. Periferal pozisyonlarda sübstitüe gruplar bulunan porfirazinler ilginç optik, manyetik ve elektronik özellikler sergileme potansiyaline sahiptir. Aynı zamanda periferal konumlarda sübstituent içerenler, ana molekül yapısına kıyasla daha iyi çözünürlük göstermektedir.

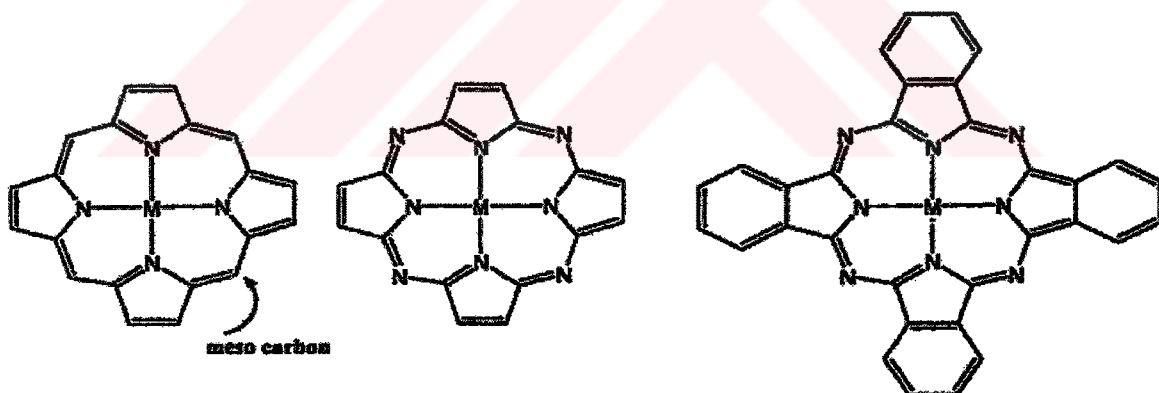
Porfirazin makrohalkasının merkezinde bulunan metal iyonu, moleküler özelliklerin geliştirilmesinde ve kontrol edilmesinde yapıya bir çok yeni özellikler kazandırır. Metalloporfirazinlerin optik sınırlayıcı etki gösterdiği tespit edilmiştir. Bu özelliği ftalosiyanın ve naftalosiyanın türevleri ile kaşılaştırılma imkanı sağlamıştır (van Nostrum ve Nolte, 1996; Pullen vd., 1999; Khelevina vd., 2000). Tetraapirol türevleri arasında bulunan ftalosiyanın ve porfirinlerin yaklaşık 70 metal iyonu ile oluşturduğu kompleksler çok iyi karakterize edilmiştir. Ancak metalloporfirazinler için benzer bir durumdan bahsetmek çok zordur. Çünkü 50 yıla varan ilk sentezlerinden beri yeteri kadar dikkatleri üzerine toplayamamışlardır. Doymamış 1,2-dinitril bileşiği sentezinde kalıcı yöntemlerin geliştirilmesi sonucunda porfirazinlerin sentezlenmesi diğer tetraapirol türevlerine paralel olarak artmıştır.

## 2. GENEL BİLGİLER

### 2.1 Tetrapiro Makrosiklik Bileşikler

En az dokuz üyeli ve en az üç hetero atomu olan halkalı bileşiklere, makrosiklik bileşikler denir. Hetero atom olarak aynı cins veya değişik cins atomlar (O, N, S) aynı makrosiklik bileşik üzerinde olabilir. Makrosiklik ligandları içeren koordinasyon bileşikleri bu yüzyılın başından beri bilinip üzerinde çalışmasına rağmen son yillarda kadar bu bileşiklerin çeşitleri ve üye sayıları oldukça sınırlı kalmıştır. Porfirinler ve benzeri yapıdaki ftalosiyanın pigmentleri ilk sentezlenen makrosiklik bileşikleridir (Constable, 1990).

Porfirinler, porfirazinler ve ftalosiyanın tetrapiro türevleridir. Bu yapılar, son yıllarda hem temel bilim, hem de uygulamalı çalışmalarında üzerinde durulan konulardan birini oluşturmaktadır (McCleverty ve Meyer, 2004). Porfirin, dört pirol biriminin birbirine metin (-CH=) köprüleriyle bağlanması sonucu oluşur. Porfirazin, dört pirol biriminin birbirine aza (-N=) fonksiyonel gruplarının ile bağlanması sonucu meydana gelir. Ftalosiyanın ise porfirazin yapısına benzo gruplarının bağlanması sonucu oluşur (Şekil 2.1).



Şekil 2.1 Substütie olmamış Porfirin, Porphrazin ve Ftalosiyanın

Yukarıda şekilde görülen tetrapiro türevlerinin ortak özelliği konjuge, düz makrosiklik çekirdektir. Bu çekirdek dört pirol biriminin birbirine metin (-CH=) köprüleriyle bağlanması sonucu meydana gelir. Koordinasyon bileşiklerinden olan tetrapiro türevleri pratik ve teorik olarak yoğun bir şekilde üzerinde çalışılan bileşiklerdir (Lezoff ve Lever 1993). Porfirin

ligandının reaksiyon merkezi ( $N_4H_2$ ), pirol halkasının dört azot atomu ve iki imino hidrojen atomunun katkısıyla oluşmuştur (Stuzhin ve Khelevina 1996). Metalloporfirin oluşumundaki kinetik özelliklerinde, reaksiyon merkezinin yapısı ve porfirin molekülünün elektronik ve geometrik yapısının önemli etkileri vardır (Berezin 1981). Ligand ve metal arasındaki sterik uygunluğun derecesini belirlemede koordinasyon halkasının ortasındaki boşluğun boyutları önemli bir yer tutar.

Tetraapirol ligandlarının bir diğer önemli özelliğide metal iyonlarını kendine koordine edebilme yeteneğidir (Stuzhin ve Khelevina 1996). Porfirin ligandlarına metal iyonu sokulmasının reaksiyon mekanizması ve kinetiği üzerine yapılan bir çok çalışma ve elde edilen sonuçlar bir çok eserde anlatılmıştır (Hambright, 1971; Chen ve Tulinsky, 1972; Scheider, 1975; Berezin, 1981). Tetraapirol türevi makrosiklik bileşikler, kararlı yapıları ve konjuge  $\pi$ -elektron sistemleri ile katalizör olarak kullanılmaya yakın bileşiklerdir. Ayrıca gösterdikleri yüksek simetri, düzlemsellik ve elektron delokalizasyonu önemli özelliklerini arasındadır. Porfirinler ve ftalosiyaniner, diğer tetraapirol türevi bileşikleri olan tetrabenzoporfirin ve porfirazinlere göre daha fazla çalışılmıştır.

## 2.2 Porfirinler

Porfirinler, yapısında dört pirol halkası bulunan makrosiklik bileşiklerdir. Dört pirol halkasının metin (-CH=) köprüleriyle birbirine bağlanması sonucu oluşurlar. Doğada bulunan porfirinler, porfirin çekirdeğindeki hidrojenlerin yerine çeşitli yan grupların (asetil, propil, metil, vinil vs) bağlanmasıyla meydana gelir.

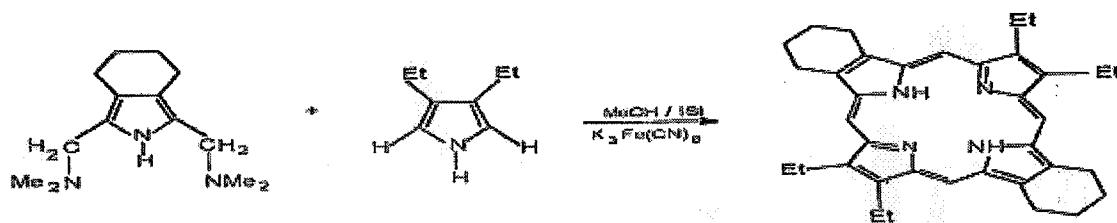
Porfirinlerin karakteristik bir özelliği, pirol halkalarının azot atomlarına metal iyonlarının bağlanarak kompleks oluşturmasıdır. Metalloporfirinlerin canlı hayatındaki bir çok mekanizmada önemli görevleri bulunur. Hemoglobin molekülündeki demirli porfirin olan hem grubu, bitkilerde fotosentezden sorumlu olan ve içinde demir yerine magnezyum bulunan klorofil molekülü iyi birer örnektir. Metalloporfirinler biyolojik olaylarda önemli görevleri olan bir çok bileşiği oluşturmak üzere proteinlere bağlanırlar. Hemoglobin, miyoglobin, sitokrom, katalaz örnek verilebilir.

Hemoglobin ve miyoglobin, oksijeni bağlayan ve dolaşım sistemi ile bütün organ ve dokulara hızlı taşınmasını sağlayan moleküllerdir. Hemoglobin  $2\alpha, 2\beta$  olmak üzere, dört tane polipeptid zinciri içeren oligomerik bir proteindir. Hemoglobin dokulara gerekli oksijeni sağlar ve oluşan karbondioksiti dokulardan uzaklaştırır. Miyoglobin ise tek bir polipeptid zincirinden meydana gelen, mol kütlesi 18 bin dolayında, 153 amino asitten oluşan küçük bir proteindir. Bu molekül, oksijeni depolar ve oksijen basıncının düşüğü durumlarda serbest bırakarak acil oksijen ihtiyacını karşılar (Pamuk, 2000).

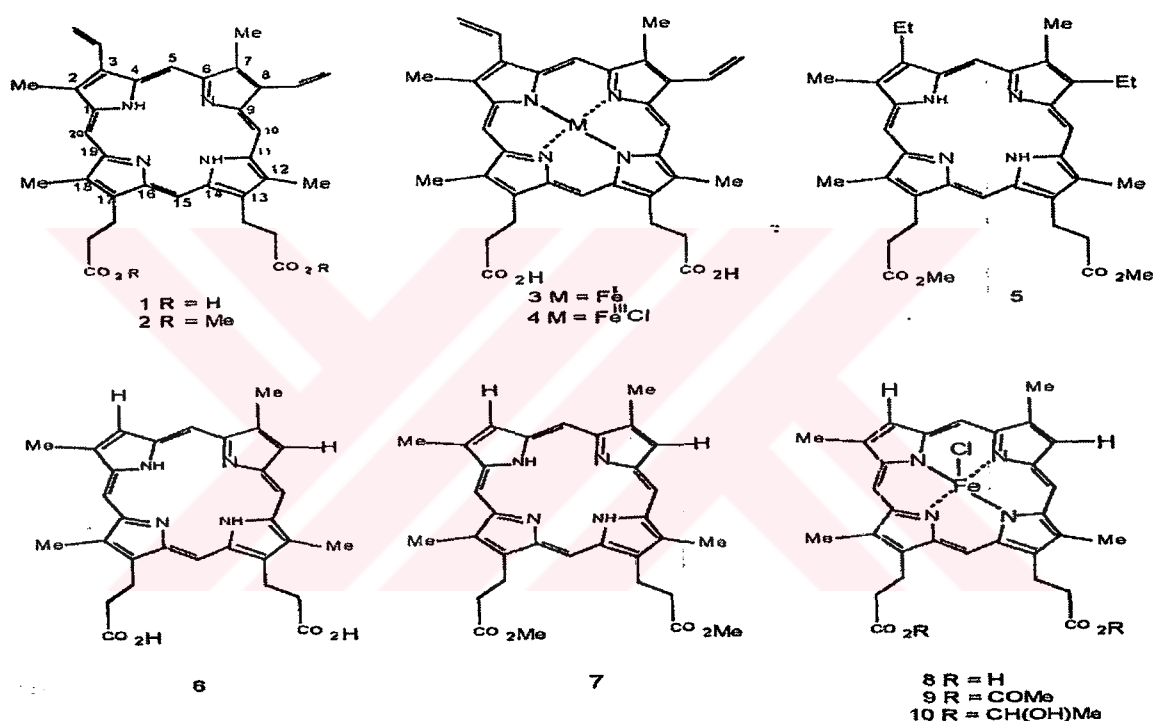
Fotosentetik hücrelerde güneşten gelen görünürlük ve UV bölgedeki ışınların absorplanabilmesi için çeşitli pigmentler bulunur. Klorofil yüksek bitki türlerinde en çok bulunan pigmenttir. Klorofillin a ve b olmak üzere iki tipi vardır. Klorofilden başka karetenoit ve fikobilin gibi pigmentler de bulunur. Bu moleküller görünürlük bölgede absorpsiyon yapan konjuge çift bağlar içermektedirler. Klorofil molekülü, ışık enerjisini tutarak bunun kimyasal enerjiye çevrilmesine yardım etmektedir. Hem molekülü ile benzer bir porfirin halkası içerir. Aralarındaki belirgin farklardan biri, hem molekülünün merkezindeki demir atomu yerine klorofil molekülünde magnezyum atomunun bulunmasıdır.

Sitokromlar demir porfirin sistemi içerir ve sadece aerobik hücrelerde bulunurlar. Hücredeki miktarı solunum aktivitesine bağlıdır. Örneğin, kalp kaslarında bol miktarda, karaciğer, böbrek ve beyinde daha az miktarda sitokrom vardır. Mitokondri iç zarında sitokrom a, b ve c olmak üzere üç çeşit sitokrom bulunur. Bunların bazıları tekrar alt gruptara ayrırlırlar. Bütün sitokromların ortak özelliği merkezinde demir atomu içeren porfirin halkası içermeleridir. Porfirin halkasına bağlı sübstüentler farklılık gösterir. Sitokromlar, elektron taşımakla görevli olan proteinlerdir (Pamuk, 2000).

Porfirinlerin genel sentez yöntemleri, genellikle, aldehitlerin, piroller ile asit katalizli kondensasyonlarını içerir. Bir dimetil esteri olan (2) numaralı ve doğal porfirin molekülü olarak seçilen protoporfirin (9) (Şekil 2.3) pek çok çalışmada kullanılmıştır. Heme (3) (Şekil 2.3),  $\text{Fe}^{2+}$ (1)'in kompleksidir ve hemoglobin, miyoglobin ve heme proteinlerin içinde yer alır. Porfirinler, hemden, monopirollerin tetramerizasyonundan yada dipirolmetan kullanımıyla da sentezlenir (Şekil 2.2).



Şekil 2.2 Porfirin sentez yöntemi



Şekil 2.3 Porfirin Analoqları

Hem (4)'in  $Fe^{3+}$  kökenli olup, porfirin analogu olarak yaygın bir şekilde kullanılmaktadır. Protoporfirin hem'in davranışlıdır. Ancak tek başına asidik ortamda metal ayırmaya işlemi gerçekleştirilemez. Protoporfirini ayıranın en iyi yolu demir sülfat içinde hidroklorik asit ile muamele etmektir (Berezin, 1978).

Tetrapirol türevi olan porfirinler biyolojik açıdan önem taşımakla birlikte, zengin koordinasyon kimyası, kataliz ve malzeme bilimindeki uygulamaları ile dikkat çekmektedir.

### 2.3 Ftalosiyinin

Ftalosiyinler (Pc) uzun zamandır bilinen, renkli maddelerdir. İlk ftalosiyinin 1907 yılında Braun ve Tcherniac tarafından ftalimid ve asetik anhidritten yüksek sıcaklıkta o-siyanobenzamid üretimi sırasında mavi renkli yan ürün olarak elde edilmiştir (Braun ve Tcherniac, 1907). 1927 yılında Diesbach ve Van der Weid tarafından piridin içinde o-dibromobenzen ve bakır (I) siyanürde, 1,2-disiyanobenzen sentezi sırasında bakır kompleksi olarak elde edilmiştir (Diesbach, 1927). Ftalosiyinin molekülünün gerçek yapısı 1929 yılında Linstead ve arkadaşlarının çalışmaları sonucunda belirlenmiştir (Linstead, 1934).

Metalli ve metalsiz ftalosiyinlerin sentezi ve özelliklerinin incelenmesiyle ilgili çok sayıda yayın bulunmaktadır. Boyar madde olması dışında ftalosiyinlerin önemli özellikleri vardır.

- Ftalosiyinleri kristallendirmek ve süblimleştirmek kolaydır, bunun sonuncunda çok saf ürünler elde edilir.
- Makrosiklik halkadaki  $18\pi$  elektronundan oluşan  $\pi$ - sistemi UV'de 400-700 nm arasında çok şiddetli absorpsiyonlara sebep olur.
- Kimyasal ve termik kararlığa sahiptirler. Havada 400-500 °C'ye kadar önemli bir bozunmaya uğramazlar. Vakumda metal komplekslerinin büyük bir kısmı 900 °C'den önce dekompeze olmaz. Kuvvetli asit ve bazlara karşı dayanıklıdır. Sadece kuvvetli oksidantların etkisiyle ftalik asit veya ftalamide parçalanarak makrohalka bozunur.
- 70'den fazla değişik metal ile metallo ftalosiyinler sentezlenmiştir. Metal iyonun metallo ftalosiyinlerin fizikokimyasal özellikleri üzerinde önemli bir etkisi vardır. Makrosiklik yapının oksido-redüksiyon veya fotokimyasal uyarılmış haldeki özellikleri, metallin özelliklerine oldukça bağlıdır.
- Makrosiklik yapı üzerine çeşitli sübstituentler ekleyerek ftalosiyinlerin özelliklerini değiştirmek mümkündür (Linstead ve Weiss, 1950; Lever, 1965; Berezin, 1981; Kasuga ve Tsutsui 1980).

1935 yılında çok miktarda üretilerek piyasaya verilmiştir. İlk defa elde edilen ve patenti alınan ftalosiyinin boyası polisülfonatıdır. Daha sonraki yıllarda katalitik yükseltgenme, indirgenme, sıvı kristal, manyetik, gaz sensör gibi özellikleri araştırılmıştır. Ftalosiyinlerin kullanım alanları göstermiş olduğu bu özellikler sayesinde giderek artmaktadır.

### **2.3.1 Ftalosiyanın Kimyasal Özellikleri**

Ftalosiyanın çok sayıda metal iyonunu alabilecek büyülüklükte merkezi boşluğu olan dört iminoisoindolin ünitesinden oluşmuş makro halkadır. Ftalosiyanın tetrabenzo[tetraazaporfirin olaraka adlandırılabilir. Porfirin halkası gibi ftalosiyanın de düzlemsel  $18\pi$  elektronuyla aromatik davranış göstermektedir (McKeown, 1998). Makrohalkanın  $18\pi$  elektron sistemi UV spektrumunda 400-700 nm arasında çok şiddetli absorpsiyon yapmasına neden olur.

Ftalosiyanın molekülünün merkezini oluşturan, iminoisoindolindeki hidrojen atomlarının metal iyonu ile kolaylıkla yer değiştirmesiyle metallo ftalosiyanınlar sentezlenebilir. Ftalosiyanının kimyasal özellikleri merkezde bulunan metal atomuna bağlıdır. Metal içeren ftalosiyanınların eldesi sırasında ortamda bulunan metal iyonun template etkisi ürün veriminin yükselmesini sağlar. Dolayısıyla metalsiz ftalosiyanınların eldesindeki ürünün verimi, metal içeren ftalosiyanlara göre oldukça düşüktür (Gürek, 1996).

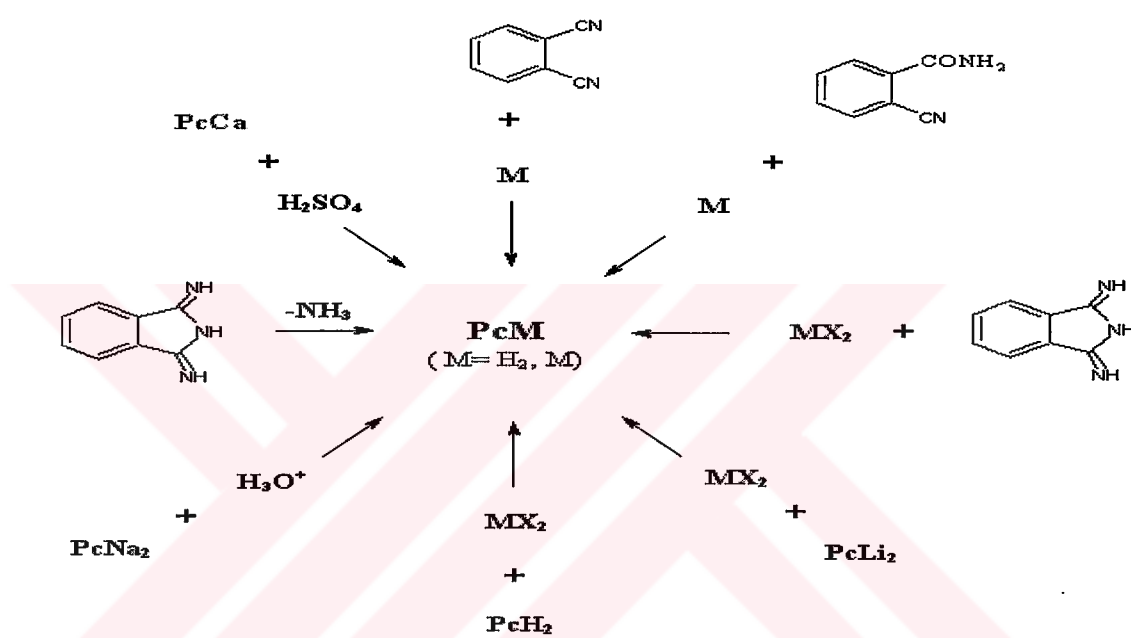
Metallo ftalosiyanınları genel olarak iki gruba ayıralım. Elektrokovalent ftalosiyanınlar genellikle alkali ve toprak alkali metalleri içerirler, organik çözücülerde çözünmezler, seyreltik anorganik asitler, sulu alkol, hatta su ile muamele edildiğinde kolayca metal iyonu molekülden ayrılır ve metalsiz ftalosiyanınlar elde edilir. İkinci tip kovalent ftalosiyanın kompleksleri diğerine göre daha karaldır. Klornaftalen, kinolin gibi çözücülerde sıcakta kısmende olsa çözünürler. Bazı türleri inert ortamda, vakumda  $400-500^{\circ}\text{C}$  sıcaklıkta bozunmaksızın süblime olabilirler. Nitrik asit dışında diğer anorganik asitlerle muamele edildiğinde yapılarında herhangi bir değişiklik gerçekleşmez (Gürek, 1996).

Ftalosiyanınların kararlığı, ortadaki oyuk çapı ile metal iyonu çapının uygun olmasına bağlıdır. Ftalosiyanın molekülünün oyuk çapı  $1.35\text{ \AA}$ 'dır. Metallerin oyuk çapı bu değerden önemli derecede büyük ve küçük olduğunda, metal ftalosiyanından kolayca ayrılabilir.

Robertson metalsiz ftalosiyanın üzerinde yaptığı çalışmalarla, H<sub>2</sub>Pc (metalsiz ftalosiyanın) molekülünün düzlemsel ve D<sub>2h</sub> simetrisine sahip olduğunu göstermiştir (Moser, 1983). Porfirinlerden farklı olarak tetragenol simetriden bu D<sub>2h</sub> distorsiyonu, pirol halkalarındaki eşitsizlikten değil, komşu mezo-azot atomlarında oluşturulan açılar arasındaki farklılıktan ortaya çıkmaktadır. 16 üyeli iç makro halkayı oluşturan bağlar porfirin molekülünden daha kısadır. Bundan dolayı mezo-azot atomları üzerinden gerçekleştirilen köprü bağları önemli ölçüde küçülmüştür ve merkezdeki koordinasyon boşluğunun porfirine göre  $0.026\text{ nm}$  küçülmesine neden olur.

### 2.3.2 Ftalosiyainlerin Sentez Yöntemleri

Metalsız ftalosiyainler, ftalonitril ile aminlerin, fenollerin veya alkali metal alkolatlarının aralarındaki reaksiyonlardan elde edilir. Bir başka yol ise elektrokovalent metallo ftalosiyainlerin komplekslerinden metalin çıkarılmasıdır. Bu yol metalsız ftalosiyainlerin elde edilmesinde en uygun yöntemdir (Leznoff ve Lever, 1989). Ftalosiyainlerin sentez yöntemleri aşağıdaki şekilde gösterilmektedir (Şekil 2.4).



Şekil 2.4 Ftalosiyainlerinin sentez yöntemleri

Metal içeren ftalosiyainlerin sentez yöntemleri şöyle sıralanabilir;

1. Ftalonitril veya bunun substitüsyon ürünleri ile metal veya metal tuzlarının reaksiyonundan,
2. Ftilik anhidrit, ftalimid veya bunların substitüsyon ürünlerinin, inert çözücü içinde amonyum molibdat katalizörü yardımıyla metal veya metal tuzu ve üre ile olan reaksiyonundan,
3. o-dihalojen içeren aromatik bileşikler ile metal siyanürlerin reaksiyonlarından,
4. Metalsız ftalosiyainlere metal ilavesi veya metallo ftalosiyainlerin uygun şartlarda metalinin başka bir metalle yer değiştirmesinden.

Bu sentez yöntemlerinde, reaksiyonlar birden fazla basamakta ve yüksek sıcaklıkta gerçekleşmektedir.

### **2.3.3 Ftalosiyinlerin Kullanım Alanları**

Bu yüzyılın başlarından itibaren ftalosiyinlerin mavi ve yeşil boyar madde olarak kullanıldığı bilinmektedir. Ftalosiyinler pigment ve boyalar olarak matbaa mürekkeplerinde, plastiklerin, alüminyum yüzeylerin boyanmasında, tekstilde kullanılan en önemli endüstriyel ürünlerdir.

Halen çalışılmakta olan ve ileride ftalosiyinlerin kullanılabileceği alanlar şöyle sıralanabilir;

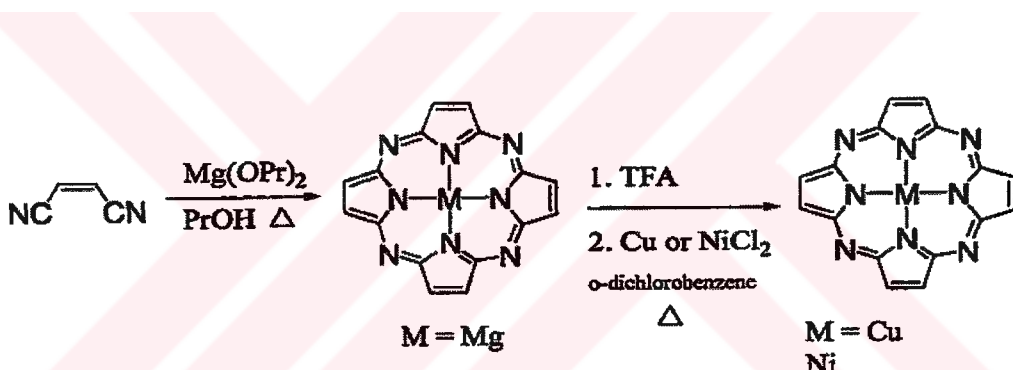
- 1) Yakıt pillerde elektro katalizör olarak,
- 2) Kimyasal sensörlerde duyarlı element olarak,
- 3) Sıvı kristal renkli ekran uygulamalarında,
- 4) Sülfür elementlerinin kontrolü için katalizör olarak,
- 5) Kanser terapi ve diğer medikal uygulamalar için foto dinamik terapi amaçlı,
- 6) Lazer aletlerinde,
- 7) Enerji jeneratörleri için fotovoltaik pil elementleri olarak,
- 8) Optik kompüterlerde okuma/yazma disklerinin uygulamalarında ve bilgi depolama sistemlerinde,
- 9) Elektrokromik display aletlerinde (Leznoff ve Lever, 1989; Lever ve Leznoff, 1993).

Ftalosiyinler bir çok reaksiyonda katalizör olarak kullanılır. Buna örnek olarak, kobalt ftalosiyin sülfit atıklarının sülfatlara dönüştüren oksidasyon reaksiyonunda katalizleme aracı olarak kullanılır. Demir, kobalt ve vanadyum ftalosiyinler, benzin içersindeki kükürdün giderilmesi işleminde sülfürü oksitleyerek ortamdan kolayca uzaklaştırabilir.

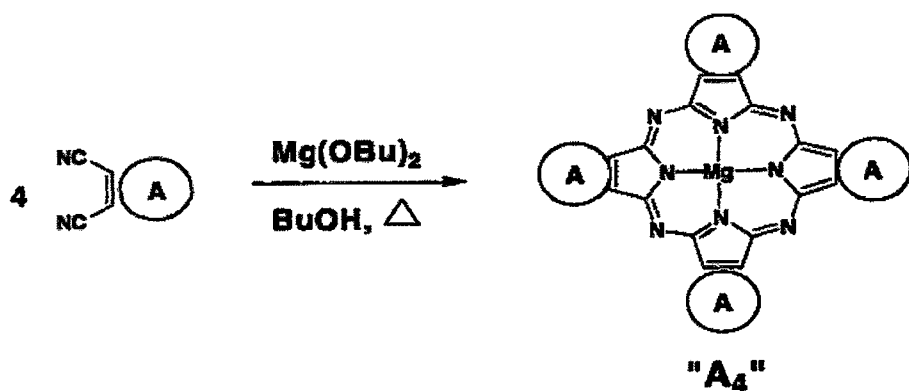
Son yıllarda elektriksel iletkenlik, katalitik aktivite, elektrokromik özellik gibi değişik özelliklerinin tespit edilmesi ftalosiyinlere yeni uygulama alanları açmıştır. Ftalosiyin çekirdeğine periferal substituentlerin eklenmesi, değişik kullanım alanları ve yeni malzeme üretimi için büyük kolaylık sağlayacaktır. Ayrıca substitüe olmamış ftalosiyin bileşikleri suda ve organik çözücülerde hiç çözünmediklerinden, ftalosiyin kimyasındaki araştırmaların diğer bir amacıyla çözünür ürünler elde etmektir.

## 2.4 Porfirazinler

Porfirazinler, porfirin halkasındaki dört meso metin köprüsünün mezo aza köprüleriyle yer değiştirmesi sonucu oluşur. Bu farklılık aslında porfirazinlerin porfirinlerden ayrı fizikokimyasal özellikler göstermesine yol açar. Porfirazinler, maleonitritil türevlerinin template siklizasyonu ile porfirinlerden tamamen farklı sentezlenir. Özellikle, makrosiklik yapıya periferal konumlarda S, N, O gibi heteroatom içeren porfirazinlerin sentezi ile zenginleştirilmiştir (Schramm ve Hoffman, 1980). Porfirinlerin periferal konumlarına heteroatom bağlanması zordur (Velasquez vd., 1990; Guo vd., 1996;). Porfirazinlerde dinitrilin siklizasyonu ile sübstítüe olmamış porfirazinlerin (Şekil 2.5) ve sübstítüe olmuş simetrik yapıların sentezi (Şekil 2.6) yapılabilir. Bu reaksiyonlarda template olarak kullanılan metal butoksit veya propoksit olarak  $Mg^{2+}$  dir.

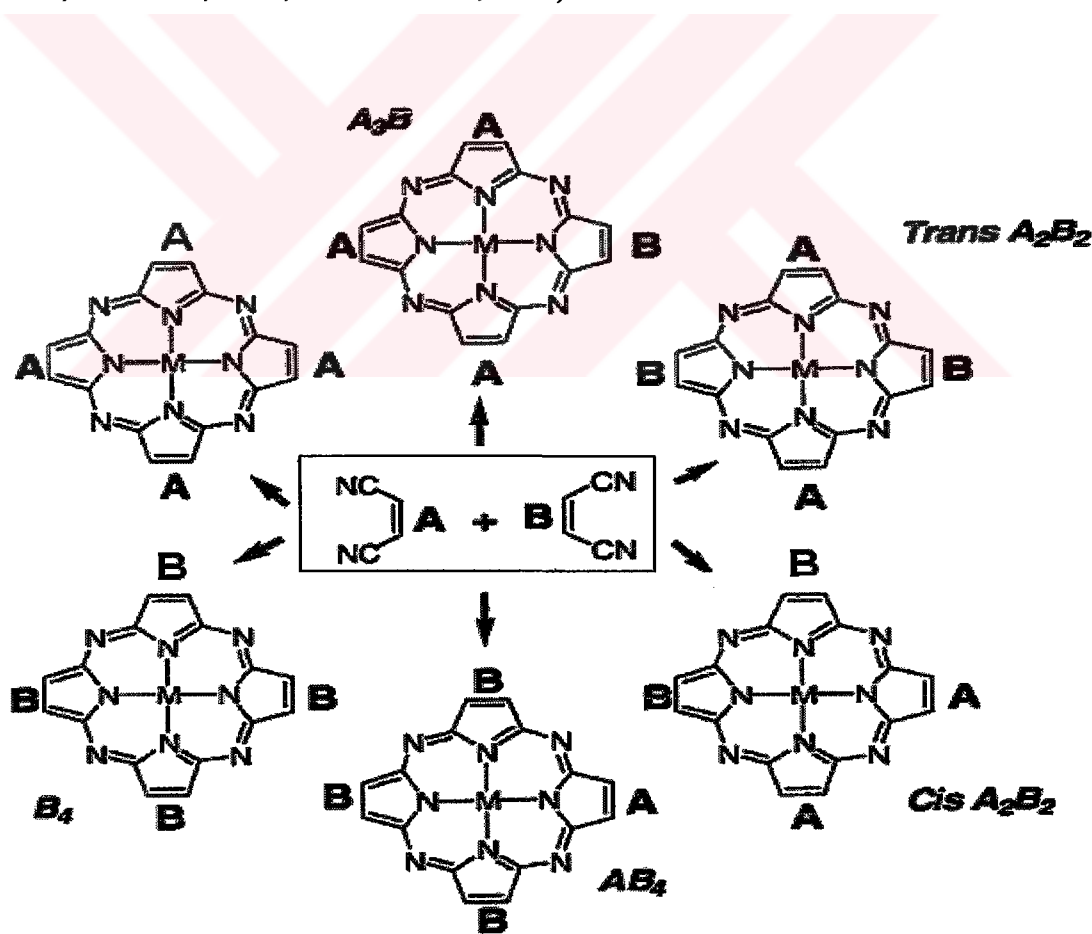


Şekil 2.5 Sübstítüe olmamış porfirazinlerin hazırlanması



Şekil 2.6 Sübstítüe olmuş simetrik porfirazinlerin sentezi

Sübitüe olmuş iki farklı dinitrilin doğrudan siklizasyonu ile asimetrik yapıların sentezlenmesi ve saflaştırılması kolaylıkla yapılır.  $H_2Pz$  konjuge sistemde iç halka çevresinde  $18\pi$  elektronu içerdiginden (8 çift bağ, içteki azot atomlarındaki 2p-elektronu) aromatik molekül gibi düşünülebilir. Porfirazin söylemlerinde iki farklı isimlendirme mümkündür. Örneğin, Bakır(II)okta-ethyl porfirazin;  $Cu[Pz(Et)_8]$  olarak yazılabilir. Porfirazinler  $M[Pz(A_nB_{4-n})]$  genel formülünü kullanarak da isimlendirme yapılabilir. Burada, M=metal, A ve B pirol periferal sübstiyentleri göstermektedir.  $AB_3$  ve  $B_3A$  asimetrik porfirazinleri simgeler.  $A_2B_2$  trans- ve cis- izomerler olabilir. Asimetrik porfirazin (Şekil 2.7) sentezlerinde; i) Dinitrillerden birinin baskın olmasıyla reaksiyon gerçekleşir, yani ana ürün  $A_4$  veya  $A_3B$  olabilir. ii) Ürünlerin kromatografik ayrılmasına yardım için farklı polaritedeki dinitrillerin kullanılması gereklidir. iii) Spesifik olarak trans- $A_2B_2$  porfirazinlerin sentezi için ve cis- türevlerinin veya  $A_3B$  ve  $B_4$  porfirazinlerinin oluşumunu azaltmak için hacimli B gruplarının kullanımı gereklidir (Michel vd., 2003; Sibert vd., 1996; Sakellariou vd., 2002).



Şekil 2.7 Asimetrik porfirazinlerin iki dinitrilden sentezi

#### **2.4.1 Porfirazinlerin Tarihçesi**

Porfirazin kimyasının babası olarak bilinen Reginald P. Linstead (1902-1966)'in yaptığı dinitrillerin makrosiklizasyonu olarak bilinen sentez yöntemi verimi yüksek bir yöntemdir (Linstead, 1953). Aynı zamanda, H. Fischer ve F. Endermann tetraimidoaetiyoporfirin olarak isimlendirilen metil ve etil porfirazin türevlerini tanımlamışlardır (Fischer ve Enderman, 1937). 1952 yılında, Linstead; sübstitüe olmamış porfirazinleri sentezlemek için magnezyum butoksiti template ederek daha genel ve yeni bir yaklaşım rapor etmiştir. Bu rapor bugün de kullanılan porfirazinleri sentezlemek için genel bir metottur. Linstead tarafından hazırlanan bu bileşiklerin çözünürlükleri sınırlıdır. 1980 yılında, Schramm ve Hoffman heteroatom olarak S içeren sübstitüe porfirazinleri sentezlemişlerdir (Schramm ve Hoffman, 1980). Bu çalışmada, S-metil bağlı porfirazinleri hazırlamak için disodyummaleonitril ditiyolatı magnezyum propanolat ile riflaks etmişlerdir. Bu yaklaşım kullanılarak farklı fizikokimyasal özellikli birçok sülür içeren porfirazin bileşikleri sentezlenmiştir.

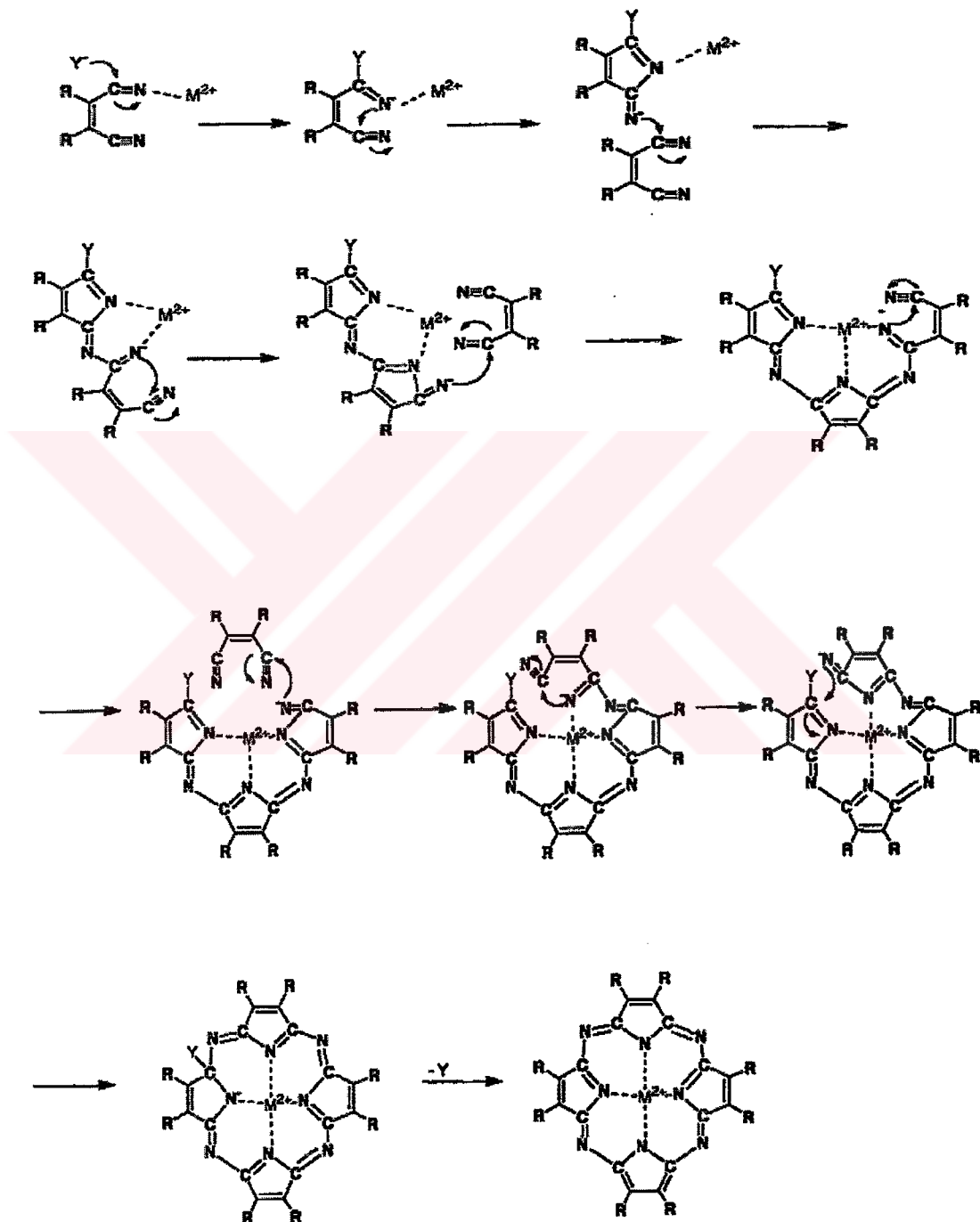
Fitzgerald ve arkadaşları dialkil dinitrili hazırlayarak 1991 yılında kolay bir sentez rapor etmişlerdir (Fitzgerald vd., 1991). Daha sonra, asimetrik porfirazinler sentezlemişlerdir.

N-sübstitüe porfirazinler diaminomaleodinitrilden türetilen ikinci tip heteroatom türevleridir. Oktakis(dimetilamino)porfirazinler oldukça elektronca zengin sistemlerdir ve C<sub>60</sub> ile yük transfer komplekslerini hazırlamak için kullanılmışlardır (Hochmuth vd., 2000). Taç eterli bileşikleri, asimetrik dimetilamino türevleri ve sülür bağlı porfirazinler gibi, oksijen sübstitüe porfirazinler de mevcuttur (Andersen vd., 1998).

#### **2.4.2 Porfirazinlerin Mekanizması**

Porfirazinlerin dinitrilden oluşum mekanizması üzerine çalışma olmadığı halde, ftalonittrillerden ftalosiyanyinlerin hazırlanması için öne sürülen mekanizma porfirazinler için de öne sürülebilir (Michel, 2000). Şekil 2.8'de görüldüğü gibi, bu mekanizmada nükleofilik "Y" grubunun nitril karbonuna nükleofilik saldırısıyla reaksiyon başlar. Bu nükleofil olarak rol oynaması ve diğer nitril karbonundaki molekül içi saldırı için nitril azotunu dengede tutarken, nitril karbondaki geometrinin lineerden trigonale değişmesine neden olur. "Y" genellikle alkoksittir, fakat aynı zamanda iki değerlikli metale koordinasyonuyla aktive olan

dinitril olduğu ileri sürülmektedir. Reaksiyon iki değerlikli metalin template olarak rol oynamasıyla devam eder. Bir kerede dört dinitril iki değerlikli metal çevresinde siklik yapıyı oluşturur ve Y grubu indirgenerek elimine olur .



Şekil 2.8 Porphirazinlerde siklik yapının olası mekanizması

### 2.4.3 Elektronik Absorpsiyon Spektroskopisi

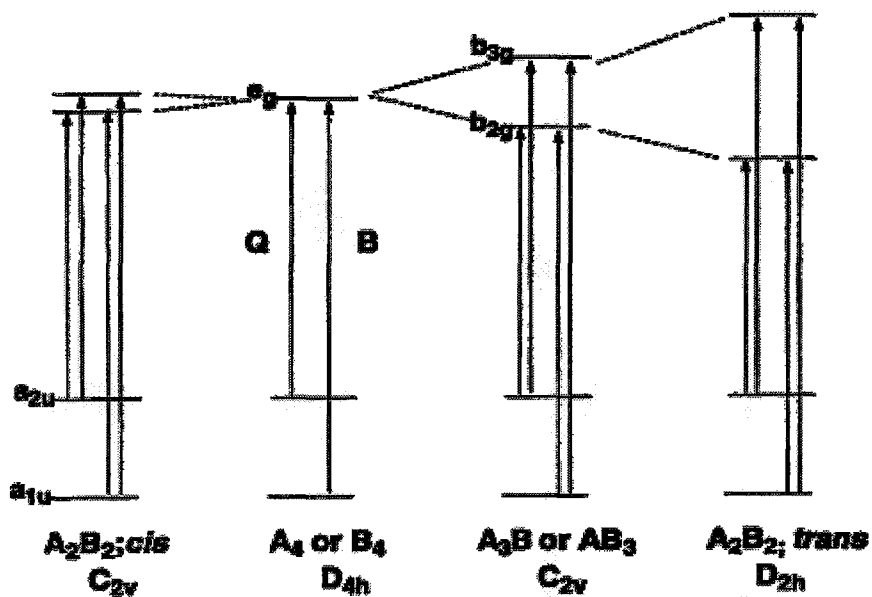
Çizelge 2.1'de karşılaştırmak amacıyla Linstead'in sübstitüe olmamış porfirazin ( $M[Pz]$ ), oktaalkilporfirazin( $M[Pz(Et)_8]$ ), oktatiyoalkilporfirazin  $M[Pz(SMe)_8]$ , ftalosiyantan ( $M[Pc]$ ) ve tetrafenilporfirinin  $M(TPP)$  spektroskopik verileri yer almaktadır. Parantez içindeki değerler molar absorptivite katsayılarıdır.

Çizelge 2.1 Değişik porfirazin ve benzerlerinin Uv. Vis. spektrumları.

$M$	[ $M[Pz]$ ] $\max, \text{nm}$ $10^3 \epsilon$	[ $M[Pz(Et)_8]$ ] $\max, \text{nm}$ $10^3 \epsilon$	[ $M[Pz(SMe)_8]$ ] $\max, \text{nm} 10^3 \epsilon$	$M[Pc]$ $\max, \text{nm} 10^3 \epsilon$	$M(TPP)$ $\max, \text{nm} 10^3 \epsilon$
$Mg$	<b>584 (50.3)</b>		672 (75.2)	674 (49.4)	603 (10)
	<b>536 (41.7)</b>		620 (26.5)	647 (43.9)	562 (22)
			500 (12.9)	610 (44.5)	521 (2.5)
	<b>326 (47.9)</b>		375 (68.9)	347 (47.3)	427 (600)
$H_2$	<b>617 (47.5)</b>	340 (79.4)	709 (35.0)	698 (52.1)	647 (3.4)
	<b>545 (46.0)</b>	515 (sh)	637 (25.5)	665 (51.8)	592 (5.3)
		558 (39.8)	515 (20.0)	638 (46.2)	548 (8.1)
		600 (7.94)		602 (44.3)	515 (18.7)
	<b>333 (47.0)</b>	627 (63.1)	367 (42.3)	350 (47.4)	419 (478)
$Ni$	<b>577 (47.7)</b>		660 (42.2)	671 (51.0)	529 (17.1)
	<b>530 (41.4)</b>		482 (18.6)	643 (44.7)	490 (3.5)
	<b>345 (45.0)</b>		347 (39.9)	351 (45.74)	416 (233)
$Cu$	<b>578 (49.8)</b>		667 (48.4)	678 (53.4)	580 (2.19)
	<b>531 (41.3)</b>		610 (19.9)	648 (45.1)	540 (20.4)
			497 (14.8)	611 (45.6)	505 (3.65)
	<b>334 (45.7)</b>		363 (36.2)	350 (47.4)	417 (447)

Ftalosiyantanın ve porfirinlerdeki gibi, porfirazinlerin elektronik spektrumu, Şekil 2.9'da görüldüğü gibi Gouterman'ın dört-orbital modelini kullanarak açıklanabilir (Michel, 2000).

Bu makrosiklik bileşiklerde, merkezde bulunan metal iyonunun sarılarak simetrik yapıların oluşmasıyla ( $M[Pz(A_4)]$ ) (veya  $B_4$ ) meydana gelen yapıda  $D_{4h}$  simetrisi söz konusudur. Bu yapılarda bir çift dejenerel LUMO( $e_g$ ) ve daha yüksek enerjili HOMO ( $a_{1u}$  ve  $a_{2u}$ ) enerji seviyeleri mevcuttur.



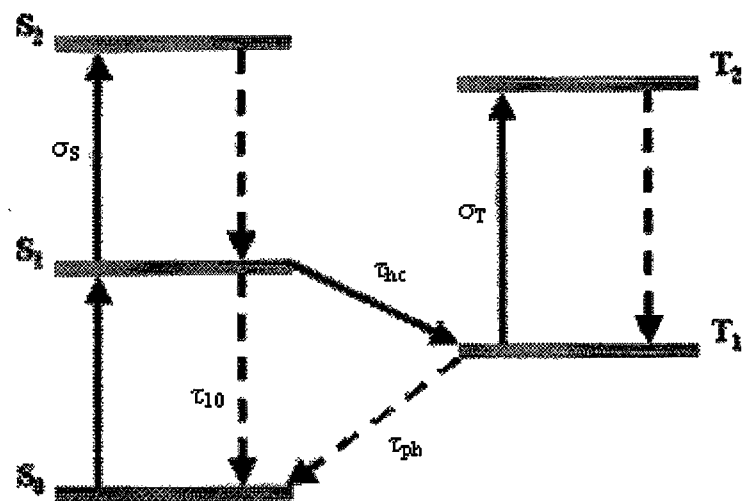
Şekil 2.9 Gouterman'ın dört-orbital modeli

Porfirinlerde, iki HOMO enerji seviyesi dejeneredir ve 400 nm civarında yoğun Soret veya B-bandına ve 550 nm civarında zayıf Q-bandına yol açar. Ftalosiyaninerde ve porfirazinlerde, bu HOMO enerji seviyeleri elektronegatif meso azotlarındaki yüksek yoğunluktan dolayı daha düşük enerjili  $a_{1u}$  seviyesine düşer. Bu kompleksler iki tür elektronik geçiş gösterir. Daha uzun dalga boylu olan ve  $a_{2u} \rightarrow e_g$  'ye uyan Q bandı veya daha kısa dalga boylu olan ve  $a_{1u} \rightarrow e_g$  geçişine uyan B-band veya Soret bandıdır. Porfirazin ve ftalosiyaninerde B-bandı 350 nm civarında, Q bandıda sübstitüe olmamış ftalosiyaninerde 690 nm civarında, sübstitüe olmamış porfirazinlerde ise 100 nm maviye kaymıştır. Porfirazinlerde Q bandının dalgaboyu alkil sübstituentlerle az, heteroatomlarla daha fazla kayar. Çizelge 2.1'de bu kaymalar gösterilmektedir. Fakat  $A=(S-R)_2$  olduğu zaman 580 nm'den 670 nm'ye kayar. Bu spektrum M[Pc]'ye benzer. Ek olarak heteroatomlu bileşiklerde heteroatomdaki ortaklanmamış elektron çiftinden dolayı  $n-\pi^*$  geçişleri de söz konusudur.

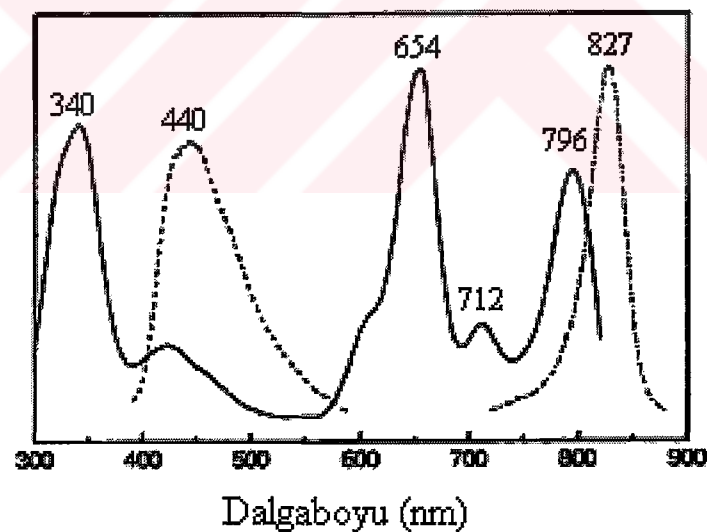
Makrosiklik simetri azaldıkça, LUMO enerji seviyesi  $b_{2g}$  ve  $b_{3g}$  olmak üzere ikiye ayrılır. Bu da Q bandının ikiye ayrılmasıyla sonuçlanır. Soret bandının da ikiye yapılması beklenir. Yüksek enerjili  $a_{2u} \rightarrow b_{2g}$  ve  $a_{2u} \rightarrow b_{3g}$  geçişleri arasındaki dalgaboyu farklılığı küçük olduğu için görünmez.  $C_{2v}$  simetrisinin hakim olduğu  $A_3B$  ve  $AB_3$  porfirazinlerde, trans- $A_2B_2$  porfirazinlerdekine göre daha azılma olur. Cis- $A_2B_2$  porfirazinler  $C_{2v}$  simetrisine sahip olduklarından teorik olarak Q-bandında ayrılma olmalı, ancak bu gözlenmez.

Bütün elektron spinlerinin eşleşmiş olduğu bir moleküler elektronik hal, bir singlet hal olarak adlandırılır ve bir manyetik alana konulduğunda elektronik enerji seviyelerinde hiçbir yarılmış gözlenmez (Skoog, vd., 1998). Bir molekülün bir çift elektronundan biri daha yüksek bir enerji seviyesine uyarılırsa ya bir singlet ya da bir triplet hal meydana gelir. Uyarılmış singlet halde, elektronun spini temel haldeki elektron spini ile eşleşmiş durumdadır. Uyarılmış triplet haldeki bir molekülün özellikleri, uyarılmış singlet halindekinden önemli derecede farklıdır. Örneğin bir molekül triplet halde paramanyetik iken, singlet halde diamanyetiktir. Bununla beraber, elektronun halindeki bir değişmeyi de kapsayan, singlet/triplet geçişinin, karşı gelen singlet/singlet geçişine göre önemli derecede daha az mümkün olması gereğidir. Bunun sonucu olarak, bir uyarılmış triplet halinin ortalama ömrü  $10^{-4}$ s'den birkaç saniyeye kadar uzayabilir. Bir uyarılmış singlet halin ortalama ömrü ise  $10^{-5}$ - $10^{-8}$ s kadardır. Ayrıca, temel haldeki bir molekülün ışınla, bir uyarılmış triplet hale uyarılması, düşük bir olasılığa sahiptir ve bu işlem sonucunda oluşan absorpsiyon piklerinin şiddeti, benzer şekilde, singlet/singlet geçişine karşı gelenlerinkinden birkaç kat ondalık mertebesi daha düşüktür. Bununla beraber, bazı moleküller, bir uyarılmış singlet halinden bir uyarılmış triplet hale geçebilir. Bu olayın sonucu genellikle fosforesanstır. Porfirazinlerin fluoresans spektrumlarında birinci ( $S_1$ ) ve ikinci ( $S_2$ ) uyarılmış singlet durumlar söz konusudur. Ftalosianinler için şekil 2.10'da görülen beş-enerji düzeyi diyagramında  $S_0$  temel hal,  $S_1$  birinci uyarılmış singlet hal,  $S_2$  uyarılmış ikinci singlet haldir.  $S_2$ 'deki hal hızla  $S_1$ 'e döner.  $\tau_{ph}$ ,  $\tau_{hc}$ ,  $\tau_{10}$  fluoresans ve fosforesans süreleridir.  $\sigma_S$  ve  $\sigma_T$  ise singlet ve triplet haller arasındaki geçişleri göstermektedir.  $n_1$ ,  $n_2$  ve  $n_3$ ;  $S_0$ ,  $S_1$  ve  $T_1$ 'in popülasyonlarını gösterir.

$A=(S-R)_2$ , rans durumda ve  $B=4,7\text{-diisopropilosibenzo}$  olmak üzere  $H_2[Pz(A_nB_{4-n})]$  bileşigidde birinci( $S_1$ ) ve ikinci( $S_2$ ) singlet uyarılmış haller olmak üzere iki emisyon piki gözlenmelidir. Bu bileşiklerin 350 nm'de uyarılmasıyla 440 nm'de  $S_2$  emisyonu, 745 nm'de zayıf  $S_1$  emisyonu elde edilir (Şekil 2.11). Bileşikte 6 tane sülfür olduğunda 350 nm'de uyarıldığından, 440 nm'de  $S_2$  emisyonu ve 780 nm'de  $S_1$  emisyonu olur. En güçlü emisyon dört sülfür içeren trans- $H_2[Pz(A_2B_2)]$  bileşiklerinde olduğu ve 340 nm'de uyarıldığı zaman,  $S_2$  emisyonu 424 nm'de,  $S_1$  emisyonu 823 nm'de gözlenmiştir. Böylece sülfür atomlarının sayısı ve emisyon şiddeti arasında bir ilişki vardır.  $S_1$  uyarılmış durumunda sülfür  $n-\pi^*$  ve temel hale geçişlerine ıshıksız dönüşümü nedeniyle hızla yok olur.  $S_1$  emisyonu çok az olarak gözlenir.



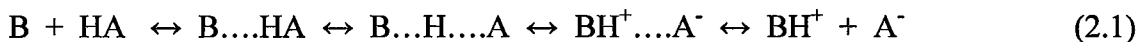
Şekil 2.10 Ftalosiyonlerde kullanılan uyarılmış absorpsiyon modelinden türetilen beş-enerji düzeyi sistemi



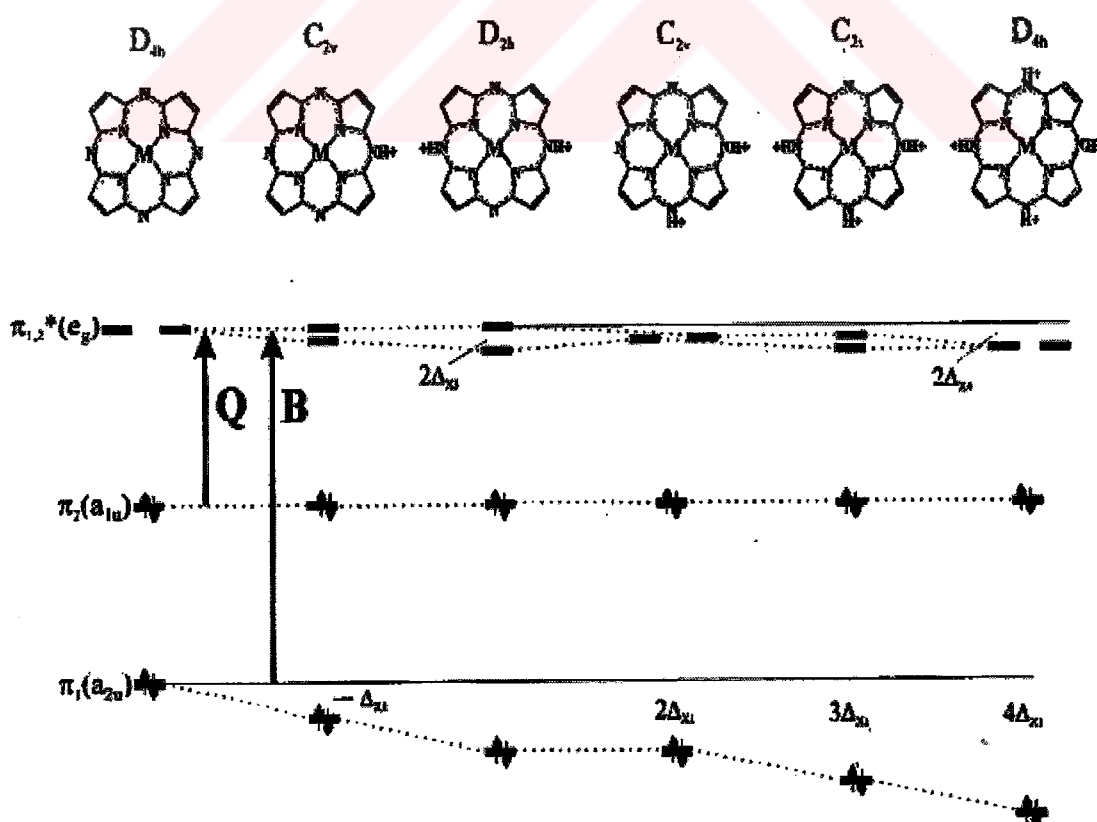
Şekil 2.11 Diklorometan içindeki  $M[Pz(A_2B_2)]$ 'lerin absorpsiyon ve emisyon spektrumları  
( $A=(S-R)_2$ , trans durumda,  $B=4,7\text{-diisopropilosibeno}$ )

#### 2.4.4 Porfirazinlerin Asit-Baz Özellikleri

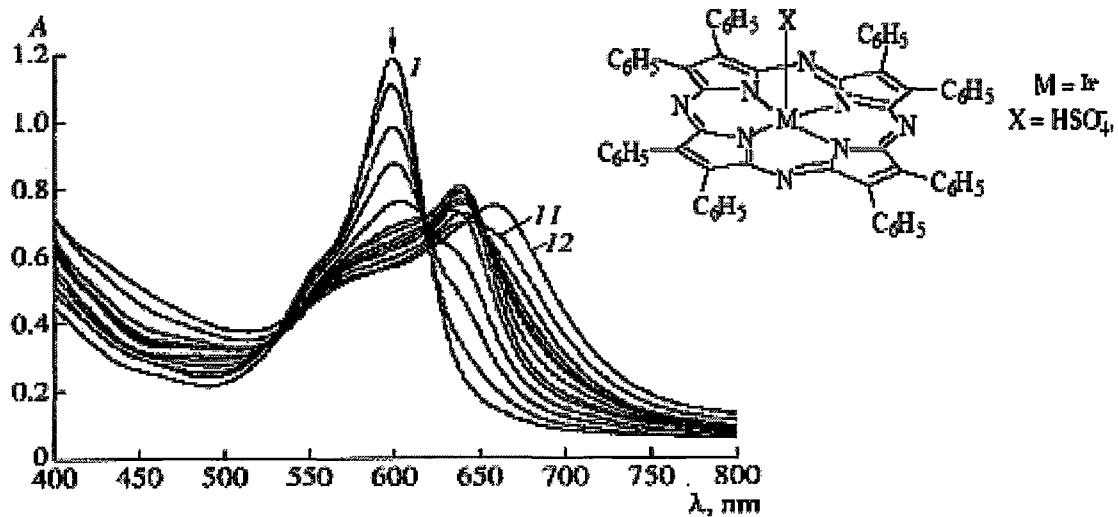
Tetraazaporfirin dört adet azot atomuna sahiptir ve zayıf konjuge bazlardır (Khelevina vd., 2003).



Burada B tetraazaporfirin, HA ise asittir. Asit halleri, asit molekülünden donör merkeze proton transferinin derecesi birbirinden farklıdır. Tetraazaporfirinlerde hem ekzosiklik (mezo) ve hem de endosiklik azot atomları asit-baz etkileşimlerini içerir. Porphrazinlerin asitlerle etkileşimleri elektronik absorpsiyon spektrumunun görünür bölgesinde karakteristik değişikliklere yol açar. Metal porfirazinlere proton katılması, onların simetrislerini değiştirir ve dolayısıyla absorbans spektrumlarında değişiklikler gözlenir (Şekil 2.12). Ancak %100 sülfat asidinde metalsiz porfirazin oda sıcaklığında yeterince kararlıdır ve asit konsantrasyonun azalması molekülün parçalanma hızının artmasına neden olur. Bu da onun hidrolizlenme özelliğinden kaynaklanmaktadır. Metalsiz porfirazinde sülfat asit sulu çözeltisinde hemen parçalanmaya başlar.



Şekil 2.12 Protonlanmış metalloporfirazinler için HOMO ve LUMO enerji düzeyi diyagramı



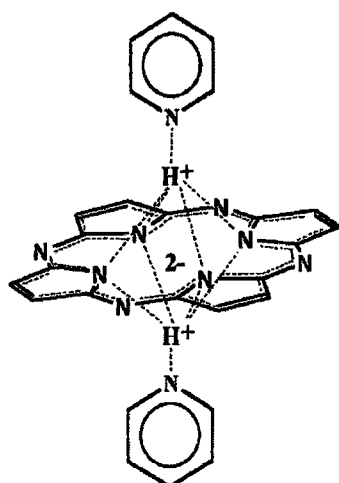
Şekil 2.13  $(HSO_4)IrOPTAP$  molekülünün asit-baz etkileşimleri sırasında elektron absorpsiyon spektrumundaki değişimler.

Şekil 2.13'te görülen iridyum porfirazin bileşığının asit etkisiyle ((1)  $CH_2Cl_2$  (2-10)  $CF_3COOH$ -  $CH_2Cl_2$  ( $c_{CF_3COOH} = 0,03; 0,05; 0,07; 0,1; 0,15; 0,5; 1,95; 6,49$  ve  $12,98$  mol/l, (11)  $CF_3COOH-H_2SO_4$  ( $c_{H_2SO_4} = 0,2$  mol/l) ve (12) %100  $H_2SO_4$  absorpsiyon değerlerindeki değişimi görülmektedir.  $H_2SO_4$  konsantrasyonundaki artış batokromik kaymaya yol açar.  $H_2SO_4-CF_3COOH$  ve  $CF_3COOH-CH_2Cl_2$  karışımında iridyum kompleksi,  $CF_3COOH$  konsantrasyonunun artması sonucu Q bandında kaymaya neden olur.  $CF_3COOH$  konsantrasyonu 12,98 mol/l'ta olduğunda Q bandı 663 nm'ye kayar (Stuzhin vd., 2003).

Azaporfirinlerin ( $H_2AP$ ) iki pirol NH grubu güçlü bazlar altında mono- ve di-anyonlar oluşturur (Stuzhin, 1999).



Yüksek asitliklerinden dolayı, porfirazinler ve ftalosianinler zayıf organik bazlarla proton transfer kompleksleri oluşturabilir. Piridinle böyle yapıların oluşumu ilk kez Walley tarafından öne sürülmüştür (Şekil 2.14) ve DMSO, DMF gibi farklı aminlerle de bu yapıları oluşturdukları gözlenmiştir (Walley, 1961).



Şekil 2.14 Porphrazin molekülü ile etkileşen piridin için olası yapı

Porphrazin ligandlarının asitliklerinin yüksek olmasının başka bir sonucu, onların metal tuzlarıyla artan reaktivitesidir.



#### 2.4.5 Porphrazinlerin Elektrokimyası

Porphrazinler porfirin ve ftalosiyanyanlarda olduğu gibi tetraapirol halkanın sahip olduğu  $18\pi$ -elektron sistemi sebebiyle ilginç yükseltgenme ve indirgenme reaksiyonlarına sahiptirler. Porphrazinlerin elektrokimyası ve buna sütstituent, metal ve çözücü sisteminin etkileri üzerine son yıllarda çalışmalar yapılmıştır.

Porphrazinler, porfirin ve ftalosiyanyanlarda olduğu gibi genellikle porphrazin halkasına ait maksimum 2 adet yükseltgenme ve 4'e kadar indirgenme reaksiyonu verirler. Co, Fe, Ru, Mn ve Pd gibi redoks aktif metale sahip metalporphrazinlerde metale ait indirgenme ve yükseltgenme reaksiyonları da gözlenmektedir. Ayrıca redoks aktif sütstituentlerin de elektrokimyasal reaksiyonlar verdikleri görülmektedir.

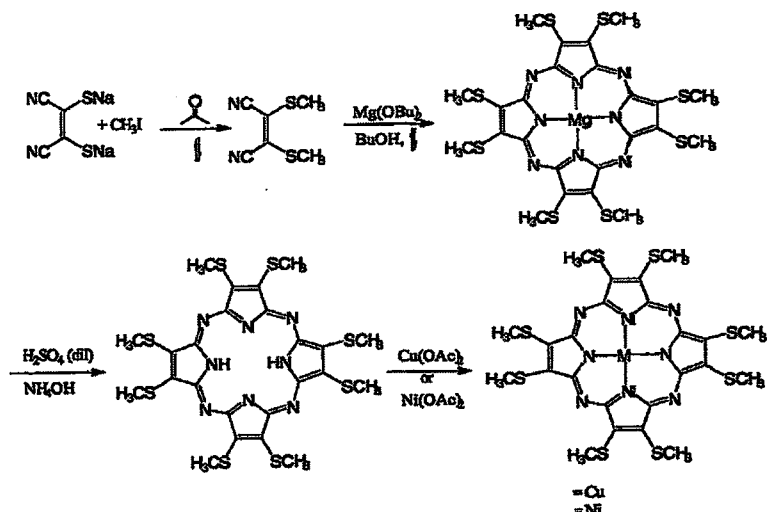
Porfirazin'in yükseltgenme, indirgenme özelliklerini araştırarak, canlı organizmadaki biyolojik bileşikler (gen, sitokrom, kataliz, peroksidaz vb) ve reaksiyonlarda katalizör fonksiyonları hakkında bilgi edinilebilir.

Porfirazin'de yükseltgenme ve indirgenme işlemleri fotokimyasal reaksiyonlar sonucunda gerçekleşir.  $H_2S$  ya da askorbik aside KBr katılarak fotoindirgenme yapılmıştır. IR spektrumuna göre molekülün pirol parçalanma ürünü olduğu belirlenmiştir.

Porfirazin'in reaksiyon aktifliğini ve yapısal bağlarını öğrenmek elektrokimyasal metodlarla sağlanır. Porfirazin'lerin elektrokimyasal indirgenmesi, ilk olarak tetrapropilamonyum perklorat ile DMSO içerisinde oktafenil-MgPz'de araştırılmıştır. Burada tetrapropilamonyum perklorat porfirin kompleksleri ile kıyaslandığında elektrofil olarak davranışır. Porfirazin bileşikleri indirgendiğinde dört tek elektronlu dalganın olduğu görülmüştür. Diğer porfirinler ile kıyaslandığında oktafenil -Pz magnezyum kompleksinin indirgenme potansiyeli anodik alana kaymaktadır. Co (I) ve Co (III) komplekslerinin oluşması porfirinlerde ve CoPc (kobalt ftalosianin)'de elektrokimyasal redoks-reaksiyonlarından izlenebilir.

#### 2.4.6 Porfirazin Sentezlerindeki Gelişmeler

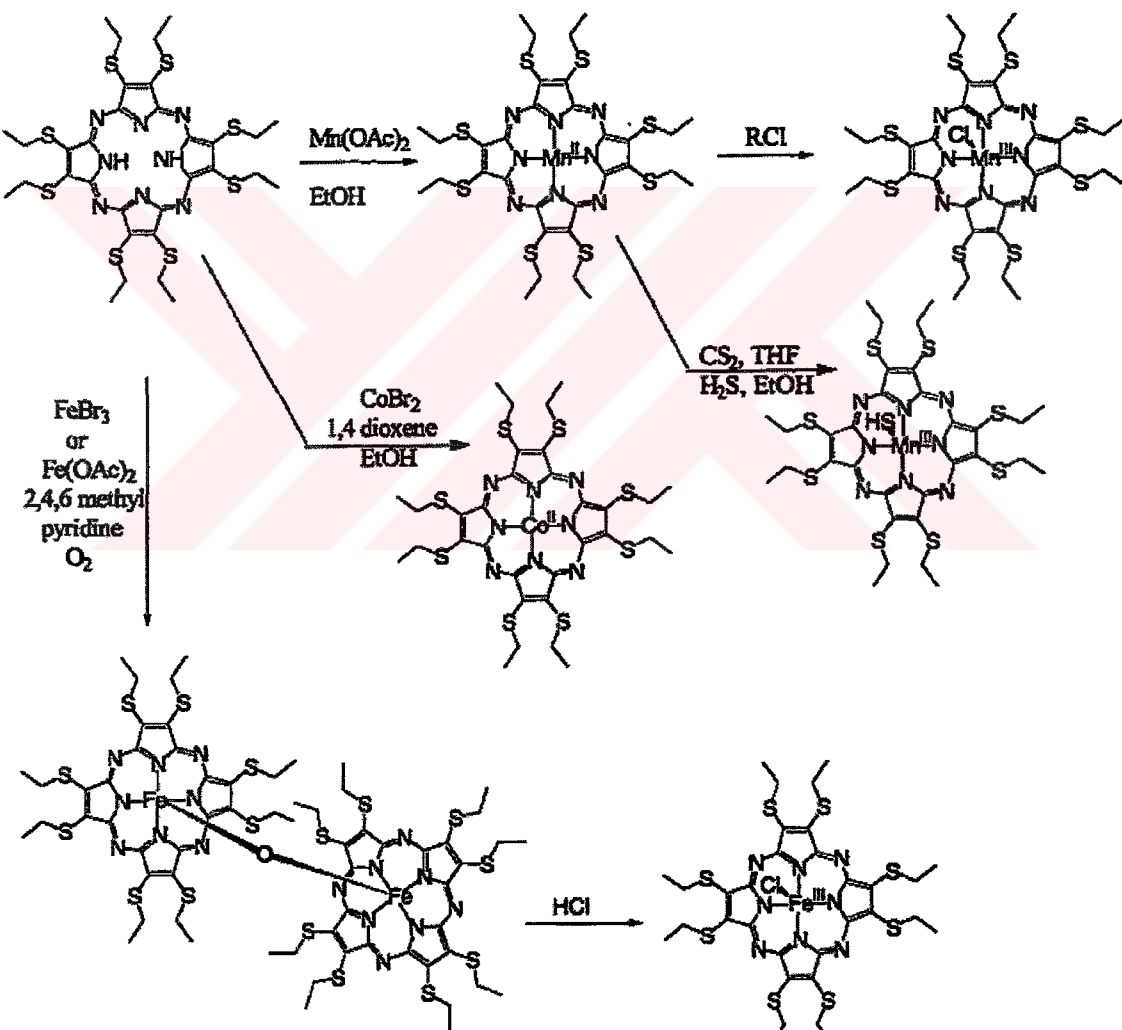
Periferal konumlarda sülfür içeren porfirazinlerden oktakis(S-R) porfirazin Schramm ve Hoffman tarafından 1980 yılında ilk kez sentezlenmiştir (Schramm, Hoffman, 1980).  $Mg[Pz(S-Me)_8]$  bileşiği dinitrilin magnezyumun template etkisiyle ile Şekil 2.15'de görüldüğü gibi sentezlenmiştir.



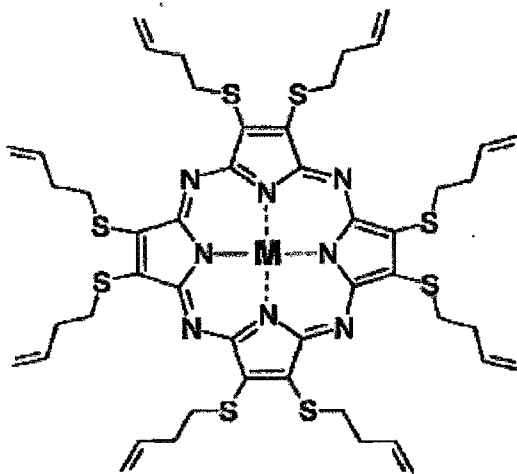
Şekil 2.15 Sülfür-metil eter porfirazinlerin sentezi

S-etil porfirazinler de sentezlenmiş ve bunların  $Mn(OAc)_2$ ,  $CoBr_2$ , susuz  $Fe(OAc)_2$  metalli bileşikleri (Şekil 2.16) de hazırlanmıştır. S-etil porfirazinlerin  $Mn^{2+}$  komplekslerinin (Ricciardi vd., 2000) ve lantanit kompleklerinin ( Ricciardi vd. , 1998) spektroskopik ve siklik voltametrik davranışları incelenmiştir. Ayrıca bu bileşiklerin  $Co^{2+}$  komplekslerinin de kristal yapıları incelenmiştir ( Ricciardi ve Rosa, 1999).

Periferal konumlarda alkenil(sulfanil) içeren porfirazinin (Şekil 2.17)  $Co^{2+}$ ,  $Ni^{2+}$ ,  $Cu^{2+}$  komplekslerinin diskotik nematic mesofaz özellik gösterdiği saptanmıştır (Belviso vd., 2000).

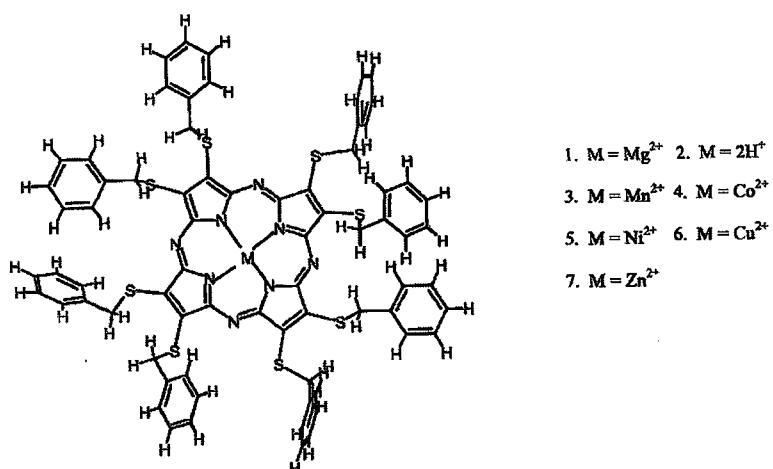


Şekil 2.16 Demir(II) ve Fe(III) okta S-etil porfirazinlerin hazırlanması



Şekil 2.17 Alkenil(sulfanil) porfirazin (  $M = Cu^{2+}, Co^{2+}, Ni^{2+}$  )

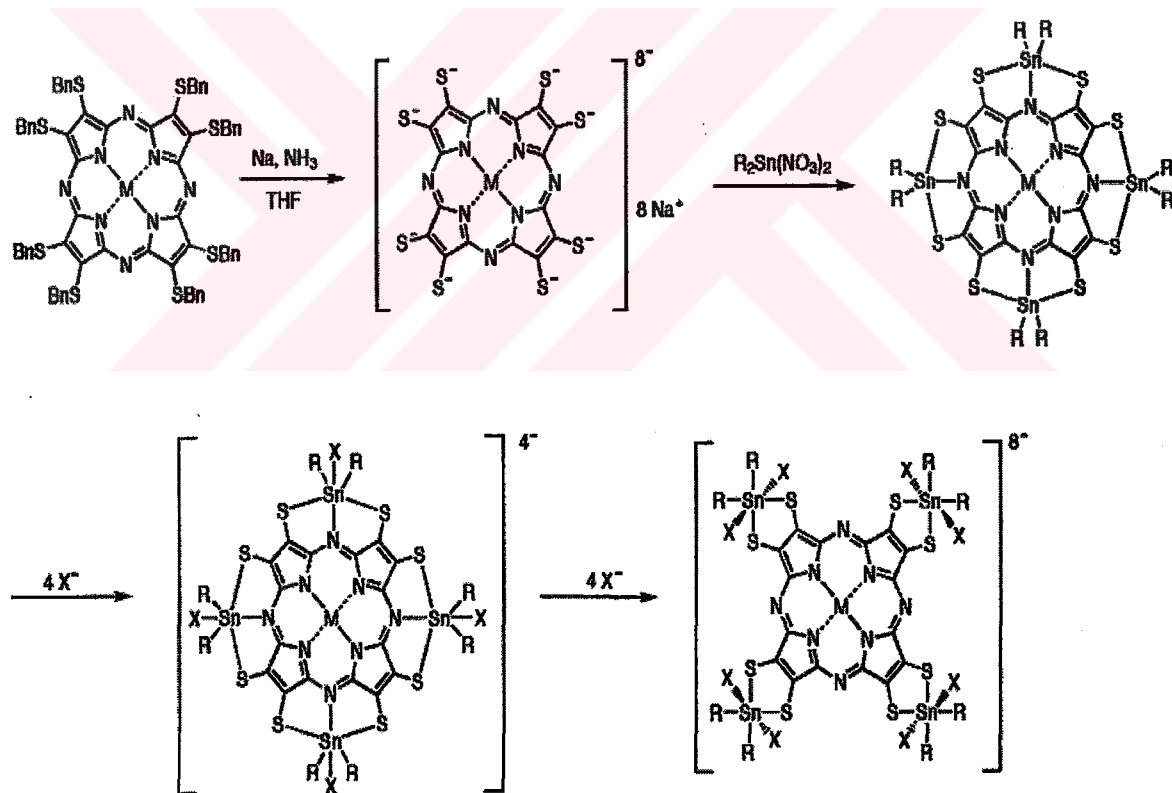
Oktakis(benziltiyo)tetraazaporfirinin Şekil 2.18'de görülen kompleksleri sentezlenmiştir (Prasad ve Kumar, 2004). Bu komplekslerin benzen, kloroform, diklormetan ve THF'de oldukça iyi çözündüğü,  $^1H$  NMR verilerinde 3.84-4.99 ppm aralığında iki tane  $CH_2$  piki verdiği, ancak  $Zn^{2+}$  kompleksinin 2.84, 2.94, 3.60 ppm'de üç adet pik verdiği çalışmada tespit edilmiştir. UV.-görünür bölge spektrumlarında B bandları 370-316 nm arasında, Q bandları 627-671 arasında, metalsiz türevinde ise Q bandı 602 ve 667 nm de olmak üzere ikiye bölünmüştür. Siklik voltametrik incelemelerinde ise  $Mn^{2+}$ ,  $Co^{2+}$ , ve  $Cu^{2+}$  kompleksleri reversibl oksidasyon dalgası vermiştir. Metalsiz türevinde ise iki irreversibl oksidasyon dalgaları elde edilmiştir.  $Ni^{2+}$  ve  $Zn^{2+}$  komplekslerinin ise hiçbir oksidasyon dalgaları vermediği gözlenmiştir.



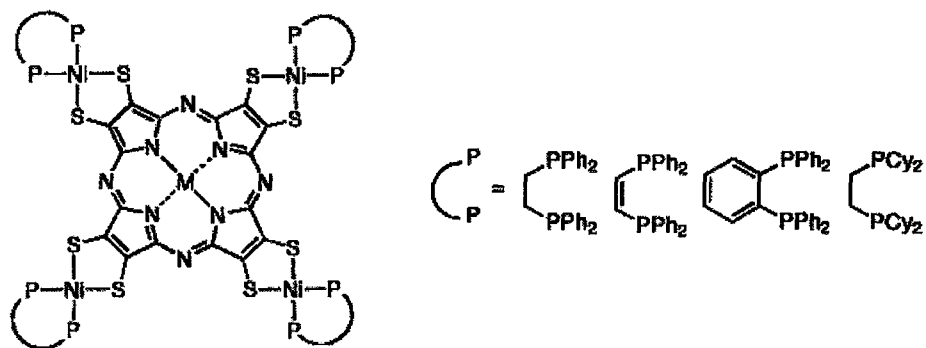
Şekil 2.18 Oktakis(benziltiyo) tetraazaporfirinin sterokimyasal yapısı

#### 2.4.7 Periferal Konumlarda Metalli Porfirazinler

Pirol halkalarının  $\beta$ -karbon atomuna, bağ oluşumuna katılmayan elektron çifti içeren heteroatom bağlanmasıyla oluşan porfirazinlerdir. Ek olarak, aynı zamanda bağ oluşumuna katılmayan elektron çifti içeren mezo-azot atomları da metal iyonlarına koordine olabilir. Bu maddelerde hetero atomlardan ileri gelen Soret ve Q bandları arasında güçlü  $n \rightarrow \pi^*$  geçişleri gözlenir. Bu geçiş, periferal konumlarda metallerin kompleksleşmesiyle kaybolur. Ayrıca, mezo-azotlara da metaller koordine olabilir. Star porfirazinler için örnek verilen (Şekil 2.19) star-tetra-kalay porfirazin kompleksi ilk rapor edilen star porfirazinlerdir. Şekil 2.20'de star porfirazinlere örnek olarak tetrakis(difosfinonikel)-star-(porfirazin)-oktatiyolat kompleksi de verilebilir. Bunlarda mezo-azota metal koordinasyonu da söz konusudur.

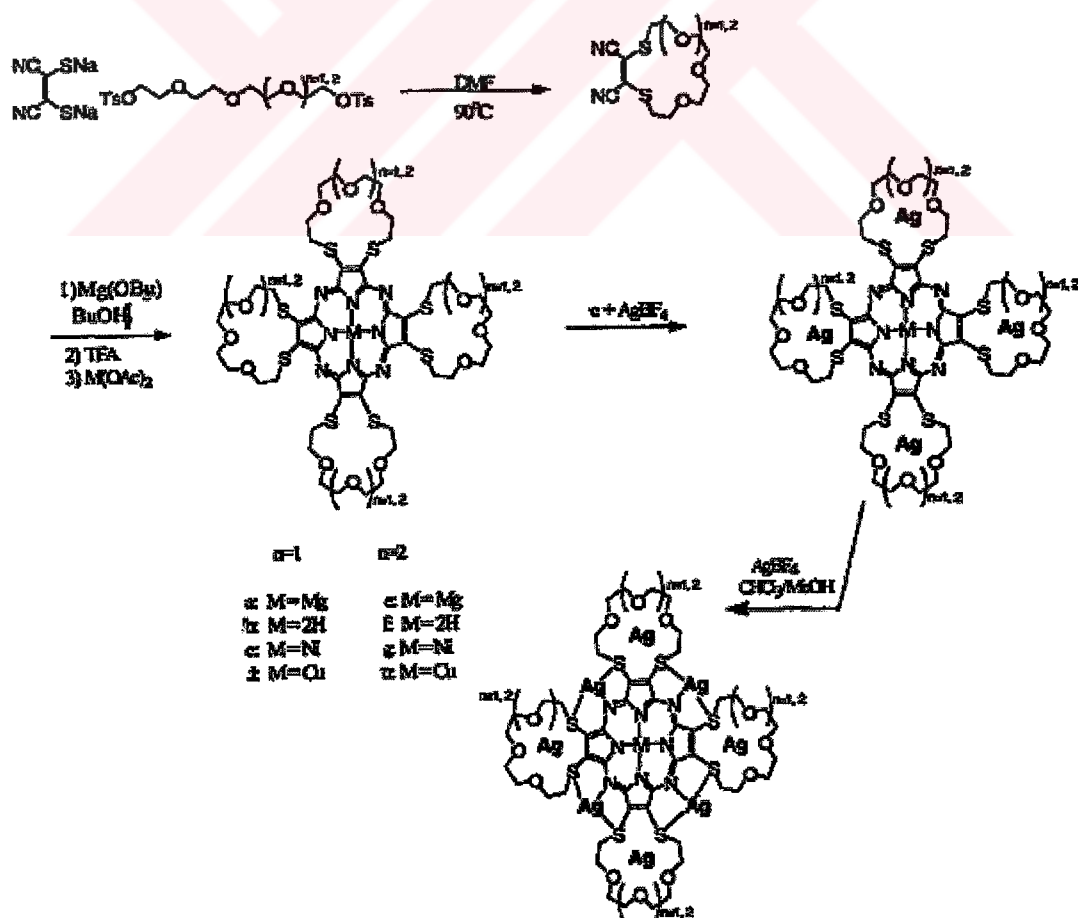


Şekil 2.19 Okta S-benzil porfirazinler ve periferal konumlarda metal bileşikleri



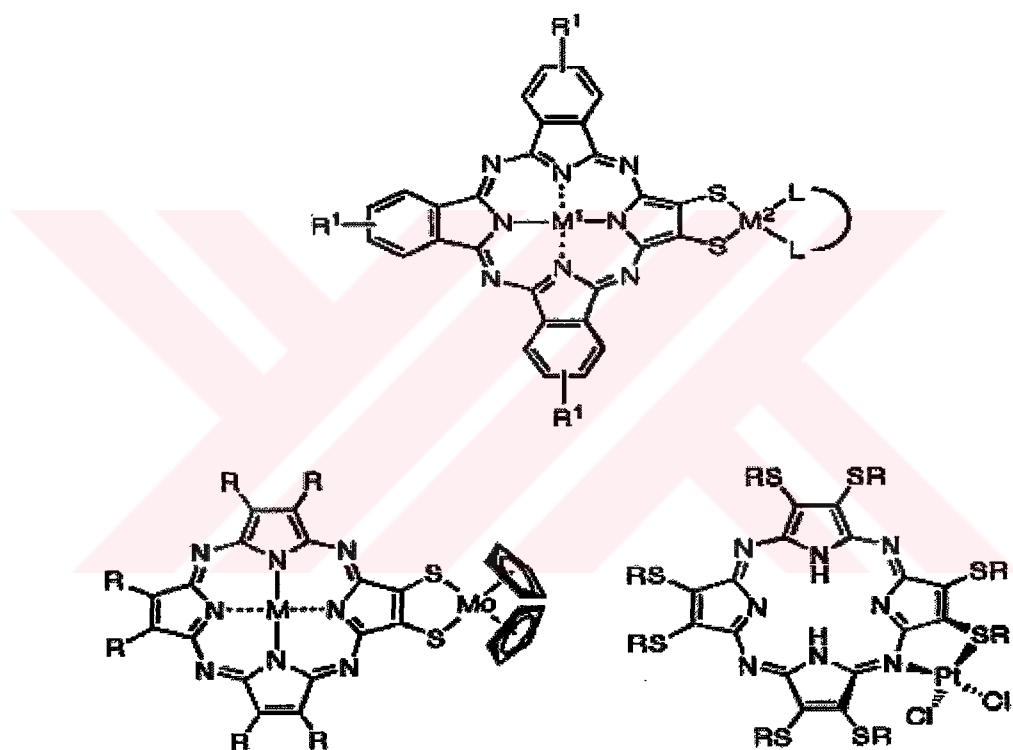
Şekil 2.20 Tetrakis(difosfinonikel)-star-(porfirazin)-oktatiyolat kompleksleri

Periferal konumlarda dört adet taç eteri içeren porfirazinlere sekiz tane Ag(I) bağlanabilir (Şekil 2.21). Bu bileşik  $\text{AgBF}_4$ 'ün aşırı etkileşmesinden elde edilmişdir.



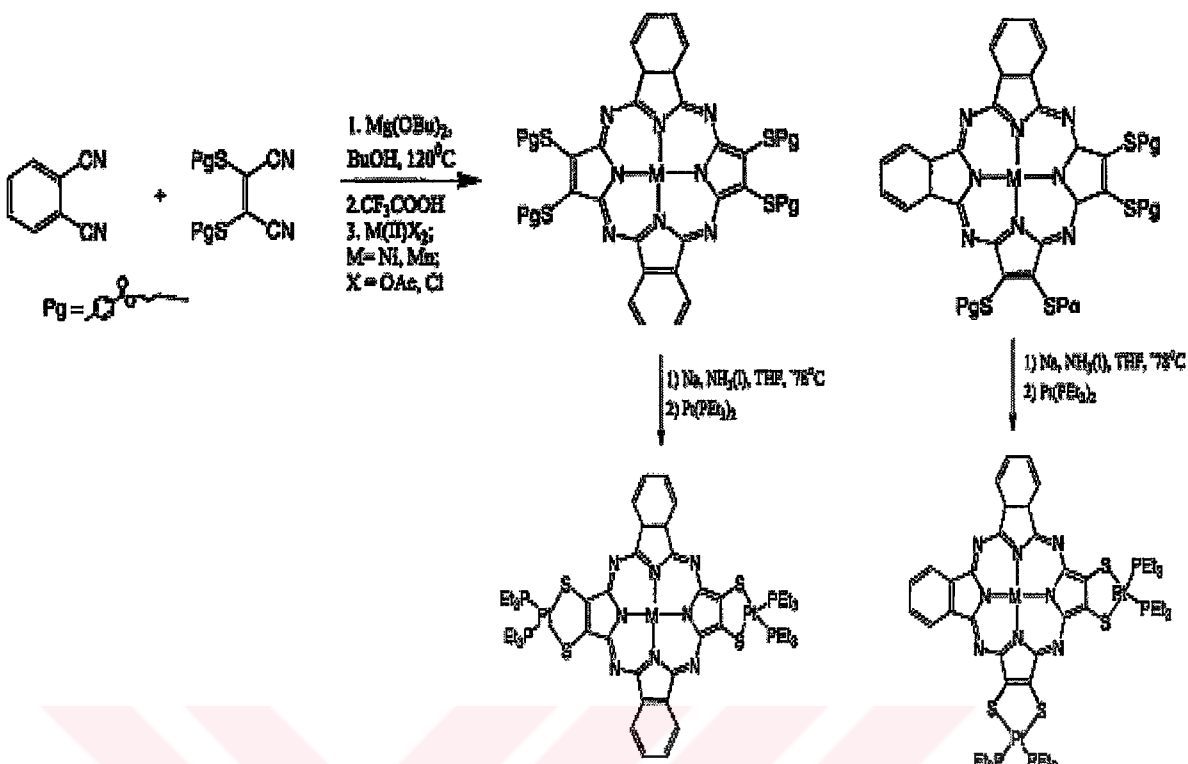
Şekil 2.21 Taç eter sübstitüte porfirazinlerin hazırlanması

Soliter-porfirazinlerde (Şekil 2.22) merkezde ve periferal konumlardaki metal iyonları arasında ki etkileşim dikkat çekicidir (Baumann vd., 1994; Baumann vd., 1996; Goldberg vd. 1998; Montalban vd., 2001; Zhao vd., 2003). Periferal metalli makrosikliklerin elektronik spektrumunda Q bandlarında yarıılma gözlenmemiştir. Redoks-aktif molibdosenli soliter porfirazin periferal konumlarda ditiyolen bağlanma yerlerinden bağlanmıştır. Molibdosen grubu e<sup>-</sup>- akseptör ve e<sup>-</sup>-donör çifti olarak rol oynayabilir. Soliter porfirazin de Pt(II) iyonu periferal konumda hem mezo-azota ve hem de S'e koordine olabilir.



Şekil 2.22 Polintükleer soliter-porfirazin-tiyolatlar

Gemini porfirazinler (Şekil 2.23) cis- ve trans- izomerleri kromatografik tekniklerle izole edilebilir (Sibert vd. 1996).

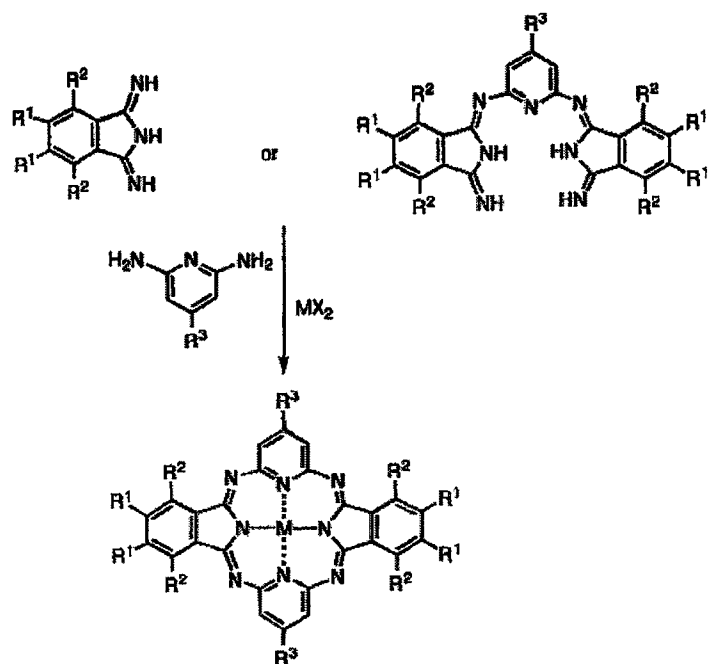


Şekil 2.23 Sülfür bağlı cis-gemini ve trans-gemini porfirazinlerin sentezi

#### 2.4.8 Porfirazin Analoglari

##### 2.4.8.1 Hemiporfirazinler

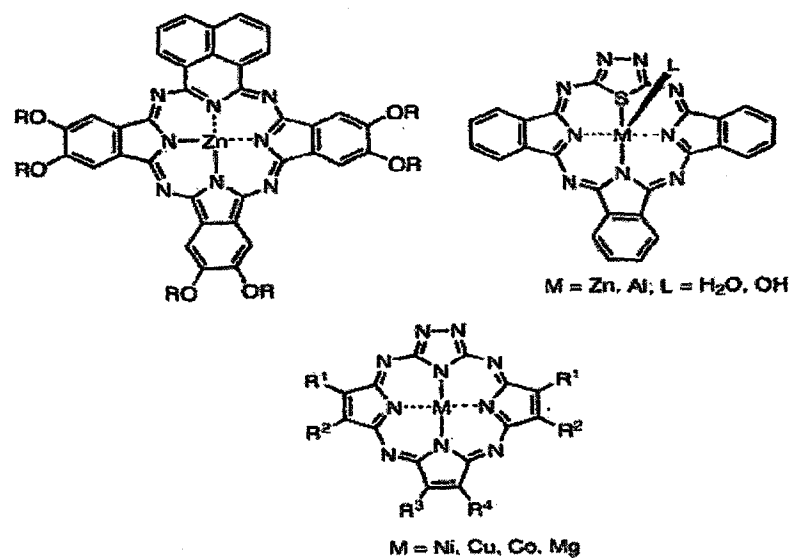
Bu tür porfirazinlerde iki pirol halkası yerine benzen veya aromatik heterosiklik yapılar bulunur. İlk örneği Elvidge ve Linstead tarafından 1,3-diiminoisoindol ve 2,6-diamino piridinin kondenzasyonundan sentezlenmiştir (Şekil 2.24). Bu bileşiklerin genel özelliği termal stabilitesi ve sulu asidik ortamda labil olmasıdır. Schiff baz karakteri taşırlar. Sübstitüe olmamış hemiporfirazinler inorganik asitlerde,  $\text{CF}_3\text{COOH}$  gibi organik asitlerde, veya kloronaftalen gibi kaynama noktası yüksek organik solventlerde kısmen çözünür. Periferal sübstansiyon ile çözünen ürünler elde edilir (Rodriguez ve Stuzhin, 2004). Bu bileşiklerin 610 nm civarında Q bandı vermesi aromatik porfirazinik karakterinin önemli bir kanıtıdır.



Şekil 2.24 Hemiporphrazinlerin sentezi

#### 2.4.8.2 Üç-Çeyrek-Azaporfirinler

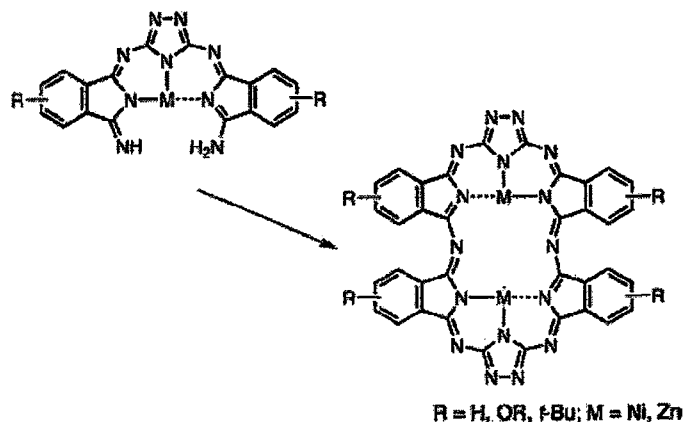
Bu bileşikler porfirazinlere göre farklı makrosiklik oyuk içerirler (Şekil 2.25). Porphrazin iskeletindeki pirol parçasına, diğer heterosiklik yapıların sübstitüsyonu ile oluşan yapılardır.



Şekil 2.25 Üç-çeyrek-azaporfirinler

#### 2.4.8.3 Genişletilmiş Azaporfirinler

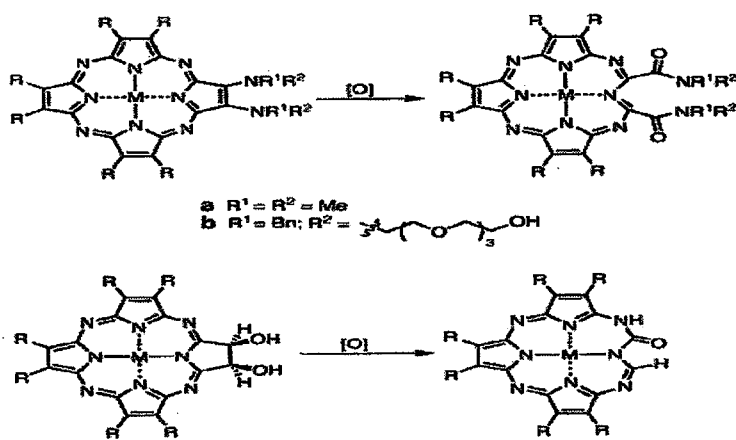
Dörtten daha fazla pirol halkasının mezo-aza köprüleriyle bağlanması sonucu oluşur (Şekil 2.26). Heksamer bileşik 28  $\pi$ -elektron içerir ve merkeze iki metal atomu koordine olabilir.



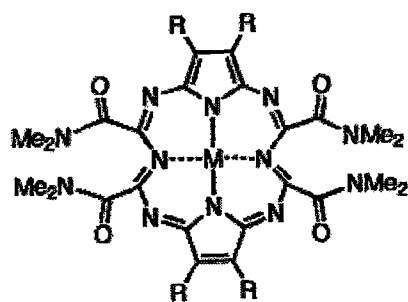
Şekil 2.26 Genişletilmiş azaporfirinler

#### 2.4.8.4 Seco-porfirazinler

Pofirazin halkasındaki  $C_{\beta}=C_{\beta}$  bağlarının bölünmesi, yapıların aromatik karakterinin değişmesine neden olmaz. Elektronik spektrumları aromatik aza-porfirinin varlığını gösterir. Q bandı iki keskin pike yarılır ve 50-70 nm ile kırmızıya kayar. Soret bandında daha az yarıılma gözlenebilir. Şekil 2.27 gösterilen bileşikler seco-porfirazin, Şekil 2.28 deki ise disecoporfirazindir (Rodriguez-Morgade ve Stuzhin, 2004)



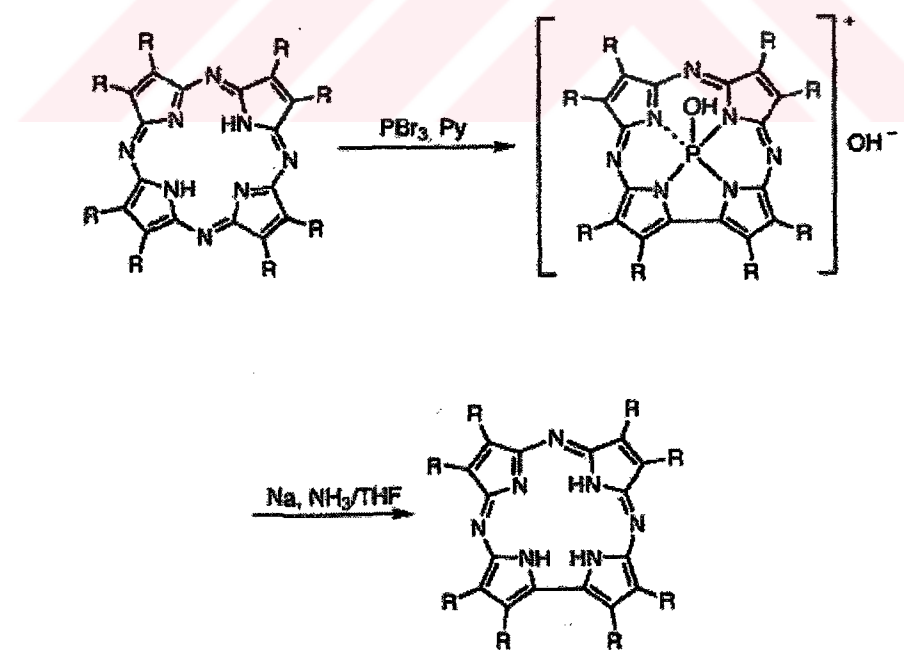
Şekil 2.27 Seco-porfirazinlerin sentezi



Şekil 2.28 Diseco-porfirazinlerin sentezi

#### 2.4.8.5 Korrolazinler

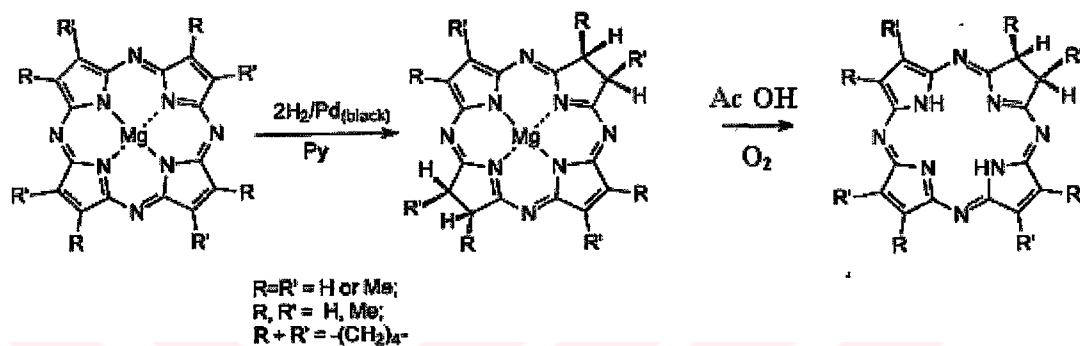
Bu bileşiklerde dört pirol halkasından ikisi  $C_{\alpha}=C_{\alpha}$ dan birbirine bağlanmışlardır (Şekil 2.29). Elde edilen bileşliğin elektronik spektrumunda Soret ve Q bandları 467 nm ve 668 nm gözlenmiştir.



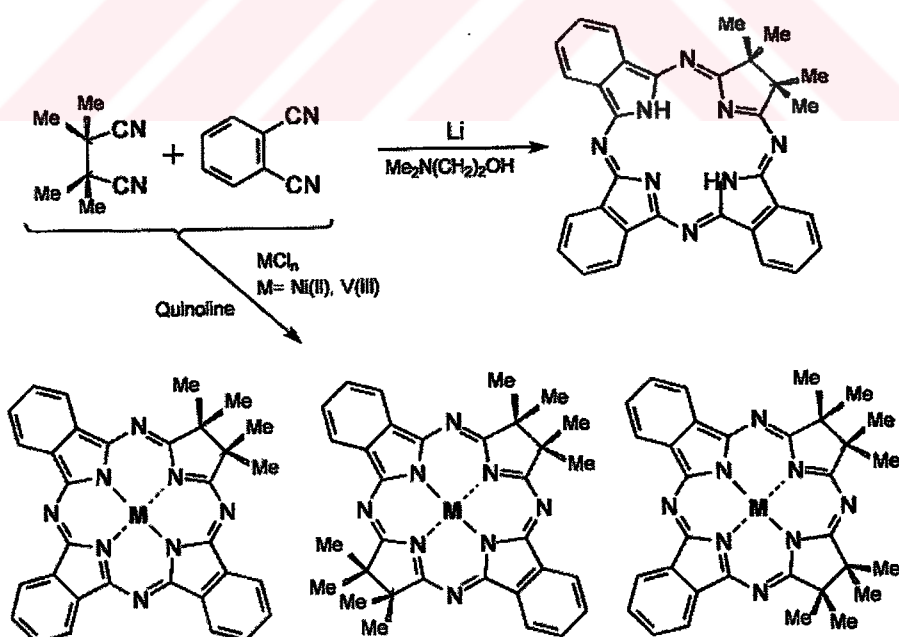
Şekil 2.29 Korrolazinlerin genel sentezi

#### 2.4.8.6 $\beta, \beta$ -indirgenmiş porfirazinler (Hidroporfirazinler)

Porfirazinato magnezyum, paladyum siyahında ve piridin içinde 2 mol  $H_2$  ile tetrahidrotürevlerini verir. Bu ürünler  $AcOH$  ile demetallendirme işleminden sonra elde edilir (Şekil 2.30). Gerçekte succinodinitrilin, Li ve  $Me_2N(CH_2)OH$  ile reaksiyonundan Şekil 2.31'de görüldüğü gibi sentezlenebilir.



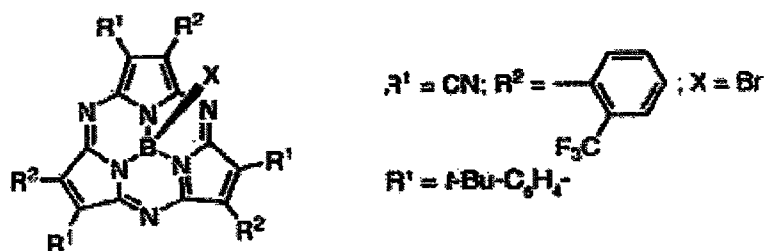
Şekil 2.30 Porphyrinlerin hidrojenlenme reaksiyonu



Şekil 2.31 Kararlı yapılı hidroporfirazinlerin sentezi

#### 2.4.8.7 Subporfirazinler (ikincil porfirazinler)

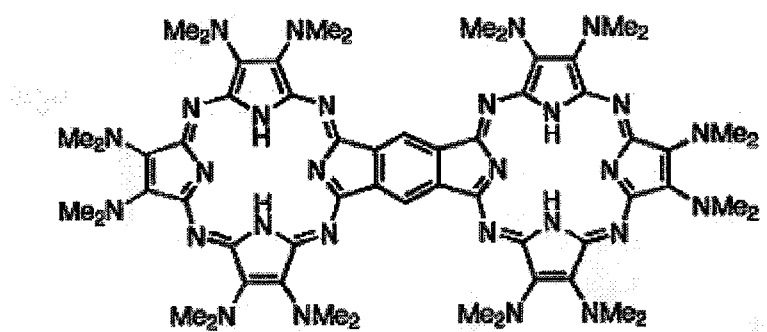
Merkezi atom olarak bor içeren daha küçük azaporfirinlerdir (Şekil 2.32). Subporfirazin bileşiği Bortrihalojenür varlığında 2-(o-triflorometil)fenil-1,1,2-trisiyanoetilenden sentezlenmiştir.



Şekil 2.32 Subporfirazinler (ikincilporfirazinler)

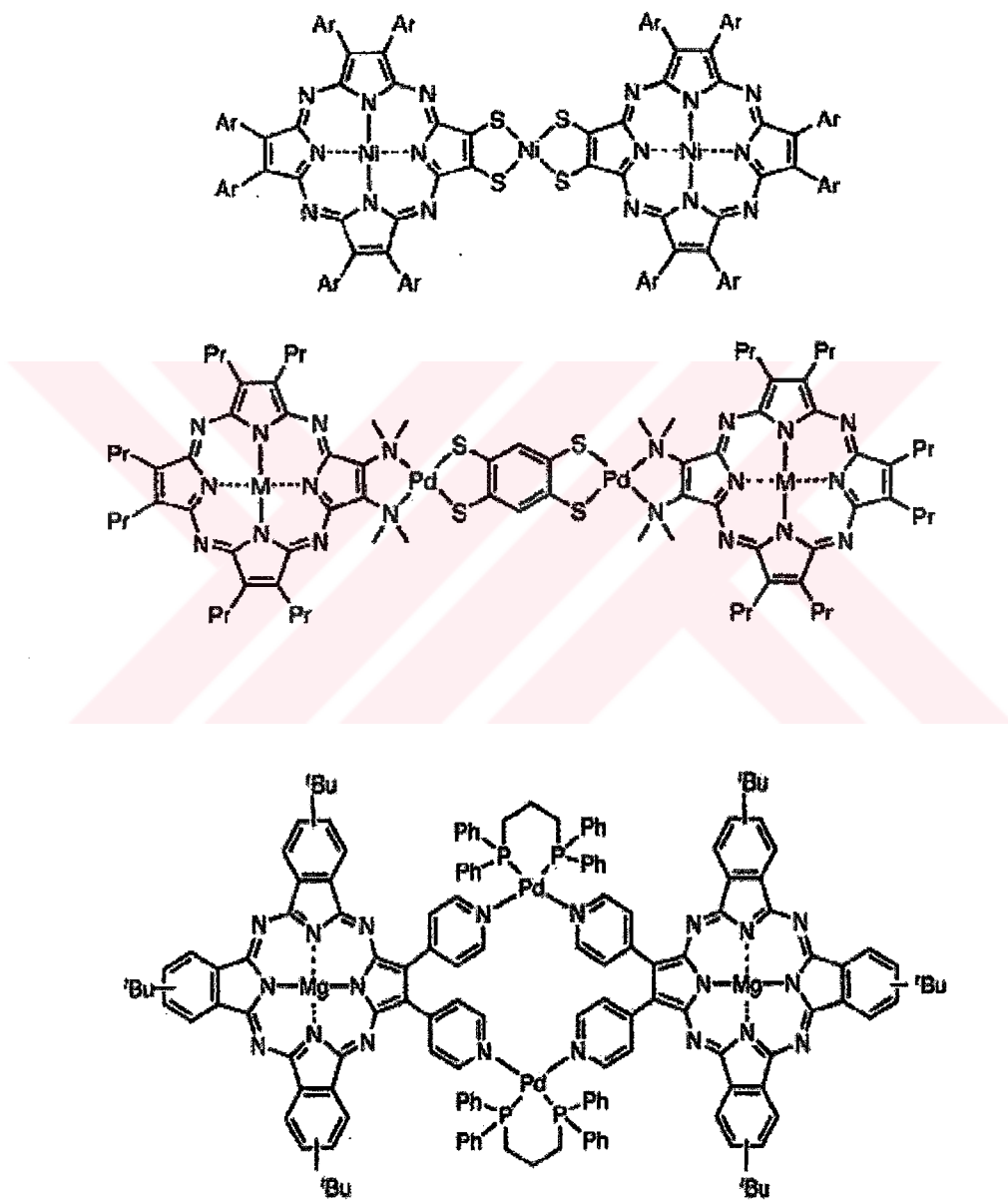
#### 2.4.9 Porphyrin Topluluk ve Kümeleri

Pirol halkasındaki  $\beta$ -pozisyonundan fonksiyonel gruplarla bağlanması sonucu oluşurlar (Şekil 2.33). Merdiven tipi polimerlerin yüksek termal, elektrik ve optik özellikleri birlestireceği beklenmektedir. Şekildeki bileşik oniki tane oksokromik dimetiamino gruplarıyla Q bandı 830 nm ye kayar ve oktakis(dimetilamino) porfirazinkinden 134 nm kırmızıya kaymıştır.



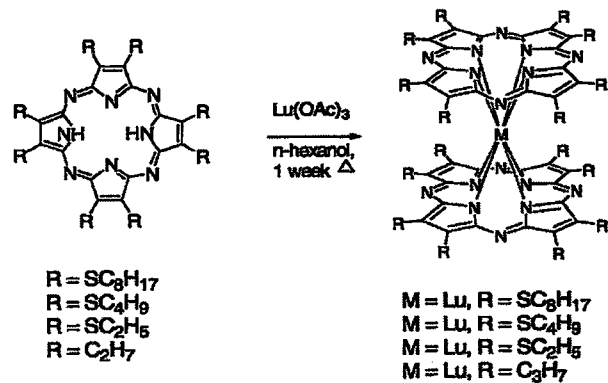
Şekil 2.33 Merdiven tip porfirazinler

Trinükleer porfirazin dimer, tetranükleerbis(porfirazin) kompleksi, supramolekül dimerler (Şekil 2.34) de görülmektedir. Q bandı hepsinde kırmızıya kaymıştır.

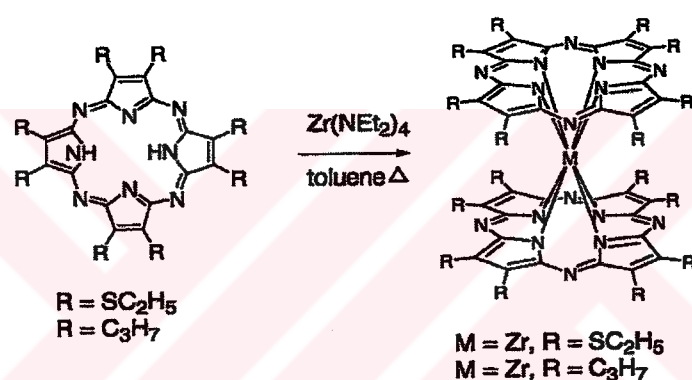


Şekil 2.34 Metal bağlı porfirazin kümeleri

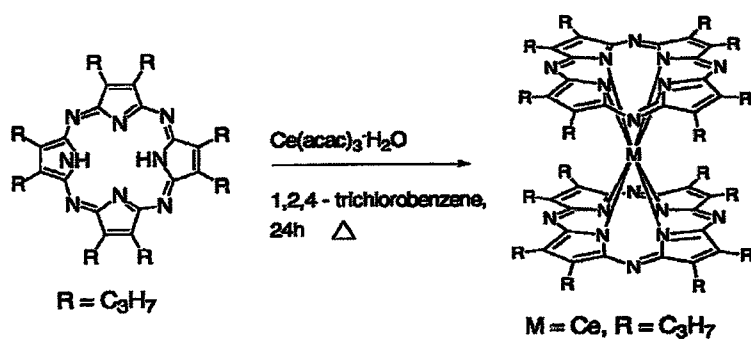
Metal bağlı porfirazin kümelerinden farklı olarak çeşitli sandviç türü kompleksler hazırlanmıştır (Şekil 2.35, Şekil 2.36 ve Şekil 2.37).



Şekil 2.35 Lutesum sandviç komplekslerinin hazırlanması



Şekil 2.36 Zirkonyum sandviç kompleksleri



Şekil 2.37 Seryum sandviç kompleksler

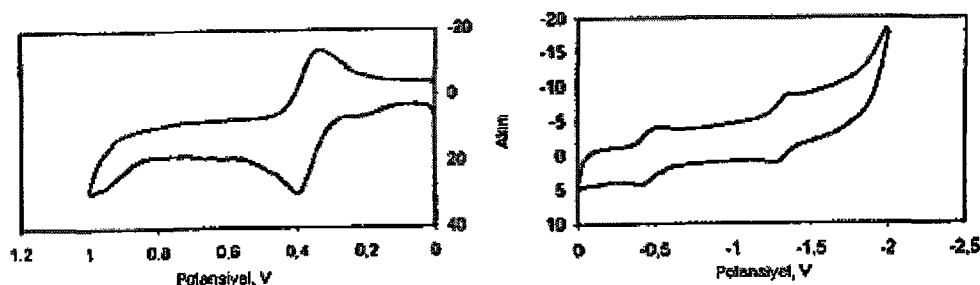
## 2.4.10 Periferal Konumlarda Tiyoetil Ester Grupları İçeren Porfirazinler

### 2.4.10.1 Ferrosen Sübstítüe Porfirazinler

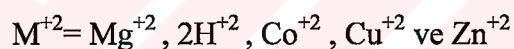
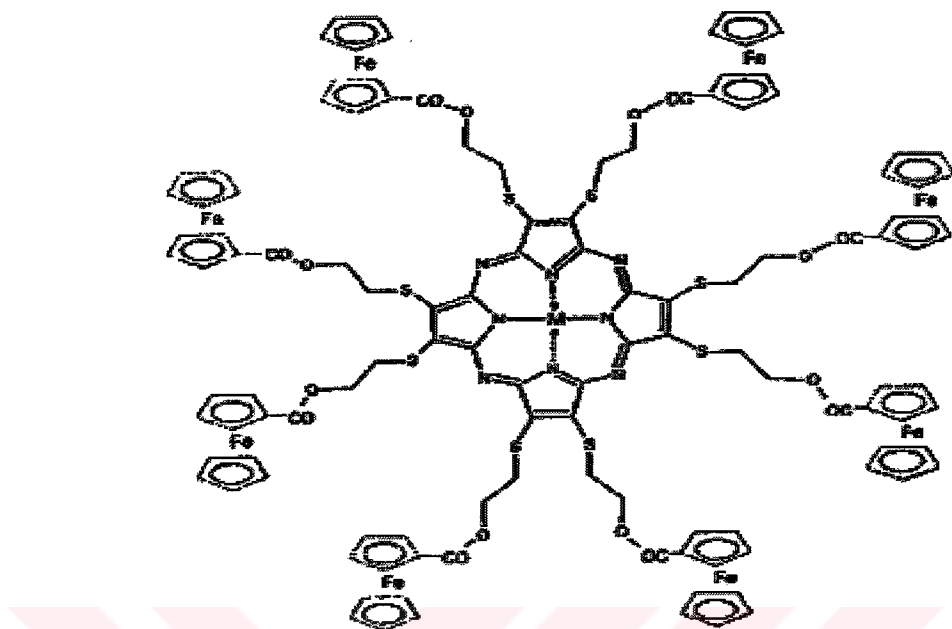
Ferrosen, elektrokimyasal açıdan gösterdiği karakteristik özelliklerini nedeniyle kendi başına standart olarak değerlendirilebildiğinden, ftalosiyanın ve tetrafenilporfirin çekirdeklerine eklenmek suretiyle hem ferrosenler arasındaki, hem de ferrosen-tetraapirol arasındaki etkileşimler incelenmiştir. Ferrosen gruplarının stanadart davranışlarına göre tetraapirol kısmının yükseltgenme-indirgenme potansiyalleri belirlenmiştir. İlk kez porfirazine sekiz adet ferrosen grubunun sübstítüsyonu sonucunda elde edilen ürünün yapısal özellikleri ve elektrokimyasal davranışları incelenmiştir (Akkuş ve Güll, 2001).

1,2-bis(2-hidroksietiltiyo)maleonitril bileşiği magnezyum propanolat varlığında n-propanol içerisinde reaksiyona sokulmuştur. Elde edilen hidroksiporfirazin, ferrosenin karboksilik türevi ile disiklokarbodiimid (DCCI) ve p-toluensulfonikasit varlığında reaksiyona girerek sekiz adet hidroksil gurubunun tamamı esterleştirilmiştir. Sonuçta oktakis(ferrosen)sübstítüe magnezyum porfirazin elde edilmiştir.

Son ürün trifloroasetik asit muamele edilerek metalsiz porfirazin elde edilmiştir. Metalsiz porfirazin Zn(II), Co(II) ve Cu(II) asetat tuzları ile reaksiyona sokularak metalli porfirazin türevleri elde edilmiştir (Şekil 2.39). Elde edilen tüm ürünler  $^1\text{H}$  NMR, IR, UV-görünür bölge spektrumları ve elementel analiz ile karakterize edilmiştir. Periferal pozisyonlarda bulunan ferrosen gruplarının elektrokimyasal özellikleri siklik voltametri yöntemiyle incelenmiş ve ferrosen gruplarına ait elde edilen sonuçlarda aynı potansiyelde görülen organometalik kısımların, birbirinden ve porfirazin kümelerinden yeteri kadar etkilenmediği görülmüştür (Şekil 2.38).



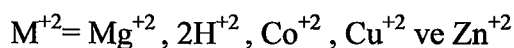
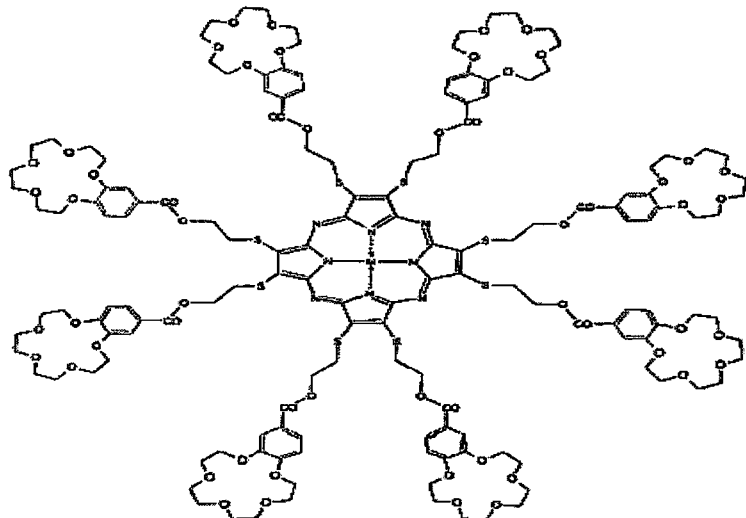
Şekil 2.38 CoPz'nin MeCN'de alınan CV'si.(Tarama hızı  $40 \text{ mVs}^{-1}$ , elektrolit  $0,1 \text{ M Bu}_4\text{NBF}_4$ , CoPz'nin konsantrasyonu  $4 \times 10^{-4} \text{ mol dm}^{-3}$ )



Sekil 2.39 Oktakis(ferrosen)-sübstitüe porfirazin türevleri

#### 2.4.10.2 Taç Eter Sübstitüe Porfirazinler

Ditiyomaleonitrildisodyum tuzunun uygun reaktanlarla alkillendirilmesiyle sekiz sülfür donör atomuna ilave edilmiş taç eter içeren porfirazin sentezlenmiştir. Taç eterlerin tetrapirol makrohalkalarına ilave edilmesiyle oluşturulan bileşigin sentezinden sonra, taç eter grupları ile sübstitüe edilmiş yeni bir porfirazin sentezlenmiştir (Şekil 2.40). Bu sentez disiklokarbodiimid (DCCI) varlığında, oktaetilhidroksi porfirazin ve benzo-15-krown'in karboksilik asit türevi ile reaksiyona sokulmuş ve porfirazin çekirdeğine esnek gruplarla bağlı sekiz adet taç eter grubu taşıyan yeni bir bileşigin elde edilmesi ile gerçekleştirılmıştır. (Sağlam ve Güll, 2001).

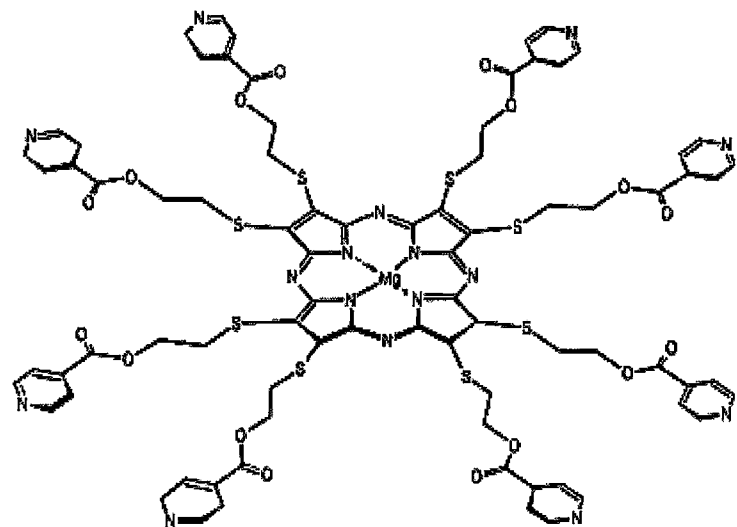


Sekil 2.40 Oktakis(krown-eter)sübstítüe porfirazin türevleri

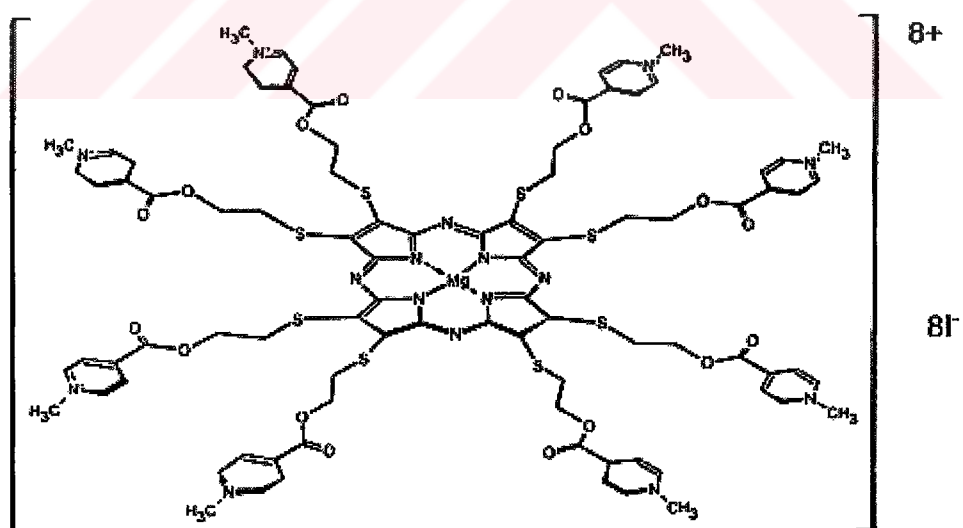
#### 2.4.10.3 N-Donör Sübstítüe Porfirazinler

Supramoleküler kimyanın üzerinde çalıştığı konular arasında bulunan, periferel konumlarda donör gruplar içeren porfirin ve ftalosianinler çok çalışılan konuları olmuştur. Özellikle N-donör gruplar (piridin, terpiridin, amino ) bulunan porfirinler supramoleküler kimya alanında yoğun bir şekilde çalışılmaktadır. Periferal konumdaki N-donör grupların kuaternizasyonuyla elde edilmiş olan katyonik yapılar DNA ve proteinlere bağlanabilme, fotodinamik kanser tedavisi, antiviral materyaller, DNA miktarını tayini gibi biomedikal uygulamalar açısından dikkat çekicidir. Bunlara ilaveten N-donör gruplar üzerinden değişik metal (Ru, Pt, W, Pd, Fe) koordinasyonları ile elde edilen supramoleküler yapılar, enerji dönüşümü ve çok bileşenli sistemlerin oluşturulmasında önemlidir.

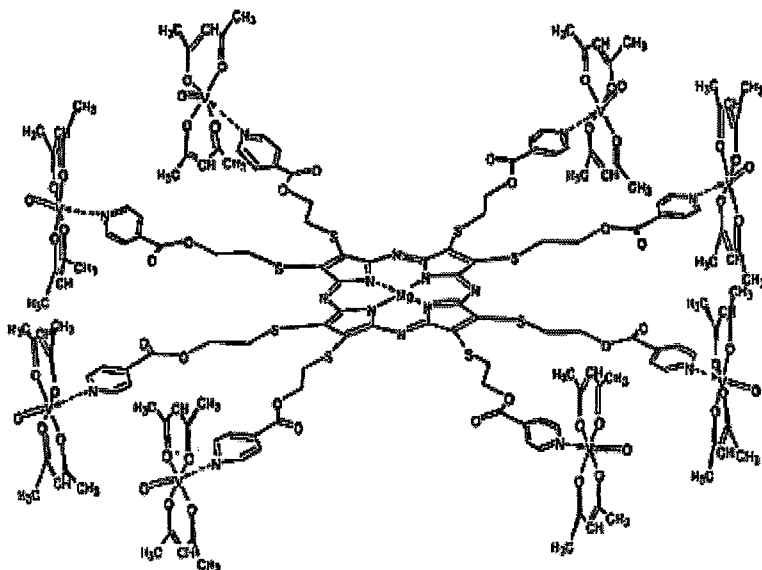
Oktaetilhidroksi porfirazin molekülünün piridin karboksilik asit ile kondensasyonu sonucu, periferal konumda sekiz adet piridin donör grubu taşıyan yeni bir porfirazin yapısı sentezlenmiştir (Şekil 2.41). İlkinci aşamada periferal piridinler kuaternize edilerek okta-kationik yapı elde edilmiştir (Şekil 2.42). Son aşamada periferal piridinler üzerinden paramanyetik metal merkezleri ile koordinasyon bağları oluşturmuş ve nonanükleer supramoleküler yapılar sentezlenmiştir (Şekil 2.43). Sentezlenen paramanyetik supramolekülün EPR yöntemi ile yapısı incelenmiş (Şekil 2.44) ve katyonik porfirazinin proteinlerle biomedikal etkileşimleri incelenmiştir (Öztürk ve Gül, 2004).



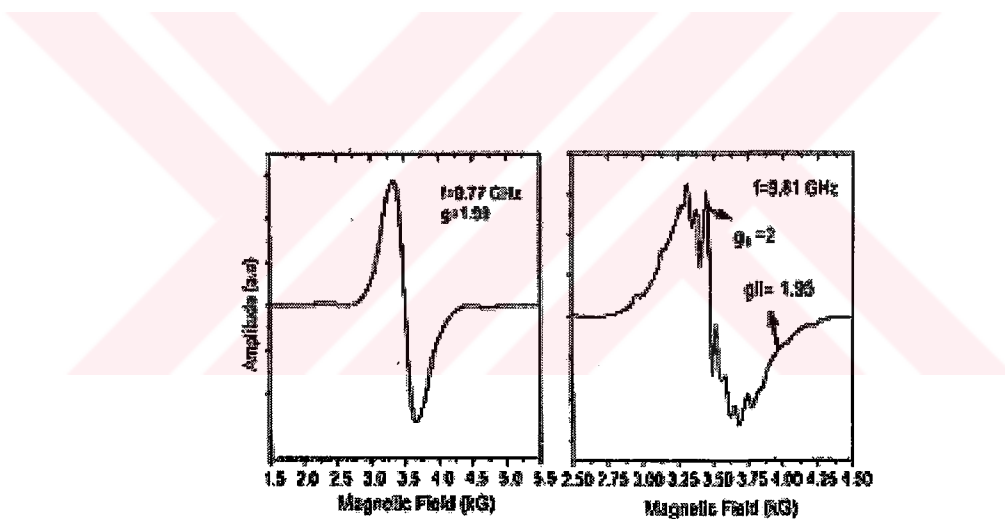
Sekil 2.41 MgPyPz molekülü



Sekil 2.42 Oktakatyonik porfirazin (QMgPyPz)



Sekil 2.43 Vanadil bis(asetilaseton) içeren oktakis(4-piridoksi)porfirazinatomagnezyum



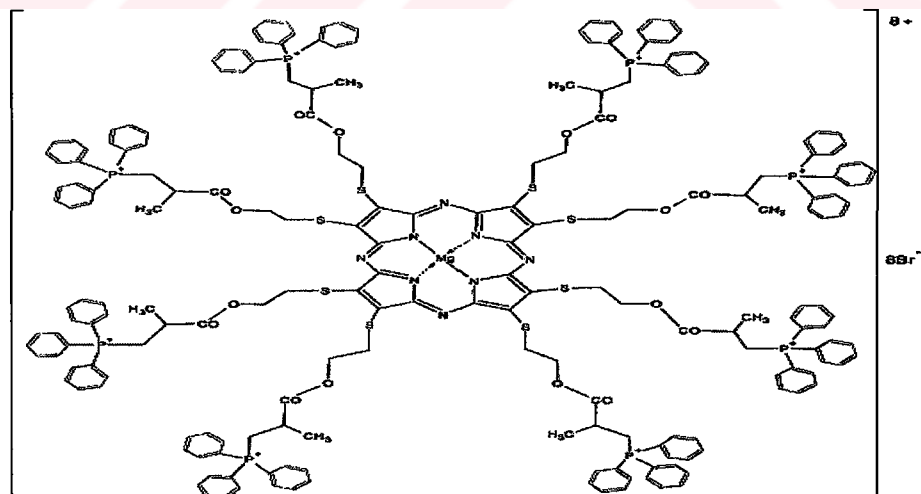
Sekil 2.44 a)  $\text{VO}(\text{acac})_2$  ve b) supramoleküle ait X-band EPR spektrumları

#### 2.4.10.4 Fosfonyum Grupları İçeren Porphyrins

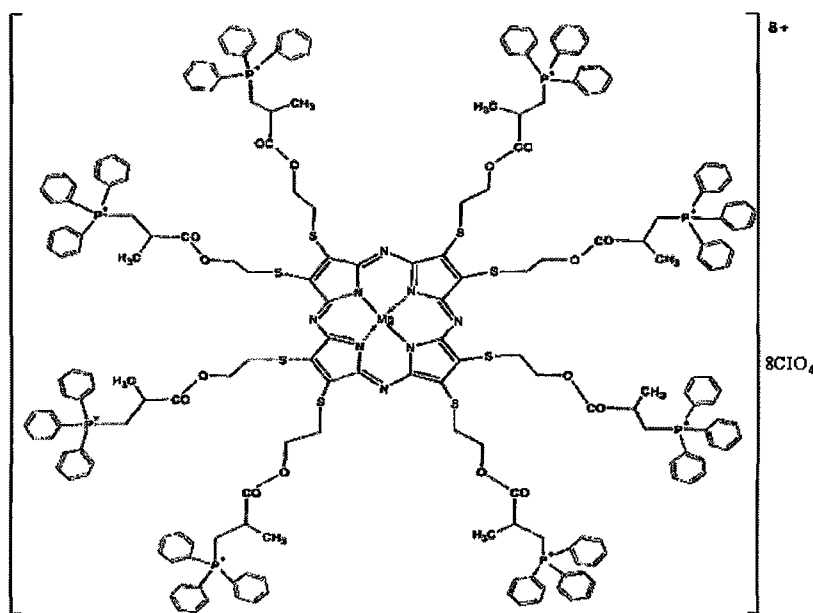
Periferal konumlarında fosfonyum grupları taşıyan porfirazinleri sentezlemek için ilk aşamada, çevresinde sekiz adet hidroksietiltiyo grupları bulunan porfirazin çekirdeği elde edilmiştir. İkinci aşamada istenilen yapıya geçilmiştir. Trifenil fosfonyum grupları taşıyan porfirazin türevi, elektronca zengin hale gelmiştir. Yapılan çalışma, elde edilen porfirazinin kuaterner amonyum birimleri içeren porfirazinler ile karşılaştırma imkanı sağlanmıştır (Gonca, 2004)

Disodyum tuzu halindeki başlangıç maddesinin 2-brometanol ile mutlak alkol etanol içerisinde oda sıcaklığında 3 gün süren reaksiyonu ve soğuk dietileter ile tekrar kristallendirilme işlemlerinin sonucunda 1,2-bis(hidroksietiltiyo)maleonitril ürünü elde edilmiştir. Porfirazin sentezinde genel olarak kullanılan yöntem, magnezyum alkolat varlığında doymamış 1,2-dinitril bileşığının siklotramerizasyonudur (Kadish vd., 2000). 1,2-bis(hidroksietiltiyo)maleonitril bileşığının magnezyum bütillat varlığında bütanol içerisindeki reaksiyonu ile koyu mavi renkli ürün olan oktakis(2-hidroksietiltiyo)porfirazinato magnezyum elde edilmiştir ve fosfor içeren birimle reaksiyona sokulmuştur.

Fosfonyumil porfirazin, tetraapirol halkanın  $\pi$  düzleminin periferal posizyonunda +8 yüklüdür. Porfirazindeki katyonik bölgeler ester köprüleri ile birbirinden ayrılmıştır. Bu okta-kationik yapılar indüktif etkiyle elektron yoğunluğunu etkileyen katyonik merkezlere sahip katyonik porfirazin türevlerinden tamamen farklıdır (Anderson, vd., 1999; Kudrevich ve van Lier, 1996). Yani porfirazinde aromatik  $\pi$  düzleminin elektronik özellikleri oldukça etkilenir. Oluşan ürünün (Şekil 2.45) sudaki çözünürlüğü çok azdır. Ürünün katyonik yapıda olduğunu kanıtlamak için sodyum perkloratın etanoldaki doymuş çözeltisi, kloroformda çözünmüş olan ürüne damla damla ilave edilmiş ve ürünün çökmesiyle bromürden perklorata (Şekil 2.46) iyon değişimi gözlenmiştir. Ürünlerin karakterizasyonu elementel analiz, UV-görünür bölge, FT-IR,  $^1\text{H}$  NMR ve  $^{31}\text{P}$  NMR spektrumları ile yapılmıştır.



Şekil 2.45 {Oktakis[trifenil-(2-sülfonil-etoksikarbonil-2-propil)fosfonyum]porfirazinatomagnezyum}-oktabromür



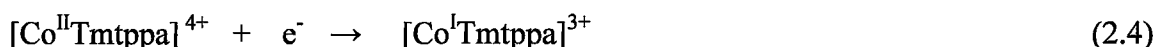
Şekil 2.46 {Oktakis[trifenil-(2-sülfonil-etoksikarbonil-2-propil)fosfonyum] porfirazinatomagnezyum}-oktaperklorat

#### 2.4.11 Porfirazinlerin Kullanım Alanları

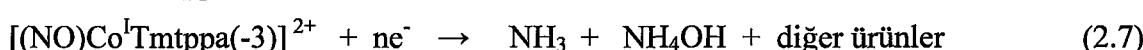
Metallo-porfirazinler elektrografik kayıt, manyetik toner mürekkebi, moleküller fotovoltaiklerde, optik ışık düğmelerinde kullanımı söz konusudur. Porphirazinler, fotostabil ışık filtrelerinin hazırlanmasında da kullanılır. Bunlar IR görünür bölge ve yakın IR alanında absorpsiyon yaparlar. Polimerik maddelerde ışık filtrasyonu için 560-620 nm alanında absorpsiyon gösteren bir bileşim olarak metalsiz porfirazin ve metalli porfirazinlerin polimetilmetakrilatta ki karışımı üzerinde çalışılmıştır. Metalli porfirazin olarak Mg (II), Pd(II) ve Cu (II) metallerinin etanol çözeltisi lazer yapımında ışıklandırıcı olarak kullanılmıştır.

Metallo-ftalosianinlerde (MPc) katalitik aktivite merkezi-metal iyonuna bağlıdır. MPc'lerden CoPc ve FePc'lerin daha iyi katalitik aktivite gösterdiği saptanmıştır. Porphirazinlerin diğer tetraapirol türevlerine göre daha kararlı katalizör olduğu görülmüştür. Modifiye karbon elektrodlarda, nitritin katalitik redüksiyonu Co(II) tetra-2,3-piridinoporfirazin kullanılarak gerçekleştirilmiştir (Thamae ve Nyokong, 1999). Bu bileşliğin tetrametil kuarternize şekli suda çözünür ve elektron verici piridin halkalarının

varlığı ile tetrametil tetrapiridinoporfirazin  $[\text{Co}^{\text{II}}\text{Tmtppa}]^{4+}$  komplekslerinin indirgenme için iyi bir katalizör olduğu gözlenmiştir.



İndirgenmiş türler karbon elektrod yüzeyinde iletken bir film oluşturur. Redüksiyon potansiyeli Ag/AgCl elektroda karşı 0.25 V olarak ölçülmüştür. Nitritin elektrokatalitik olarak indirgenmesi aşağıda gösterildiği gibi olan halka-esashı olasılıkları da öne sürüyor.

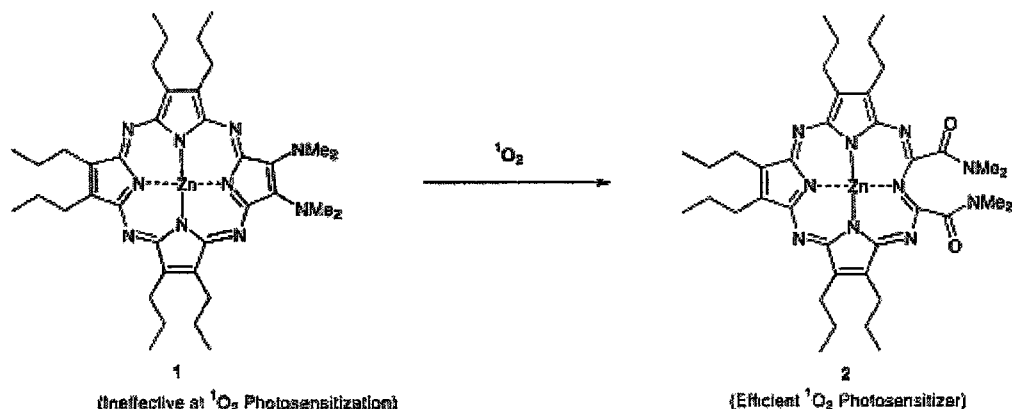


NO'in redüksiyonu Ag/AgCl elektroda karşı -0.6 V'da ölçülmüştür.

Fotodinamik Terapide (PDT) kullanılan photosensitizerlerin (ışığa duyarlı madde) genelde, yüksek fotostabilitesi, tümörlere karşı seçicilik göstermesi, sitotoksisite göstermemesi, ışıkla uyarıldığı zaman dokulara iyi nüfuz eden 600-800 nm arasındaki bölgede kuvvetli absorpsiyon yapması (yüksek molar ekstinksyon katsayısı), yüksek singlet oksijen kuantum verimleri ve triplet hal ömrlerinin uzun olması gereklidir (Gan vd., 2005). Günümüzde hematoporfirin, ve protofirin gibi porfirin türevleri PDT için photosensitizer olarak kullanılmaktadır. Ancak hematoporfirin türevleri ve protoporfirin esas absorpsiyon bandı 400 nm civarında olduğundan dokuya nüfuz etmesi düşük ve absorpsiyon şiddeti de zayıftır. Bunun yanında, ftalosiyanyan türevleri 650-850 nm bölgesindeki yüksek absorpsiyonu, triplet hal ömrlerinin uzun olması, singlet oksijen kuantum verimlerinin yüksek olması ve onların kimyasal stabilitelerinden dolayı mükemmel fotosensitizerlerdir. Doğal olarak çözünebilir tetraapirol türevleri gereklidir. Bir photosensitizer varlığında, fotooksidasyon singlet oksijen yoluyla ilerler. Triplet haldeki dioksijen uyarılmış haldeki singlet oksijeni oluşturur. Singlet uyarılmış oksijen, ürün oksidi oluşturmak için bir substrat ile reaksiyona girer (Sakamoto, vd., 2002).

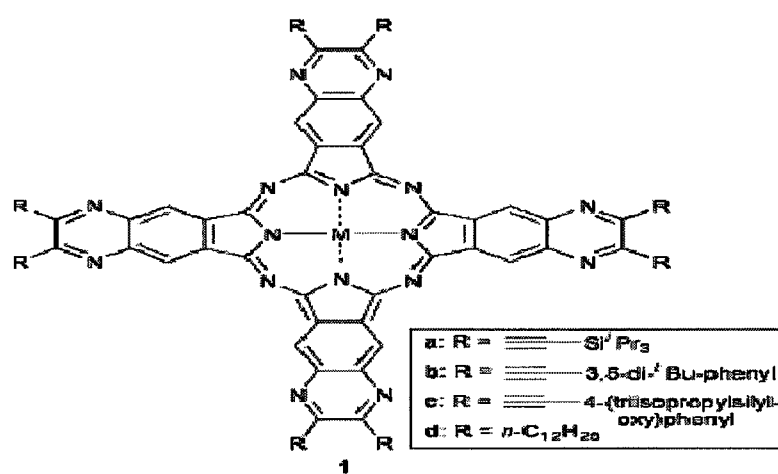


Şekil 2.47'de 2 bileşigi singlet oksijenin oluşumu için muhteşem bir photosensitizer'dir (Sakellariou vd., 2000).



Şekil 2.47 Porfirazin photosensitizer (ışığa duyarlı)

Şimdiye kadar fotodinamik tedavide, ışığa duyarlı bir madde (photosensitizer) olarak porfirazinlerin kullanılmasını amaçlayan çalışmalar vardır. Asetilen sübstitüe tetra[6,7]kinoksalinoporfirazin, dialkinil-1,2-dianyon ve 1,2-diamino-4,5-disiyano benzen arasında gerçekleşen iki basamaklı bir reaksiyon sonucu elde edilir (Şekil 2.48). Elde edilen bu yapı yakını IR bölgesinde absorpsiyon gösterir. Yapılan çalışma sonucunda sentezlenen bu maddenin fotooksidasyon özelliğine sahip olduğu ve ileride fotodinamik terapide photosensitizer olarak kullanmak için umut verici bir madde olmuştur (Mitzel, vd., 2001).



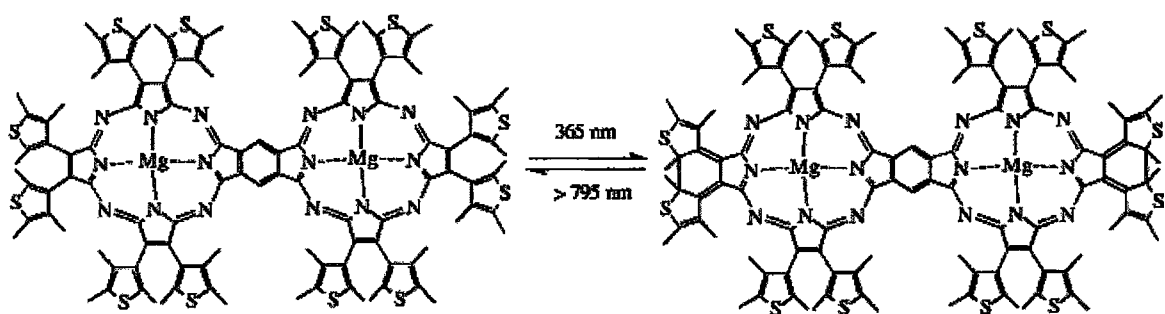
Şekil 2.48 Sübstitüe tetra[6,7]kinoksalinoporfirazin

Bağışıklık sistemi hastalıkları, AIDS, kan kanserleri, organ nakli reddi gibi hücrelerin hızlı çoğaldığı hastalıklarda porfirazinlerin ve diğer tetrapirol türevlerinin faydalı roller üstlenebileceği düşünülmektedir. Işıkla harekete geçen bu ilginç moleküllerin ilerde çok daha geniş bir kullanım alanına sahip olacağı düşünülmektedir.

Katyonik porfirinik makrosiklikler biyolojide, tipta, katalizör ve materyal olarak kullanım alanına sahiptirler.  $ZnPz^{8+}$ 'nin pH=7'de, farklı DNA konsantrasyonları ile titrasyonu yapılarak absorbanslarının değişimi incelenmesi sonucunda DNA 'ya bağlandığı gözlenmiştir (Anderson vd., 2000)

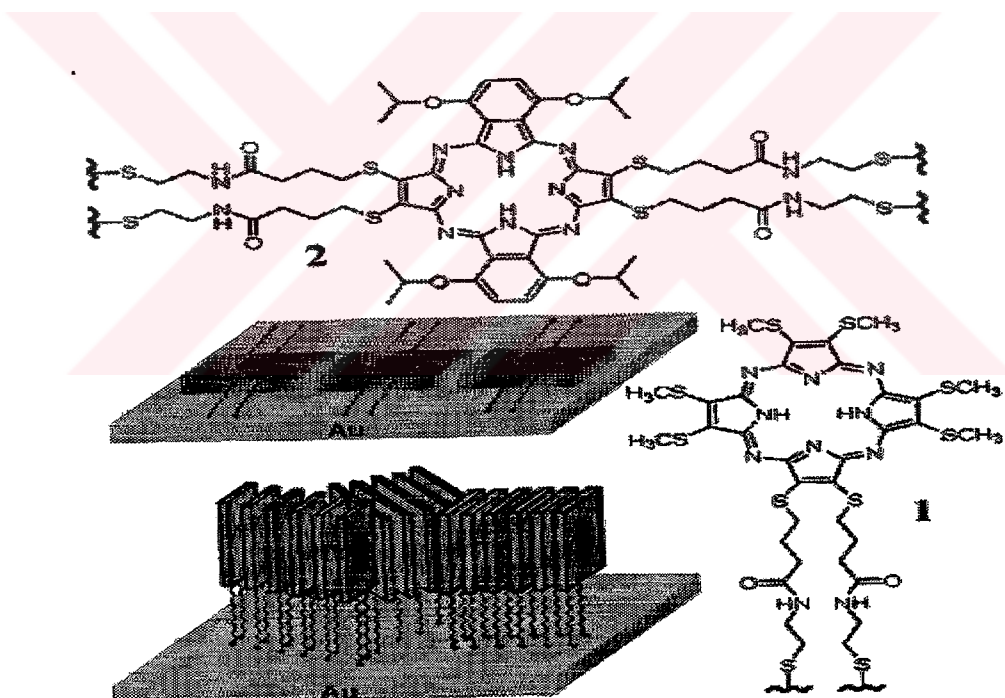
Nonlineer optik (NLO) fotonik ve optoelektronik alanında önemli bir konudur. Bu iş için araştırılan ftalosiyantan, porfirin ve hemiporfirazin mükemmel termal ve kimyasal stabiliteye sahiptir. Aşırı delokalize iki boyutlu  $\pi$ - elektron konjugasyonu ile simetrik yapı ve üçüncü derece optik nonlineerlik arasında bir bağlantı olduğu düşünülmektedir. Bazı porfirazin germanyum türevlerinin ince filmler oluşturularak üçüncü derece nonlineer optik suseptibilitesi literatürlerde ölçülmüştür (Nalwa vd., 1999). Metalloftalosiyantan printer ve fotokopi endüstrisinde fotoiletkenler olarak kullanılmaktadır. İkinci derece nonlineer optik maddelerde simetrinin azalması, donör ve akseptör grupların periferal konumlara sübstitusyonu gereklidir (Rojo vd., 1999; Tsai vd., 1999). Donör ve akseptör uç grupları arasında polarize olabilir elektronların sayılarının artmasıyla ikinci derece optik nonlineerliğin bu tür sistemlerde belirli bir şekilde arttığı gözlenmiştir.

Organik fotokromik moleküller bilgi depolama ve görüntüleme aletlerinde kullanıldığı için dizayn edilmeleri, sentezleri ve uygulamaları önem taşiyor. Şekil 2.49'da görülen molekül uygun dalga boylu bir ışınla uyarıldığı zaman, bir fotokromik molekül fotokimyasal olarak iki izomerik hale dönüştürbilir (Luo vd., 2004). İki izomer arasındaki farklılık spektroskopik veya fiziksel özelliklerle belirlenebilir. Porfirazin metal kompleksleri arasında IR bölgede yüksek fluoresans gösterdiği için fotokromik prosesde fluoresanslarındaki değişiklikler duyarlı ikili optik okuma olarak kullanılır.



Şekil 2.49 Fotokromik proses

Şekil 2.50 'de gösterilen 1 bileşiği kendi aralarında birleşmiş ve yüzeyi tek tabaka halinde kaplamıştır. 2 bileşiği ise molekül düzlemi Au yüzeyi ile çakışmıştır (Vesper vd., 2004). Bu şekilde optik, elektrik ve sensör gibi alanlarda kullanılmak üzere iletken teller yapılabilir.



Şekil 2.50 Porphrazin yapıları ve Au yüzeye tek tabaka halinde yönlenmesi

#### **2.4.12 Çalışmanın Amacı ve Kapsamı**

Porfirazinler, diğer tetraapirol türevi makrohalkalarına (porfirin, ftalosiyanın gibi) benzer özellikler göstermesinin yanında, sentezlenmesi ve izolasyonundaki kolaylık nedeniyle son yıllarda ilgi çekmeye başlamıştır. Özellikle ftalosiyanler ile benzer delokalize  $\pi$  sistemlerine sahip olduklarıdan, sentezlenen bileşiklerin birbirine yakın özellikler göstermesi beklenebilir. Periferal konumlarda farklı sübstituentlere sahip tetraapirol makrohalkaları, ilginç optik, katalitik, ve elektronik özellik gösteren malzemelerin elde edilmesinde kullanılırlar. Örneğin periferal konumlarına değişik sübstituentler ilave edilmiş ftalosiyanlerin, iyon kanalı ve sıvı kristal gibi düzenli yapılar göstergelerini, kimyasal sensörlerde algılayıcı malzeme olarak kullanılmalarını ve elektrokatalitik aktivite göstergelerini verebiliriz. Periferal konumlarda farklı fonksiyonel gruplar taşıyan porfirazinler ve onların elektrokimyasal, asit-baz özellikleri hakkında son zamanlarda yoğun çalışmalar yapılmaktadır.

Bu çalışmada periferal konumlarda naftalen grupları taşıyan metalli ve metalsizporfirazinler sentezlenmiştir. Naftalen türevleri gibi aromatik bileşikler fotoemisyon çalışmalarında etkili fonksiyonel gruplardır. Antrasen ve naftalen gibi sıklik aromatik bileşikler, supramoleküller sistemlerde luminofor olarak sık kullanılan ve oldukça iyi bilinen fluoresans gösteren moleküllerdir (Gonca, 2000). Bu amaçla porfirazin yapısına naftalen katılmasının molekülün fluoresansı üzerine etkisi incelenmiştir.

İstenilen yapıyı sentezlemek için ilk aşamada, porfirazin çekirdeğinin etrafında sekiz adet hidroksietiltiyo grupları taşıyan yapı elde edilmiştir. Bu grplarda bulunan hidroksil grupları ve karboksilik asit (2-naftoikasit) arasında esterleşme reaksiyonu gerçekleştirilerek hedef yapıya ulaşılması sağlanmıştır. Bu aşamadan sonra trifloroasetik ait kullanılarak metalsiz porfirazinler ve son elde edilen metalsiz porfirazinler ile metallerin tuzlarının reaksiyona sokulması ile metalli porfirazinler ( $\text{CoPz}$ ,  $\text{NiPz}$ ,  $\text{ZnPz}$ ) elde edilmiştir. Elde edilen tüm ürünlerin karakterizasyonu UV-görünür bölge, FT-IR,  $^1\text{H}$  NMR,  $^{13}\text{C}$  NMR ile yapılmıştır.

### **3. DENEYSEL ÇALIŞMALAR**

#### **3.1 Kimyasal Maddeler**

Sodyum siyanür, dimetilformamid (DMF), karbondisülfür, isobütanol, kloroform, metanol, dietileter, etanol, 2-brometanol, t-butilmetileter, magnezyum talaşı, iyot, n-propanol, sodyumkarbonat ( $\text{Na}_2\text{CO}_3$ ), disiklohekzilkarbodiimid (DCCI), p-toluensülfonik asit, 2-naftoik asit, piridin, sodyumsülfat ( $\text{Na}_2\text{SO}_4$ ), trifloroasetikasit, silikajel 60 (0,04-0,063), celitte, amonyak (%25), hekzan, çinko (II) asetat, kobalt (II) asetat, nikel (II) asetat Merck ve Fluka firmalarına ait saf çözücü ve kimyasal maddelerdir.

#### **3.2 Kimyasal Cihazlar**

1-Infrared spektrofotometresi : ATI-Unicam Mattson 1000 FT-IR (KBr teknigi ile) (YTÜ)

Infrared spektrofotometresi : Perkin Elmer Spectrum One FT-IR (KBr teknigi ile) (YTÜ)

2- $^1\text{H}$  NMR Spektrofotometre : Varian Unity İnova 500 MHz ( $\text{CDCl}_3$  içinde) (SÜ)

3- Ultravile-visible spektrofotometresi : Agilent 8453 UV/Vis Spectrometer, Küvet 10 mm

Hellma, 104-QS (YTÜ)

4- TLC de UV-Vis model, 50 Hz UVP (Ultravole Lamba) kullanıldı (YTÜ).

5- Elde edilen saf maddelerin erime noktası tayin cihazı : Electrothermel IA 9100 digital erime noktası cihazında tayin edildi (YTÜ).

6- Distile su cihazı : Maxima Ultra-Pure Water

7- Analitik Terazi : Agust Sauter D-7470

8- Steady-state Fluoresans Spektrofotometresi : Quanta Master Spektrofluorimetre (YTÜ)

### 3.3 Solventlerin Kurutulması

n-Propanol : 100 mL propanole yaklaşık 1 g metalik Na eklenerek bir gece karıştırıldıktan sonra distillendi.

Piridin : 100 mL piridin içine 1 g NaOH eklenip bir gece karıştırıldıktan sonra distillendi.

### 3.4 Başlangıç Maddelerinin ve Yeni Maddelerin Sentezi

#### 3.4.1 Sodyumsiyanođitioformiyat (P1) sentezi (Bahr ve Schleitzer, 1967; Davison ve Holm 1967; Simmons vd., 1962)

4,9 g (0,1 mol) ince öğütülmüş NaCN 30 ml DMF içerisinde bulamaç haline getirilir. Şiddetli karıştırıp dıştan buzlu su ile soğutarak 6,2 ml (7,6 g, 0,1 mol) CS<sub>2</sub> 10 dakika içerisinde damlatılır. Buzlu su uzaklaştırılıp 30 dakika daha kuvvetlice karıştırılır. Koyu kırmızı-kahverengi macun haline gelen balon muhtevası yaklaşık 100 ml oluncaya kadar isobütanol ile doldurulup ürün çözünunceye kadar ısıtılır. Reaksiyona girmemiş NaCN'ü ortamdan uzaklaştırmak için çözelti sıcakken süzülür. Çözelti soğumaya bırakıldığında uzun iğne halinde ürün kristallenir. Çözelti az miktarda eter ile yıkandırılarak ve P<sub>2</sub>O<sub>5</sub> üzerinden kurutulur. Verim 31 g (%90). Kristaller üç DMF molekülüde içermektedir (Şekil 3.1).



Şekil 3.1 Sodyumsiyanođitioformiyat (P1)

### 3.4.2 Ditiyomaleonitril disodyum tuzunun (P2) sentezi (Bahr ve Schleitzer, 1967; Davison ve Holm 1967; Simmons vd., 1962)

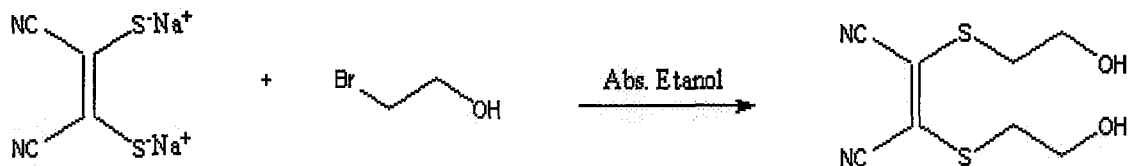
34,5 g (0,1 mol) sodyumsiyanoditiyoformiyat 100 ml CHCl<sub>3</sub>'da çözülüp süzüldüğünde koyu kırmızı-kahverengi bir çözelti oluşur. Çözelti oda sıcaklığında 4-5 gün kendi haline ağzı kapalı olarak bırakıldığında ürün ve kükürten ibaret bir çökelti oluşur. Çöken kısım az miktarda CHCl<sub>3</sub> ve eter ile yıkılır. Metanolde çözülür, çökelti süzülerek ayrılır. Süzüntüdeki metanol'un  $\frac{3}{4}$  ü uzaklaştırılır. Soğuk eter ilavesi ile oluşan ürün bir gece soğutucuda bekletilerek ürünün çökmesi sağlanır. Limon sarısı kristaller oluşur (Şekil 3.2). Su ve metanolde haifif, etanolde iyi, isopropil alkolde az çözünür. Dietileter, benzen ve CHCl<sub>3</sub> da çözünmez. 300 °C de erimeden bozunur. Verim 6,60 g (% 69)



Şekil 3.2 Ditiyomaleonitril disodyum tuzu (P2)

### 3.4.3 1,2-bis(2-hidroksietiltiyo)maleonitril (P3) sentezi (Akkuş ve Gül, 2001; Sağlam ve Gül, 2001)

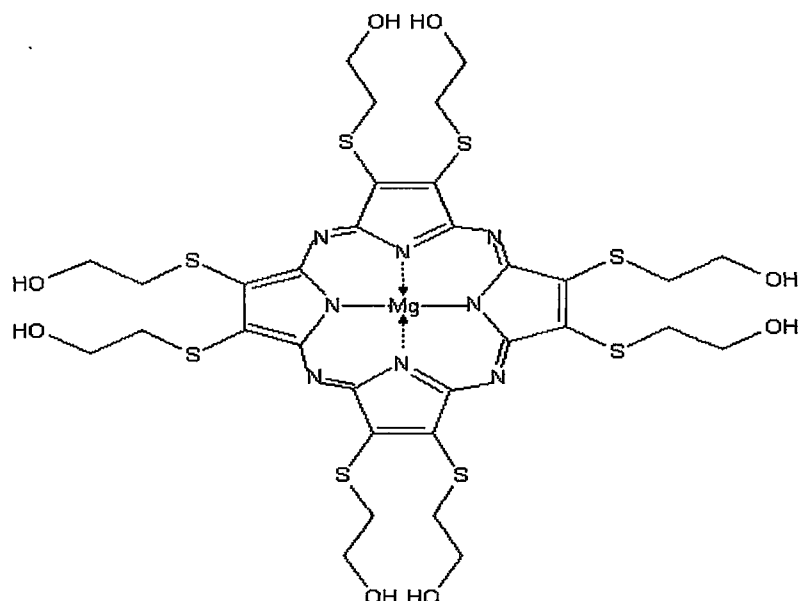
5,58 g (0,03 mol) ditiyomaleonitrildisodyum tuzu 200 ml mutlak alkolde çözülür ve 7,5 g (4,28 ml, 0,032 mol) 2-brometanol argon gazı altında ilave edilir. Oda sıcaklığında üç gün tutulan reaksiyon karışımı süzülür ve süzüntüden alkol uçurulur. Kahverengi-kırmızı renkli yağimsı kalıntı t-butilmetileter ile muamele edilir ve t-butilmetileter evaporatörde uçurulur. Yağimsı ürün bir gece kendi haline bırakıldığında katılaştiği görülür ve soğuk dietileter ile çalkalanıp süzüldüğünde beyaz iğne kristaller sentez edilir (Şekil 3.3). Verim 3,95 g (%57), (E.N: 63 °C). Maddeye ait IR ve <sup>1</sup>H NMR spektrumları ekte mevcuttur.



Şekil 3.3 1,2-bis(2-hidroksietiltiyo)maleonitril (P3)

#### 3.4.4 [2, 3, 7, 8, 12, 13, 17, 18 -oktakis (2-hidroksietiltiyo)porfirazinato N<sup>21</sup>N<sup>22</sup>N<sup>23</sup>N<sup>24</sup>] magnezyum (P4) sentezi Akkuş ve Gül, 2001; Sağlam ve Gül, 2001)

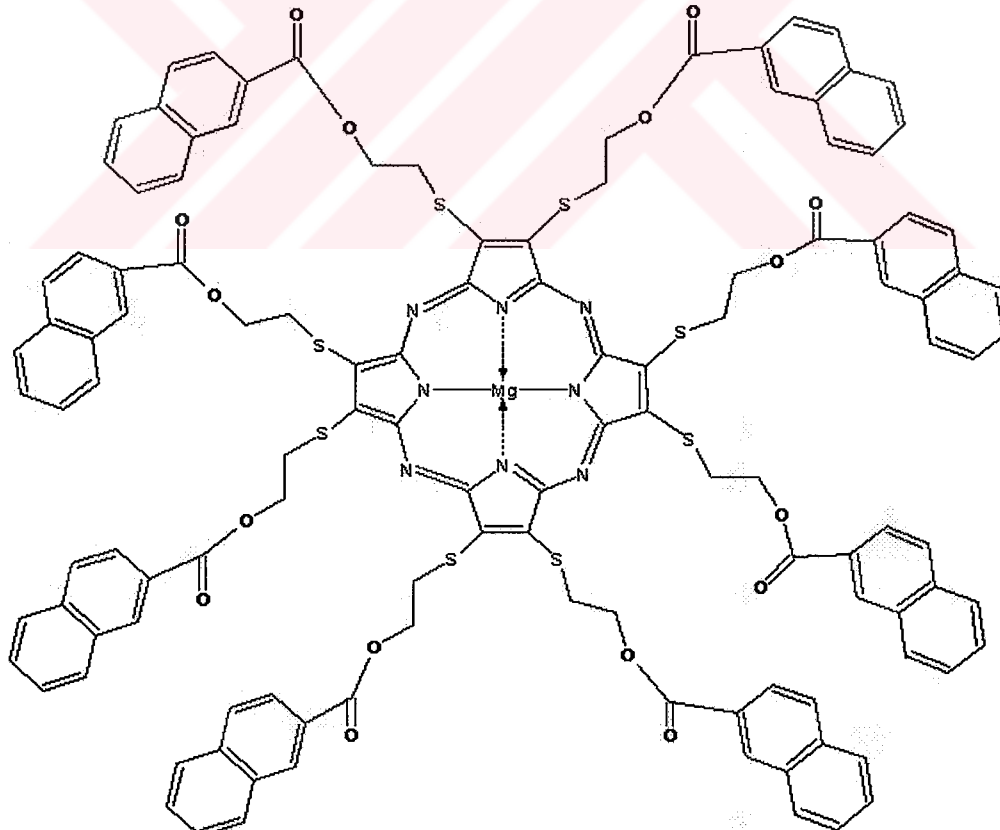
0,184 g (8 mmol) magnezyum 15 ml propanolde çözülür. Başlangıçta bir miktar iyot ilavesi yapılır. Renk gri bulanık hale gelince argon gazı altında 2,67 g (12 mmol) 1,2-bis(2-hidroksietiltiyo)maleonitril ilave edilir. Madde ilave edilir edilmez renk açık yeşilden koyu maviye döner. Reaksiyon 12 saat geri soğutucu altında tutulur ve reaksiyon kesilir kesilmez süzülür. Kalıntı bol sıcak propanol ile yıkanır. Süzüntüler alınır ve solvent rotada uçurulur. Balondaki kalıntı %10 luk Na<sub>2</sub>CO<sub>3</sub> çözeltisi ile muamele edilir. Bol su ile yıkanır ve kalıntı susuz Na<sub>2</sub>SO<sub>4</sub> üzerinden kurutulur. Süzüntü alınır ve çözücü rotada uçurulur. Koyu mavi renkli yağimsı ürün elde edilir (Şekil 3.4). Ürün metanol, etanol, n-propil alkol, DMF, THF'da oldukça iyi çözünür. Etilasetat, hekzan ve kloroformda ise çözünmemektedir. C<sub>32</sub>H<sub>40</sub>N<sub>8</sub>O<sub>8</sub>S<sub>2</sub>Mg (M<sub>A</sub>:945,5 g/mol ), Verim 1,65 g (%56). Maddenin IR ve UV-görünür bölge spektrumu ekte mevcuttur.



Şekil 3.4 Oktakis (2-hidroksietiltiyo) porfirazinato magnezyum (P4)

**3.4.5 {2, 3, 7, 8, 12, 13, 17, 18-oktakis [2<sup>1</sup>-(2-naftalenkarbaksi)etiltiyo] porfirazinato N<sup>21</sup>N<sup>22</sup>N<sup>23</sup>N<sup>24</sup>} magnezyum(II) Sentezi (P5)**

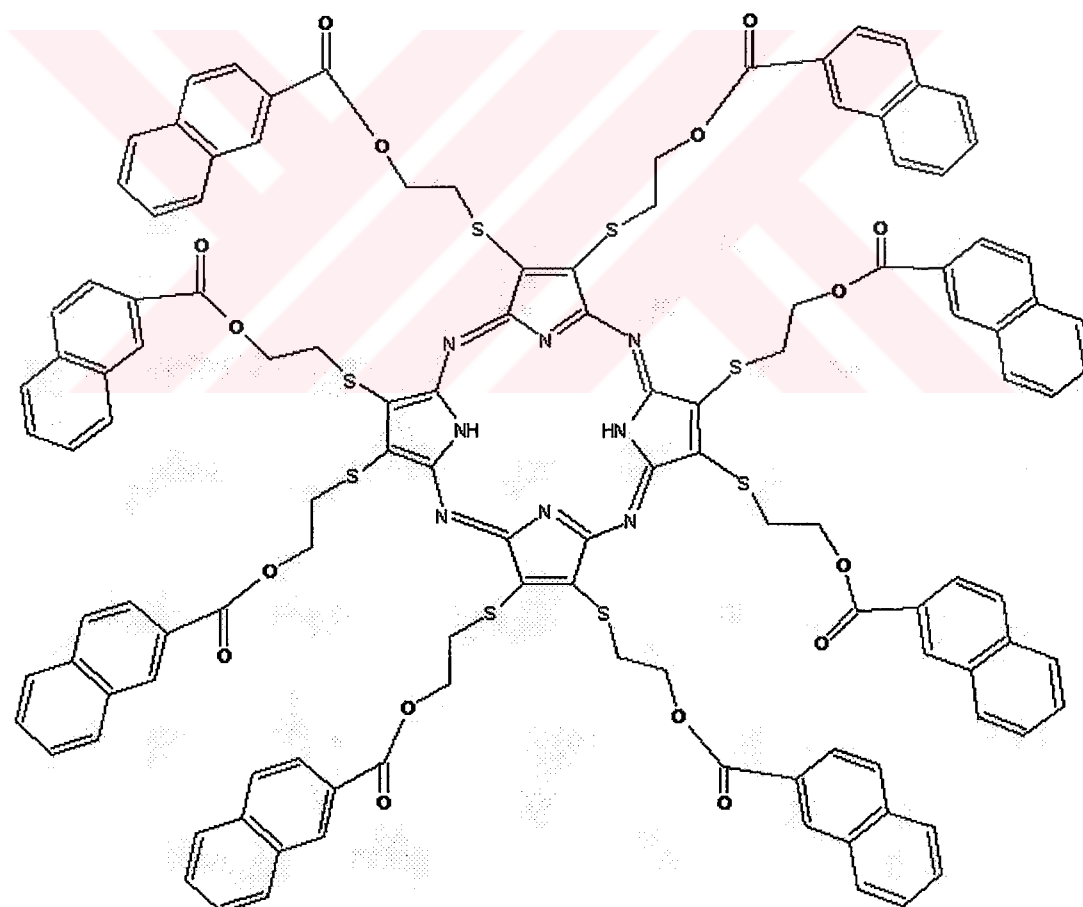
0,236 g (0,25 mmol) (P4) bileşiği, 1,104 g (6 mmol) disikloheksilkarbodiimid (DCCI), 0,043 g (0,25 mmol) p-toluenülfonik asit ve 1,02 g (6 mmol) 2-naftoik asit 20 ml kuru piridin de oda şartlarında argon gazi altında karıştırılır. Reaksiyon 10 gün devam ettirilir. Karışım alınır ve süzülür. Kalıntı sıcak distile su ve etanol ile birkaç kez yıkanarak DCCI ve reaksiyona girmemiş 2-naftoik asit fazlarından uzaklaştırılır. Kloroform fazına alınan ürün %10 Na<sub>2</sub>CO<sub>3</sub> çözeltisi ile ekstrakte edilir. Kloroform fazı distile su ile yıkandır ve Na<sub>2</sub>SO<sub>4</sub> üzerinden kurutulur. Disikloheksil üreden ayırmak için çözelti cellite'den süzülür ve solvent evaporatörde uçurulur. Katı olarak ele geçen mavi-yeşil ürün vakumda kurutulur (Şekil 3.5). Ürün kloroform, diklorometan ve DMF'de çözünürken, metanol, etanol ve toluende çözünmemektedir. C<sub>120</sub>H<sub>88</sub>N<sub>8</sub>S<sub>8</sub>O<sub>16</sub>Mg (M<sub>A</sub>: 2178,8 g/mol), Verim 0,21 g (%38). Maddenin IR, UV-görünür bölge ve <sup>1</sup>H NMR spektrum sonuçları ekte mevcuttur.



Şekil 3.5 2-Naftoik asit sübstitüe porfirazin (P5)

**3.4.6 {2, 3, 7, 8, 12, 13, 17, 18-oktakis [2-(2-naftalenkarboksi)etiltiyo] H<sup>21</sup> H<sup>23</sup> porfirazin N<sup>21</sup>N<sup>22</sup>N<sup>23</sup>N<sup>24</sup>} (P6) Sentezi**

0,108 g (0,1 mmol) (P5), yaklaşık 2 ml CF<sub>3</sub>COOH içinde çözülkerek karıştırılır. Oda sıcaklığında 24 saat bekletilir. Sabah buzlu su üzerine damla damla ilave edilerek çöktürülür. Ortamın pHının nötrellenmesi için üzerine % 25 lik NH<sub>3</sub> çözeltisi ilave edilir ve süzülür. Elde edilen ürün distile su ile yıkanır. Son olarak elde edilen mor renkli ürün etanol ve dietileter ile yıkanır ve kurutulmaya bırakılır (Şekil 3.6). Kloroform ve diklorometan gibi çözücülerde çok iyi çözünmekteidir. C<sub>120</sub>H<sub>90</sub>N<sub>8</sub>S<sub>8</sub>O<sub>16</sub> (M<sub>A</sub>:2156,6 g/mol ) Verim 0,062 g (%55). Maddenin IR, UV-görünür bölge, <sup>13</sup>C NMR ve <sup>1</sup>H NMR spektrum sonuçları ekte mevcuttur.



Şekil 3.6 Metalsiz porfirazin (P6)

**3.4.7 {2, 3, 7, 8, 12, 13, 17, 18-oktakis [2<sup>1</sup>-(2-naftalenkarboksi)etiltiyo] porfirazinato N<sup>21</sup>N<sup>22</sup>N<sup>23</sup>N<sup>24</sup>}kobalt(II) Sentezi CoPz (P7)**

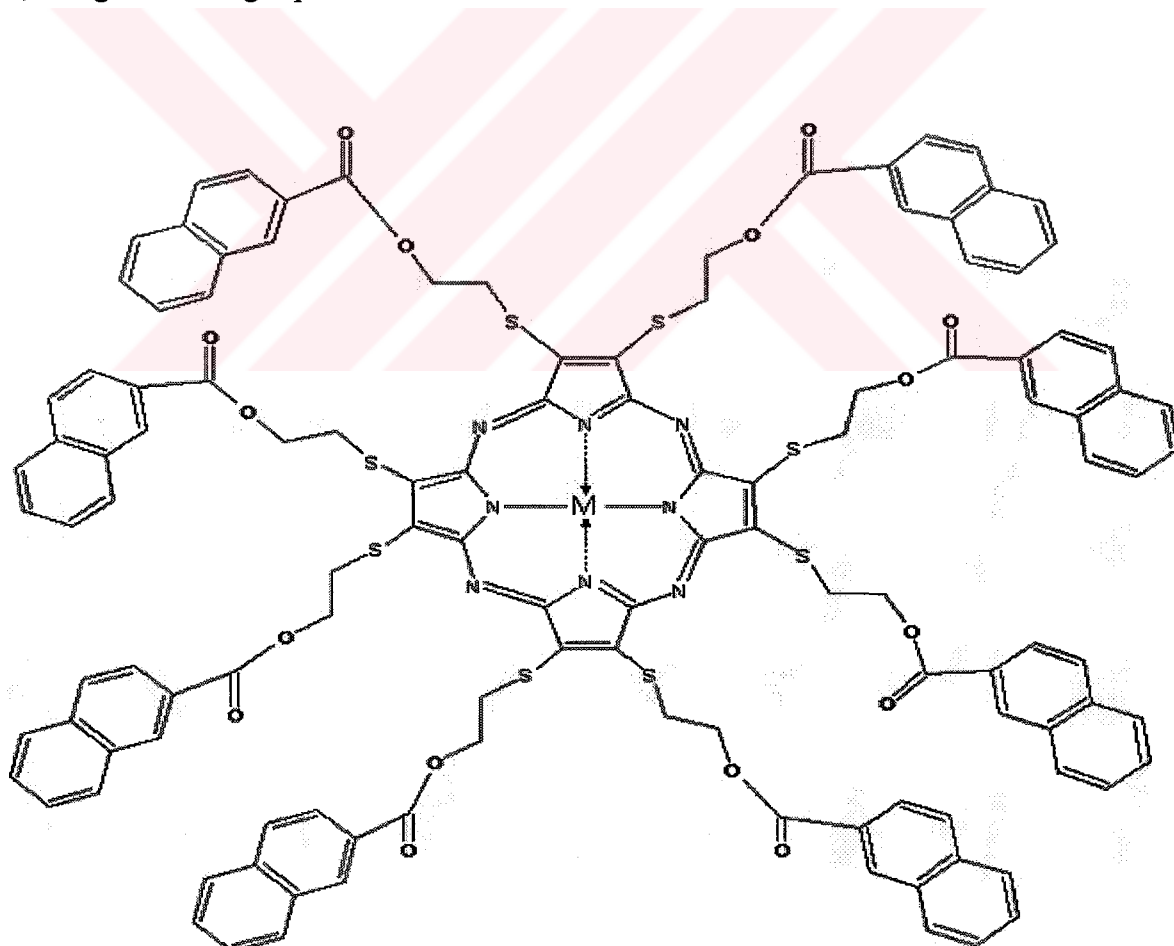
0,1 g (0,046 mmol) metalsiz porfirazin (P6) nin 10 ml kloroformdaki karışımıma 0,08 g (0,46 mmol) kuru Co(CH<sub>3</sub>COO)<sub>2</sub>.4H<sub>2</sub>O nin 10 ml etanoldeki çözeltisi argon gazı altında ilave edilir. 6 saat geri soğutucu altında, argon gazı varlığında kaynatılır. Oluşan ürün ve reaksiyona girmemiş Co(CH<sub>3</sub>COO)<sub>2</sub> tuzundan ibaret çökelti süzülür. Kloroform ile yılanarak porfirazin süzüntüye alınır. Birleştirilen süzüntüler evaporatörde tamamen uçurulur. Elde edilen kalıntı minumum miktarda kloroform ile çözülür ve hekzan üzerine damlatılarak çöktürülür. Sonuçta mavi-yeşil renkli ürün elde edilir (Şekil 3.7, M=Co). Ürün kloroform, diklorometan, piridin ve DMF de çözünmemektedir. Etanol, hekzan ve toluende çözünmemektedir. C<sub>120</sub>H<sub>88</sub>N<sub>8</sub>S<sub>8</sub>O<sub>16</sub>Co (M<sub>A</sub>:2213,5 g/mol), Verim 0,041 g (%40). Maddenin IR, UV-görünür bölge spektrumları ekte mevcuttur.

**3.4.8 {2, 3, 7, 8, 12, 13, 17, 18-oktakis [2<sup>1</sup>-(2-naftalenkarboksi)etiltiyo] porfirazinato N<sup>21</sup>N<sup>22</sup>N<sup>23</sup>N<sup>24</sup>}nikel (II) Sentezi NiPz (P8)**

0,1 g (0,046 mmol) metalsiz porfirazin (P6) nin 10 ml kloroformdaki karışımıma 0,08 g (0,46 mmol) kuru Ni(CH<sub>3</sub>COO)<sub>2</sub>.4H<sub>2</sub>O nin 10 ml etanoldeki çözeltisi argon gazı altında ilave edilir. 6 saat geri soğutucu altında, argon gazı varlığında kaynatılır. Oluşan ürün ve reaksiyona girmemiş Ni(CH<sub>3</sub>COO)<sub>2</sub> tuzundan ibaret çökelti süzülür. Kloroform ile yılanarak porfirazin süzüntüye alınır. Birleştirilen süzüntüler evaporatörde tamamen uçurulur. Elde edilen kalıntı minumum miktarda kloroform ile çözülür ve hekzan üzerine damlatılarak çöktürülür. Sonuçta mavi-yeşil renkli ürün elde edilir (Şekil 3.7, M=Ni). Ürün kloroform, diklorometan, piridin ve DMF de çözünmemektedir. Etanol, hekzan ve toluende çözünmemektedir. C<sub>120</sub>H<sub>88</sub>N<sub>8</sub>S<sub>8</sub>O<sub>16</sub>Ni (M<sub>A</sub>:2213,3 g/mol), Verim 0,032 g (%33). Maddenin IR, UV-görünür bölge spektrumları ekte mevcuttur.

**3.4.9 {2, 3, 7, 8, 12, 13, 17, 18-oktakis [2<sup>1</sup>-(2-naftalenkarboksi)etiltiyo] porfirazinato N<sup>21</sup>N<sup>22</sup>N<sup>23</sup>N<sup>24</sup>}çinko (II) Sentezi ZnPz (P9)**

0,1 g (0,046 mmol) metalsiz porfirazin (P6) nin 10 ml kloroformdaki karışımına 0,084 g (0,46 mmol) kuru Zn(CH<sub>3</sub>COO)<sub>2</sub>.4H<sub>2</sub>O nin 10 ml etanoldeki çözeltisi argon gazı altında ilave edilir. 6 saat geri soğutucu altında, argon gazı varlığında kaynatılır. Oluşan ürün ve reaksiyona girmemiş Zn(CH<sub>3</sub>COO)<sub>2</sub> tuzundan ibaret çökelti süzülür. Kloroform ile yıkınarak porfirazin süzüntüye alınır. Birleştirilen süzüntüler evaporatörde tamamen uçurulur. Elde edilen kalıntı minimum miktarda kloroform ile çözülür ve hekzan üzerine damlatılarak çöktürülür. Sonuçta mavi-yeşil renkli ürün elde edilir (Şekil 3.7, M=Zn). Ürün kloroform, diklorometan, piridin ve DMF de çözünmemektedir. Etanol, hekzan ve toluende çözünmemektedir. C<sub>120</sub>H<sub>88</sub>N<sub>8</sub>S<sub>8</sub>O<sub>16</sub>Zn (M<sub>A</sub>:2219,6 g/mol), Verim 0,086 g (%85). Maddenin IR, UV-görünür bölge spektrumları ekte mevcuttur.



**M = Co, Ni, Zn**

Şekil 3.7 Metal porfirazin türevleri (P7), (P8) ve (P9)

#### 4. SONUÇLAR ve TARTIŞMA

Sübstitüe porfirazin türevlerinin sentezinde genel olarak uygulanan yöntem, dinitril bileşiklerine sübstıuentlerin eklenmesi ve bunu takiben siklotetramerizasyonun gerçekleşirilmesidir (Morelli vd., 1991; Ricciardi vd., 1998; Wolf vd., 1960; Riccardi vd., 1996).

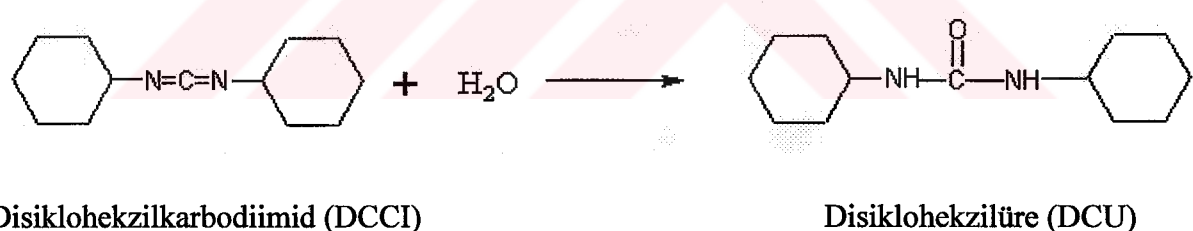
Bu çalışmada porfirazin sentezi için başlangıç maddesi ditiyomaleonitril disodyum tuzudur (Leznoff ve Lever, 1989). Ditiyomaleonitril disodyum tuzu kuru NaCN'ün karbondisülfürle DMF içerisindeki reaksiyonundan elde edilmiştir. Molekülün periferal konumlarında elektron verici hacimli S-donör gruplarının yer olması, molekülün değişik fiziksel ve kimyasal özellikler göstermesini sağlar. Ayrıca tiyolat üzerine farklı gruplar bağlanarak sübstitüe porfirazinler elde edilebilir.

Porfirazin halkasının sentezi için gerekli olan madde 1,2-bis(hidroksietiltiyo)maleonitril (P3) bileşigidir. 1,2-bis(hidroksietiltiyo)maleonitril bileşiği, disodyum tuzu halindeki maddenin 2-bromoetanol ile mutlak alkol etanol içerisinde oda sıcaklığında 3 gün süren reaksiyonu sonucunda sentezlenmiştir. Sentezlenen ürün spektral yöntemlerle karakterize edilmiştir. (P3) bileşiğinin FT-IR spektrumunu incelediğimizde,  $3326\text{ cm}^{-1}$  civarında O-H gerilme titreşimi,  $2930\text{ cm}^{-1}$  ve  $2878\text{ cm}^{-1}$  de alifatik gerilme titreşimleri,  $2209\text{ cm}^{-1}$  de keskin C≡N piki,  $1643\text{ cm}^{-1}$  de C=C bağ oluşumu görülmüştür. Ligandın (P3)  $^1\text{H}$  NMR spektrumunu incelediğimizde, S-CH<sub>2</sub> ve O-CH<sub>2</sub> protonlarına ait kimyasal kayma değerleri sırasıyla 3.05 ve 3.9 ppm de triplet olarak, O-H gruplarına ait kimyasal kayma değeri 2.2 ppm de geniş pik olarak tespit edilmiştir.

Sentezlenen ligand (P3) literatürde (Akkuş, 2001; Sağlam, 2001) belirtildiği gibi magnezyum propanolat içerisinde 24 saat geri soğutucu altında reaksiyona sokulmuştur ve koyu mavi renkli oktakis(2-hidroksietiltiyo)porfirazinato magnezyum (P4) bileşiği elde edilmiştir. Bu aşama butanol ile gerçeklestirememiştir. Elde edilen ürünün metanol içerisindeki UV-görünür bölge spektrumunda, porfirazinin merkez halkasındaki  $\pi-\pi^*$  geçişlerine ( $a_{2u}\rightarrow e_g$ ) ait 374 B-bandı ve yine  $\pi-\pi^*$  geçişlerine ( $a_{1u}\rightarrow e_g$ ) ait 668 nm'deki Q-band pikleri görülmüştür. FT-IR spektrumundaki  $2930$  ve  $2878\text{ cm}^{-1}$  deki alifatik C-H gerilim titreşim piki,  $1060\text{ cm}^{-1}$  de C-O piki ve  $3401\text{ cm}^{-1}$  deki H<sub>2</sub>O pikiyle birlikte  $3296\text{ cm}^{-1}$  de OH gerilme titreşim piki omuz verecek şekilde ortaya çıkmıştır.

Yapılan çalışmada periferal posizyonlarda naftalen grupları içeren porfirazinler sentezlenmiştir. Bu yapıyı sentezlemek için porfirazin çekirdeğinin periferal konumlarında

bulunan 2-hidroksietiltiyo gruplarının 2-naftoik asit ile esterleşme reaksiyonu gerçekleştirilmiştir. Porfirazin üzerindeki sekiz adet hidroksil gruplarının tamamen esterleştirilebilmesi için, su çekici bir bileşik olan disiklohezkizilkarbodiimid (DCCI) kullanılmıştır (Eichhorn, 1996). Aksi taktirde esterleşme reaksiyonu hidroksil gruplarının tamamında gerçekleşmez ve istenilen ürün elde edilmemiş olur. Bu esterleşme reaksiyonu kuru piridin içerisinde oktakis(2-hidroksietiltiyo)porfirazinato magnezyum (P4) ve 2-naftoik asit arasında, argon gazı altında disiklohezkizilkarbodiimid (DCCI) ve paratoluensülfonik asit katalizörlüğünde oda sıcaklığında 10 gün süren reaksiyon sonucunda gerçekleştirilmiştir. DCCI, ortamdan su çekmek suretiyle esterleşmeyi hızlandırdığı bilinmektedir (Eichhorn, 1996). Disiklohezkizilkarbodiimid (DCCI)'nın ortamdan su çekerek disiklohezkizilüre (DCU)'ye dönüşmesiyle oluşan safsızlıktan kurtulmak için elde edilen ürün etanol ile birkaç kez yıkanır ve celite'den süzülür. Sonuçta mavi-yeşil renkli ürün elde edilmiştir. Ürünün saflaştırılması için kolon kromatografik yöntemden yararlanılmıştır. Ürünün saf olup olmadığı TLC ile kontrol edilmiştir.



Disiklohezkizilkarbodiimid (DCCI)

Disiklohezkizilüre (DCU)

Esterleşme reaksiyonu sonucu elde edilen oktakis(2-naftalenetiltiyo)porfirazinato magnezyum (P5) bileşığının FT-IR spektrumunda  $3054\text{ cm}^{-1}$  aromatik (C-H) gerilme titreşimleri,  $2926\text{ cm}^{-1}$  ve  $2878\text{ cm}^{-1}$ de alifatik CH gerilme titreşimleri,  $1713\text{ cm}^{-1}$  ve  $1279\text{ cm}^{-1}$  deki –COO ester pikleri ve elde edilen ürünün kloroformda ve diklormetanda çözünüyor olması esterleşmenin gerçekleştiginin göstergesidir. Ayrıca karakteristik sübstítüe naftalen piki  $777\text{ cm}^{-1}$  de gözlenmiştir. (P5) bileşığının kloroform içerisindeki UV-görünür bölge spektrumunda B-bandı ve Q-bandı sırasıyla  $379\text{ nm}$  ve  $673\text{ nm}$  de tespit edilmiştir. Ayrıca B bandında, naftalen  $\pi \rightarrow \pi^*$  geçişlerine ait  $340\text{ nm}$  civarında bir absorbsiyon piki gözlenmiştir.

(P5) bileşığının  $^1\text{H}$  NMR spektrumunda, naftalen gruplarına ait kimyasal kayma değerleri 7.2-8.1 ppm civarında pikler elde edilmiştir.  $\text{SCH}_2$  ve  $\text{OCH}_2$  gruplarına ait 4.9 ve 4.5 ppm de iki tane triplet pik tespit edilmiştir.

Oktakis(2-naftalenetiltiyo)porfirazinato magnezyum (P5) bileşığının metalsiz türevlere dönüştürülmesi genellikle kuvvetli asitlerle gerçekleştirilmektedir. Bu kuvvetli asit  $\text{H}_2\text{SO}_4$ ,  $\text{HCl}$  olabildiği gibi trifloroasetikasit gibi kuvvetli bir organik asit de olabilmektedir. (P5) bileşığının trifloroasetik asit içerisinde 0 °C sıcaklığında çözünmesiyle mor renkli metalsiz porfirazin (P6) elde edilmiştir. Deesterifikasyonu engellemek için bu reaksiyon düşük sıcaklıkta yapılmıştır. Ortamın pH'ının nötralleştirilmesi için üzerine % 25 lik  $\text{NH}_3$  çözeltisi ilave edilmiştir ve ürün katı olarak elde edilmiştir. Bu maddelerin saflaştırılması için kolon kromatografisi kullanılmıştır. Bunun için silikajel 60 (0.04-0.063) ve  $\text{CH}_2\text{Cl}_2$  karışımı ile kolon hazırlanmış ve yürütücü solvent olarak başlangıçta  $\text{CH}_2\text{Cl}_2$  kullanılmış ve adım adım  $\text{MeOH}$  ile polarite artırılarak maddeler kolondan alınmıştır.

Metalsiz porfirazine ait FT-IR spektrumunda merkezdeki  $\text{N}-\text{H}^\circ$  a ait gerilme titreşimleri  $3284 \text{ cm}^{-1}$  civarında gözlenmiştir.  $3054 \text{ cm}^{-1}$ ’de aromatik (C-H) gerilme titreşimleri,  $2930 \text{ cm}^{-1}$  ve  $2868 \text{ cm}^{-1}$ ’de alifatik CH gerilme titreşimleri,  $1712 \text{ cm}^{-1}$  ve  $1277 \text{ cm}^{-1}$  deki  $-\text{COO}$  ester pikleri elde edilmiştir.  $^1\text{H}$  NMR spektrumunda ise porfirazin halkası içerisinde  $18-\pi$  elektron sistemi tarafından çok kuvvetli bir şekilde perdelenen  $\text{N}-\text{H}$  protonları, TMS’den daha kuvvetli alanda -2.45 ppm de multiplet olarak elde edilmiştir. (P6) bileşığının  $^1\text{H}$  NMR spektrumunda, naftalen guruplarına ait kimyasal kayma değerleri 7.0-8.0 ppm civarında pikler elde edilmiştir.  $\text{SCH}_2$  ve  $\text{OCH}_2$  gruplarına ait 5.0 , 4.5 , 4.18 ve 4.0 ppm de pik tespit edilmiştir.  $\text{NH}'$ li pirol ile  $\text{N}'$ li pirole bağlı  $\text{SCH}_2$  ve  $\text{OCH}_2$  farklı olmalıdır.  $^{13}\text{C}$  NMR piklerinde 206, 166, 154, 134, 131, 130, 128, 127.4, 127.2, 127.0, 126.2 126, 124.4, 65, 60.5, 34, 31, 21.4 ppm gözlenmiştir.

Metalsiz porfirazine ait karakteristik B bandı 367 nm de görülmüştür. İki değerlikli metallo-porfirazinlerde  $D_{4h}$  simetrisindeki çekirdek  $\pi-\pi^*$  geçişlerine tekabül eden tek bir Q bandı ile karakterize edilirken, metalsiz porfirazinler de bu geçiş  $D_{2h}$  simetrisinden dolayı yarılmakta ve daha düşük şiddette biri daha uzun dalga boyunda diğerı daha kısa dalga boyunda iki pike yarılmaktadır. Bu çalışmada metalsiz porfirazinin (P6) kloroform içerisinde alınan UV-görünür bölge spektrumunda karakteristik Q bandı 640 ve 708 nm de tespit edilmiştir. Periferal konumlarda bulunan heteroatom sülfürdeki bağ oluşumuna katılmayan elektronların  $n\rightarrow\pi^*$  geçişine karşılık gelen 490 nm'de bir absorpsiyon söz konusudur.

Metalsız porfirazin (P6) bileşığının  $\text{Co}(\text{CH}_3\text{COO})_2$ ,  $\text{Ni}(\text{CH}_3\text{COO})_2$  ve  $\text{Zn}(\text{CH}_3\text{COO})_2$  tuzlarının kloroform ve etanol çözücü karışımı içersinde argon gazı altında geri soğutucu altında 50-60 °C'de 6 saat ısıtılarak metalli porfirazin türevleri elde edilmiştir.

CoPz (P7) bileşigine ait FT-IR spektrumunda,  $3054 \text{ cm}^{-1}$ de aromatik (C-H) gerilme titreşimleri,  $2927\text{cm}^{-1}$  ve  $2878 \text{ cm}^{-1}$ de alifatik CH gerilme titreşimleri,  $1714 \text{ cm}^{-1}$  ve  $1280 \text{ cm}^{-1}$  deki –COO ester pikleri elde edilmiştir. (P7) bileşığının kloroform içersindeki UV-görünür bölge spektrumunda B-bandı ve Q-bandı sırasıyla 340 nm, 673 nm de tespit edilmiştir. Molar absorptivite katsayılarının logaritması, 340 ve 673 nm'de sırasıyla  $4,44$  ve  $4,5 \text{ dm}^3/\text{mol}^{-1}\text{cm}^{-1}$  olarak bulunmuştur.

NiPz (P8) bileşigine ait FT-IR spektrumunda,  $3054 \text{ cm}^{-1}$ de aromatik (C-H) gerilme titreşimleri,  $2924\text{cm}^{-1}$  ve  $2880\text{cm}^{-1}$ de alifatik (CH) gerilme titreşimleri,  $1712 \text{ cm}^{-1}$  ve  $1278 \text{ cm}^{-1}$  deki –COO ester pikleri gözlenmiştir. (P8) bileşığının kloroform içersindeki UV-görünür bölge spektrumunda B-bandı ve Q-bandı sırasıyla 355 nm ve 673 nm'de tespit edilmiştir. Molar absorptivite katsayılarının logaritması, 355 ve 673 nm'de sırasıyla  $4,20$  ve  $4,33 \text{ dm}^3/\text{mol}^{-1}\text{cm}^{-1}$  olarak bulunmuştur.

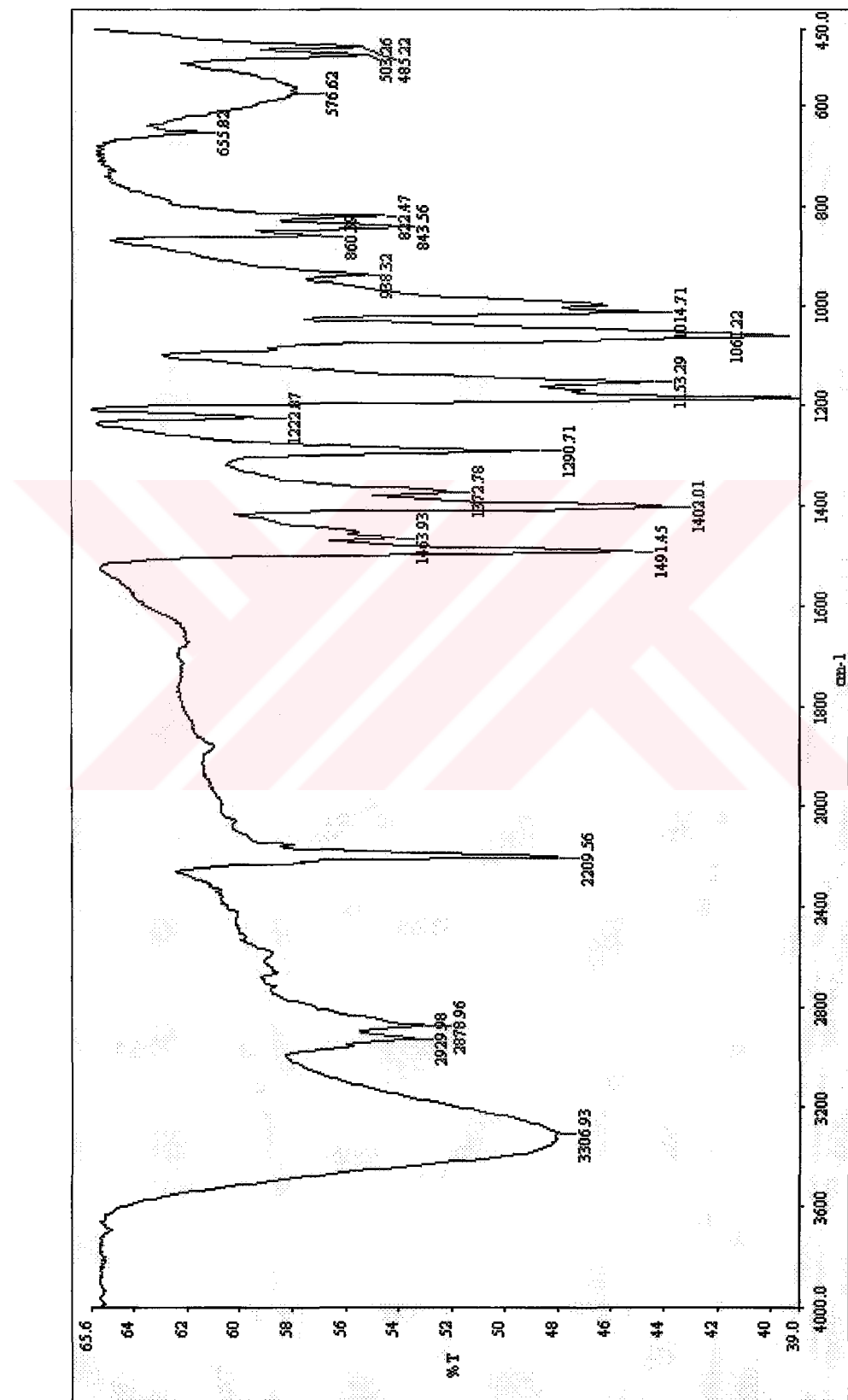
ZnPz (P9) bileşigine ait FT-IR spektrumunda,  $3054 \text{ cm}^{-1}$ de aromatik (C-H) gerilme titreşimleri,  $2925\text{cm}^{-1}$  ve  $2846 \text{ cm}^{-1}$ de alifatik CH gerilme titreşimleri,  $1712 \text{ cm}^{-1}$  ve  $1278 \text{ cm}^{-1}$  deki –COO ester pikleri gözlenmiştir. (P9) bileşığının kloroform içersindeki UV-görünür bölge spektrumunda B-bandı ve Q-bandı sırasıyla 380 nm, 675 nm de tespit edilmiştir. Molar absorptivite katsayılarının logaritması ( $\log\epsilon_{\max.}$ ), 380 ve 675 nm'de sırasıyla  $4.50$  ve  $4,62 \text{ dm}^3/\text{mol}^{-1}\text{cm}^{-1}$  olarak bulunmuştur.

CoPz (P7) , NiPz (P8) ve ZnPz (P9) bileşiklerinin kloroform içersinde alınan UV-görünür bölge spektrumları incelendiğinde Q absorbsiyon bandları 673, 673 ve 675 nm de gözlemlenir. Metalsız porfirazinlerin UV-görünür bölge spektrumlarında,  $D_{2h}$  simetrisinden dolayı Q bandında gözlenen ikiye yarılmış, yeniden metalli porfirazin türevlerine geçildiğinde simetrinin  $D_{2h}$ 'dan  $D_{4h}$ 'a değişiminden dolayı Q bandı tekrar tek pik haline geçmiştir

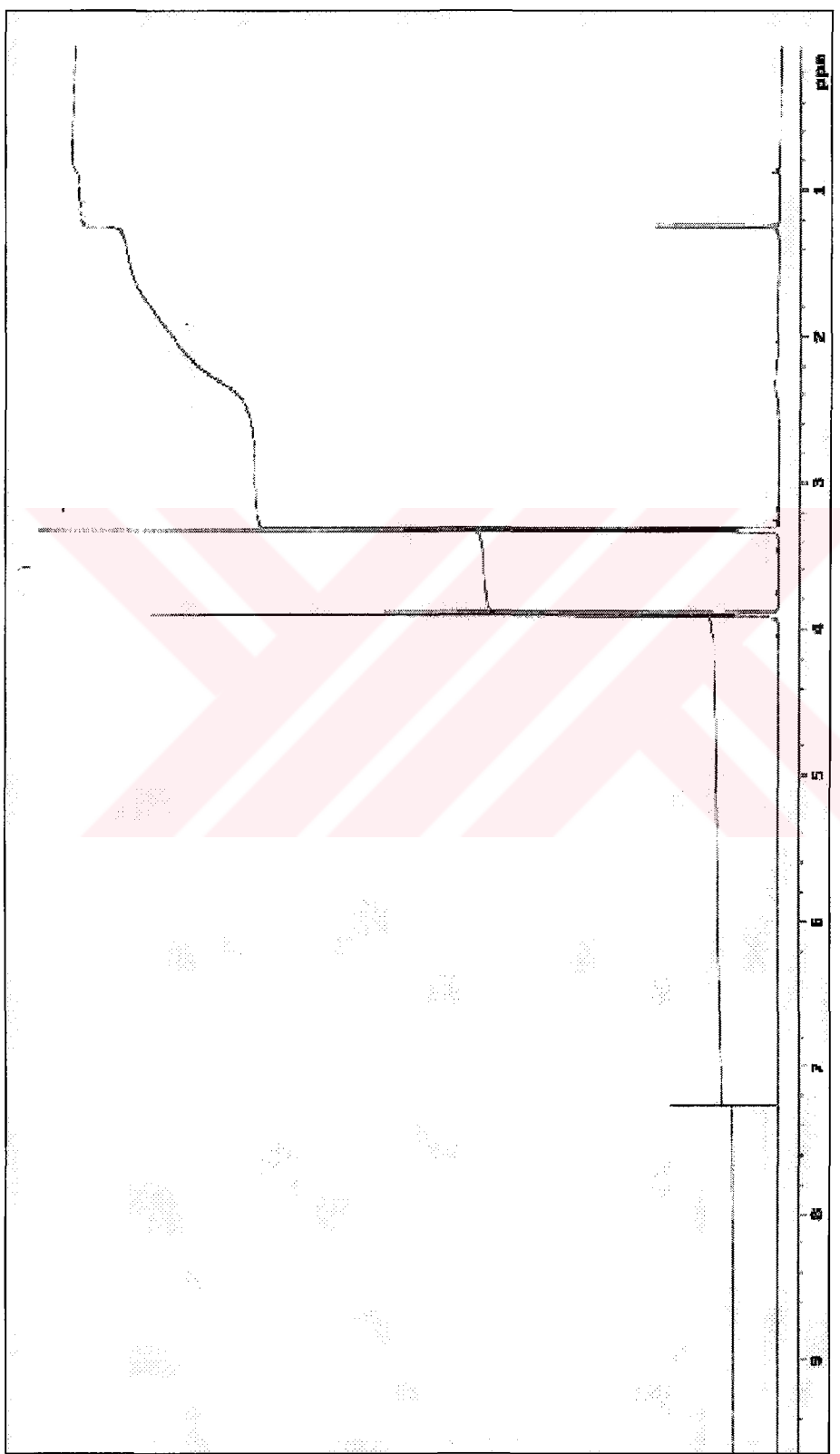
Sonuç olarak, bu tez kapsamında periferal konumlarına naftalenkarboksi ester grupları içeren porfirazinler sentezlenmiştir.

Sentezlenen ZnPz (P9) bileşığının steady-state emisyon spektrumları ölçülmüştür. 280 nm'de uyarma yapılarak bileşigin 364nm ve 407 nm'de maksimum emisyon verdiği gözlandı.

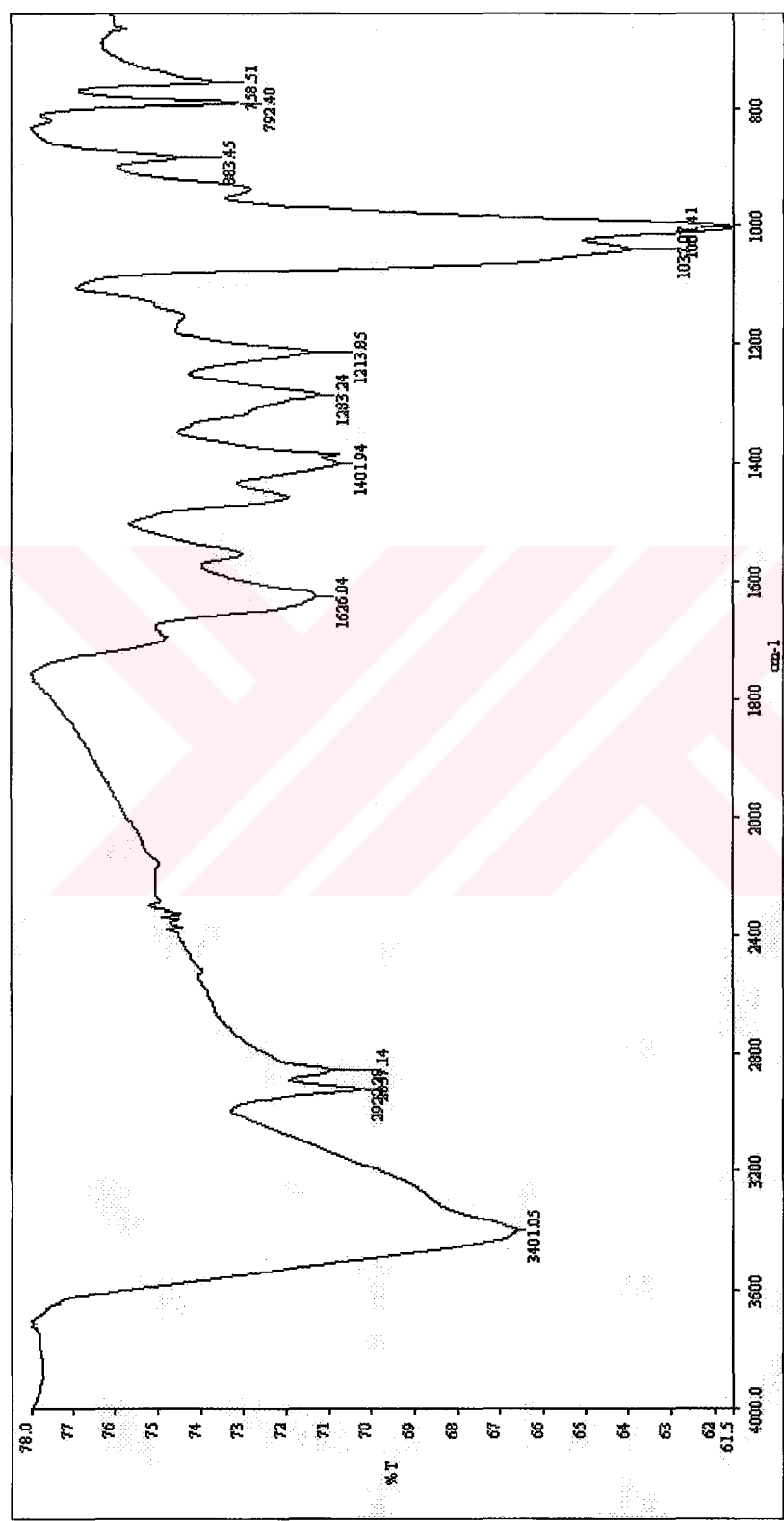
Porfirazinlerin Q ve B bandlarından dolayı  $S_1$  ve  $S_2$  olmak üzere iki emisyonu gözlenmelidir. Ancak 364 nm'deki emisyonun çözücü içindeki kininden ileri geldiği 407 nm'deki ( $S_2$ ) emisyonun ise P9 bileşigiden kaynaklandığı gözlenmiştir. Heteroatom olarak sülfür içeren bileşiklerde  $S_1$  emisyonunun  $n \rightarrow \pi^*$  geçisi için absorplandığı ve bu nedenle sönüme uğradığı düşünülmektedir. P(9) bileşığının artan konsantrasyonuyla emisyon spektrumlarının azaldığı görülmektedir.



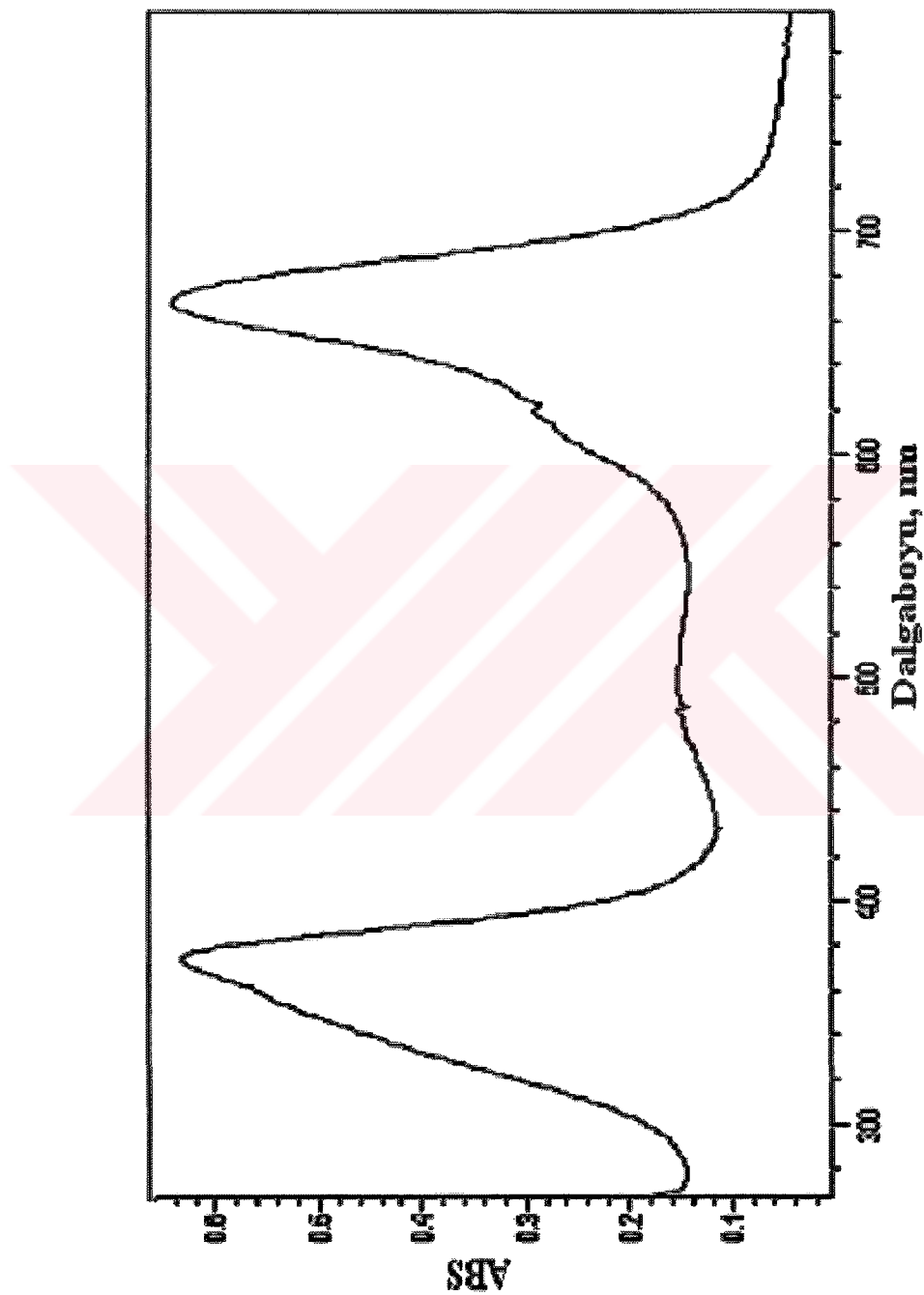
Sekil 4.1 1,2-bis(2-hidroksietiliyo)maleonitrilin (P3) IR spektrumu (KBr tablet 4000-450 cm<sup>-1</sup>)



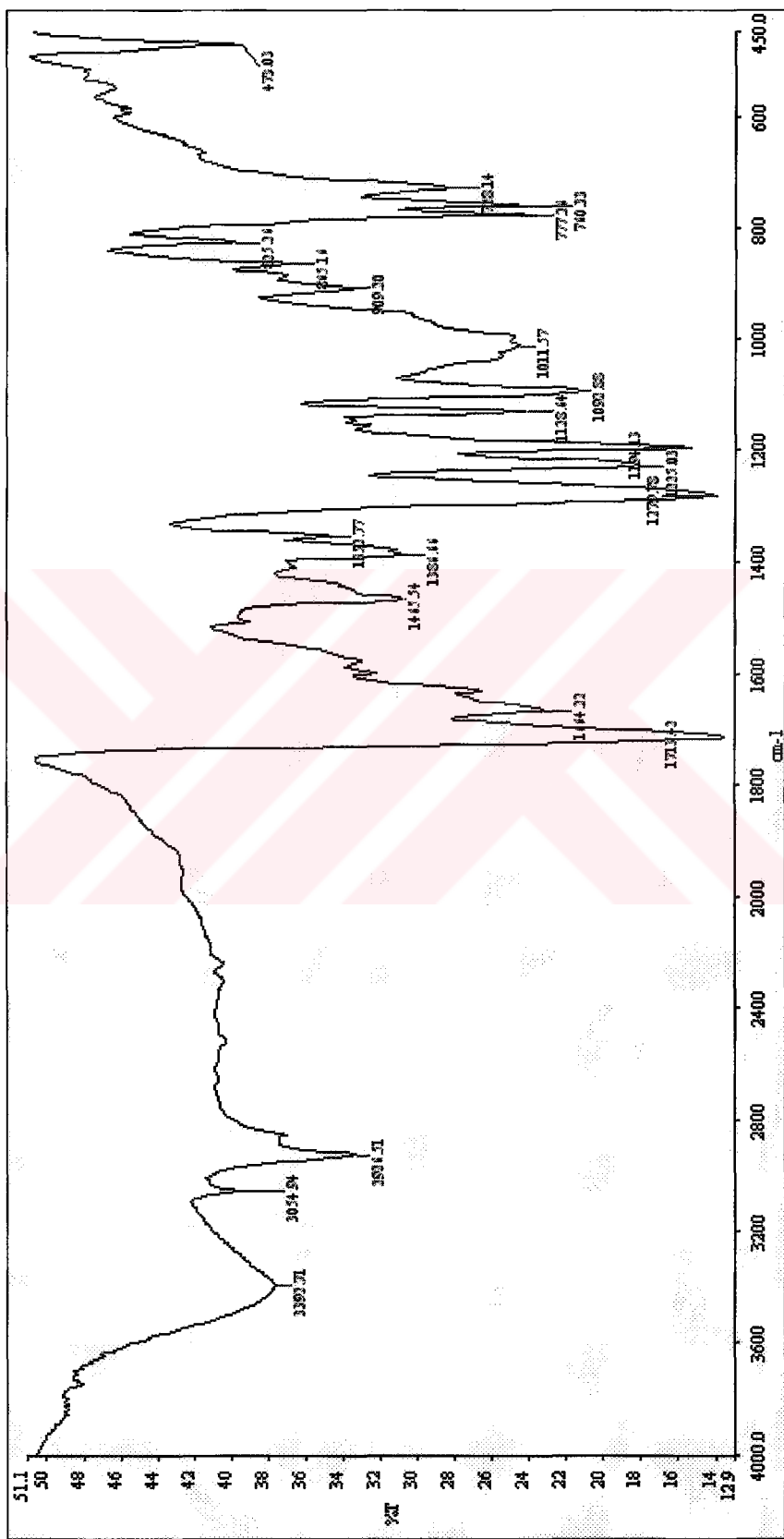
Şekil 4.2 1,2-bis(2-hidroksietiltiyo)maleonitriliin (P3)  $^1\text{H}$  NMR spektrumu ( $\text{CDCl}_3$  içinde)



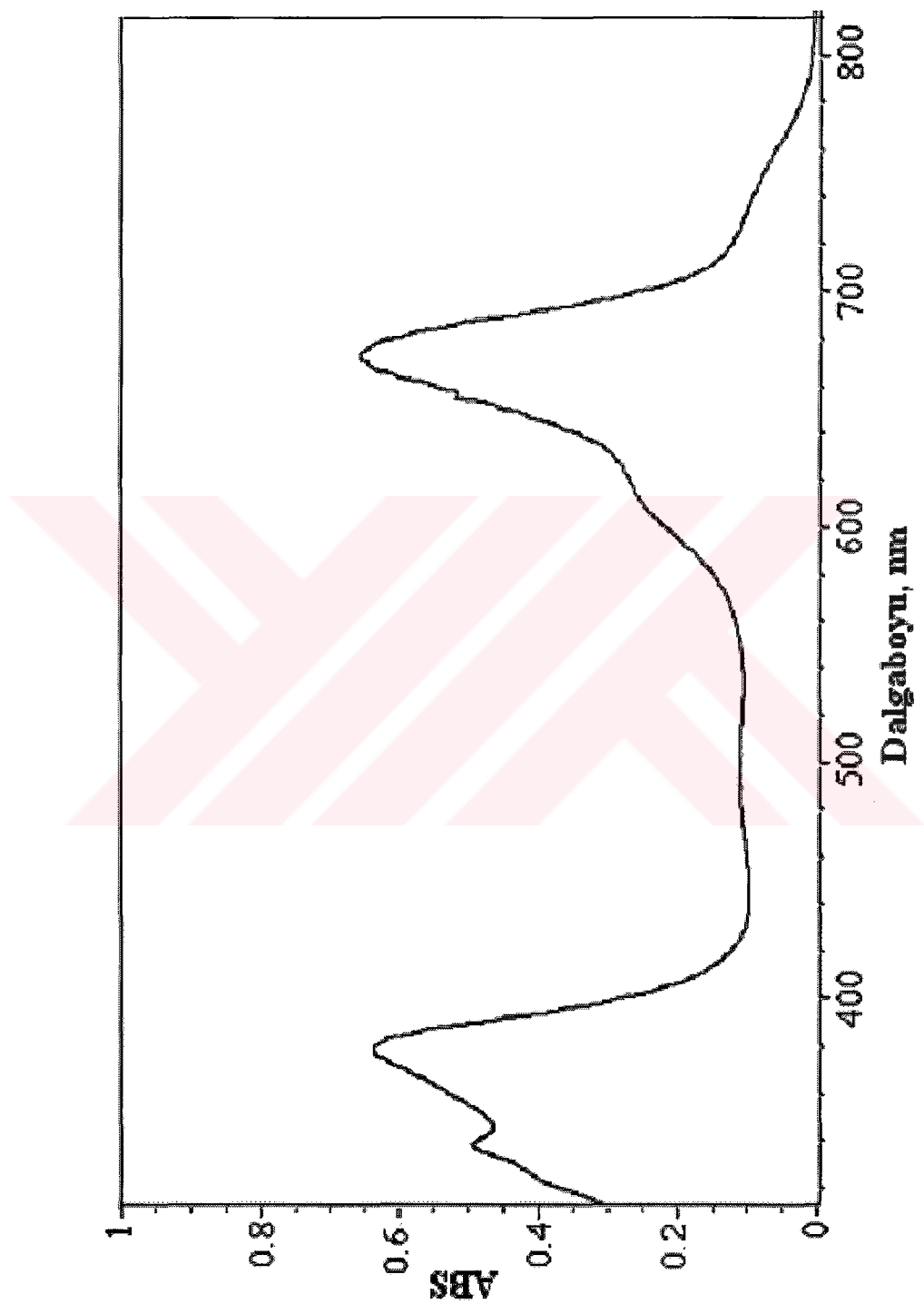
Sekil 4.3 [2,3,7,8,12,13,17,18]-oktakis(2-hidroksietiliyo)-porfirazinato N<sup>21</sup>N<sup>22</sup>N<sup>23</sup>N<sup>24</sup>] magnezyum'un (P4) IR spektrumu (KBr tablet 4000-450 cm<sup>-1</sup>)



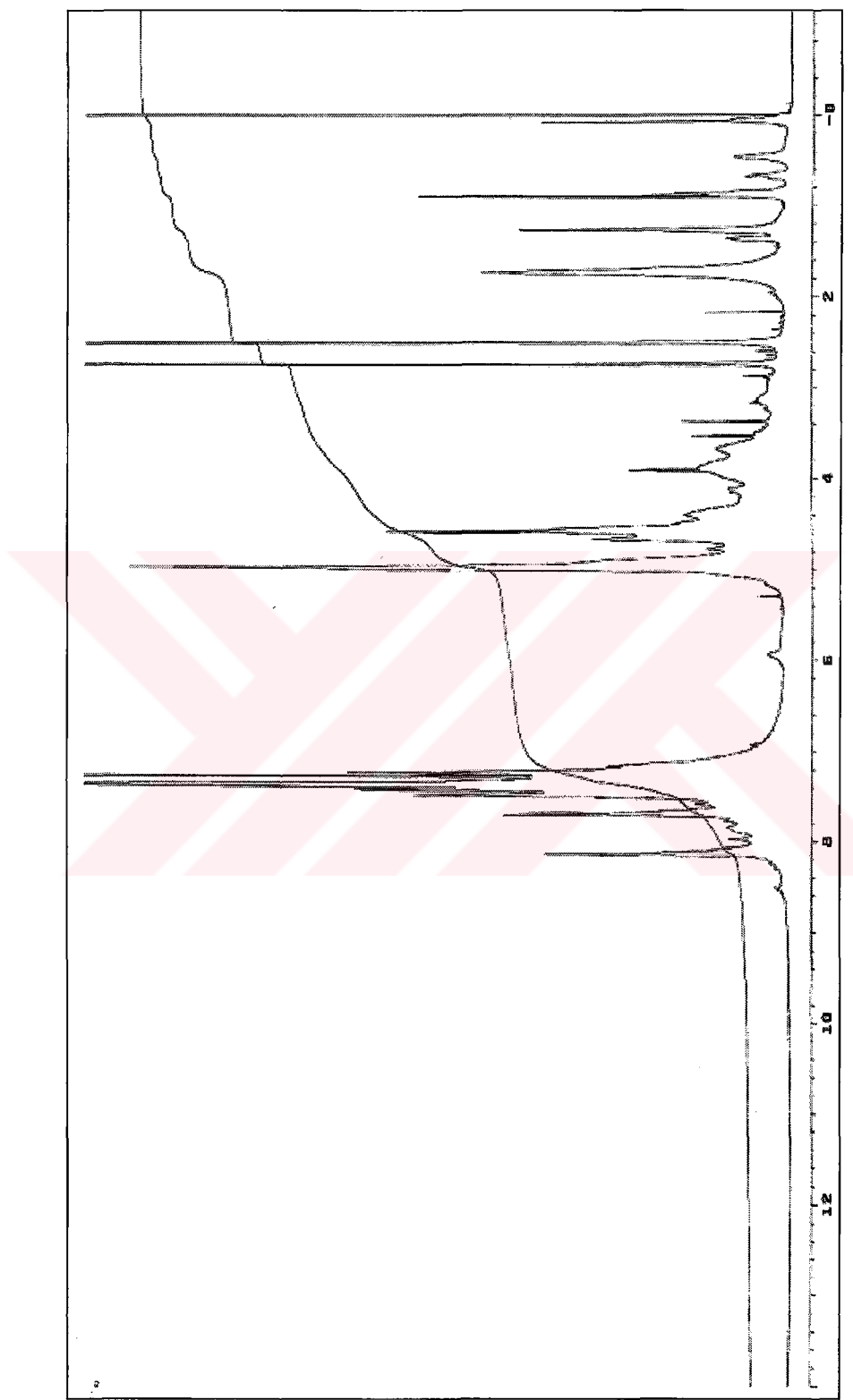
Sekil 4.4 [2, 3, 7, 8, 12, 13, 17, 18-oktakis(2-hidroksietiliyo)-porfirazinato  $N^{21}N^{22}N^{23}N^{24}$ ]magnezyum'un (P4), metanol'de alınan UV-görünür bölge spektrumu



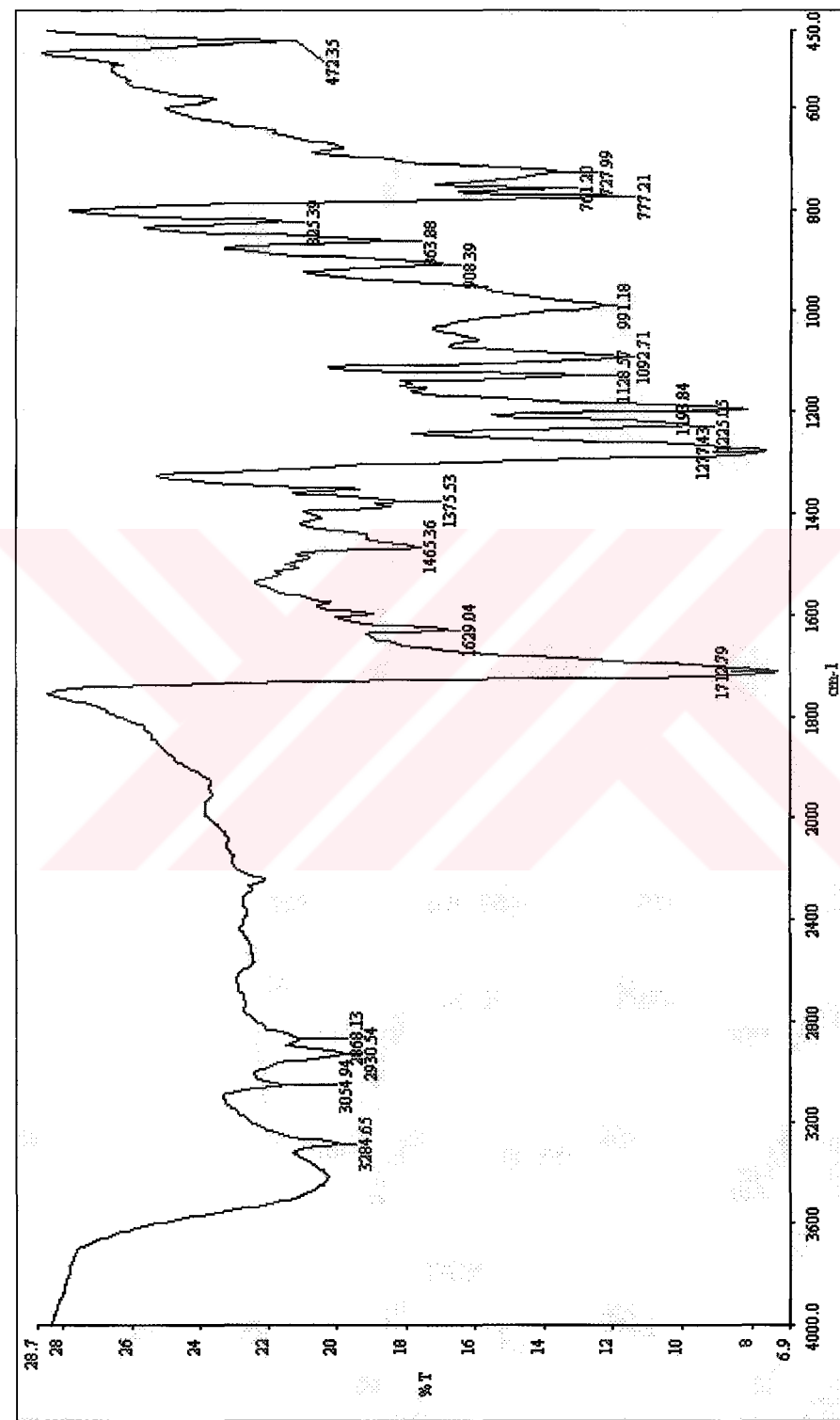
Sekil 4.5 {2, 3, 7, 8, 12, 13, 17, 18-oktakis [2-(2-naftalenkarboksi)etiltilyo]porfirazinato-N<sup>21</sup>N<sup>22</sup>N<sup>33</sup>N<sup>44</sup>}magnezyum (P5) IR spektrumu (KBr tablet 4000-450  $\text{cm}^{-1}$ )



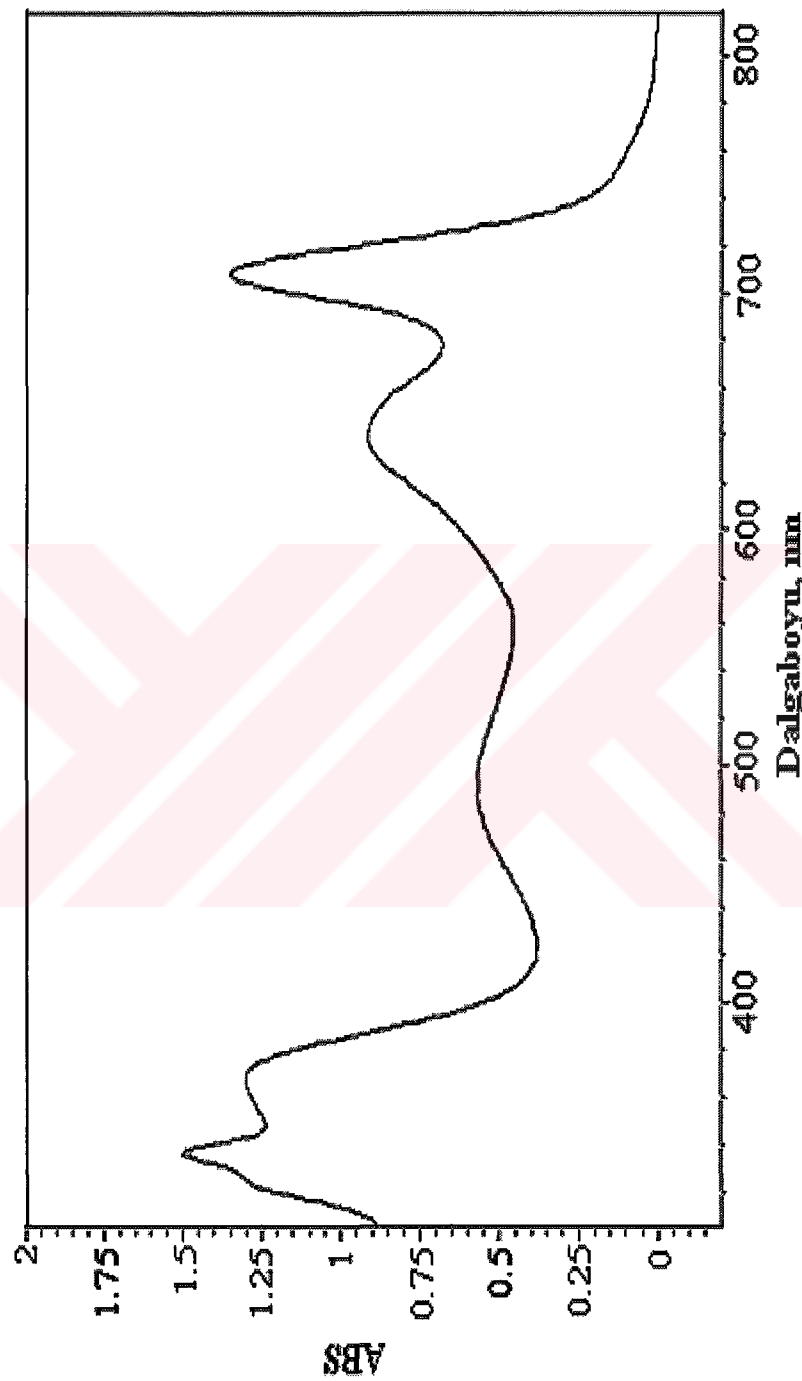
Sekil 4.6 {2, 3, 7, 8, 12, 13, 17, 18-oktakis [2-(2-naftalenkarboks)etiltiyo] porfirazinato  $N^{21}N^{22}N^{23}N^{24}$ } magnezyumun (P5), kloroform`da UV-Görünür Bölge spektrumu



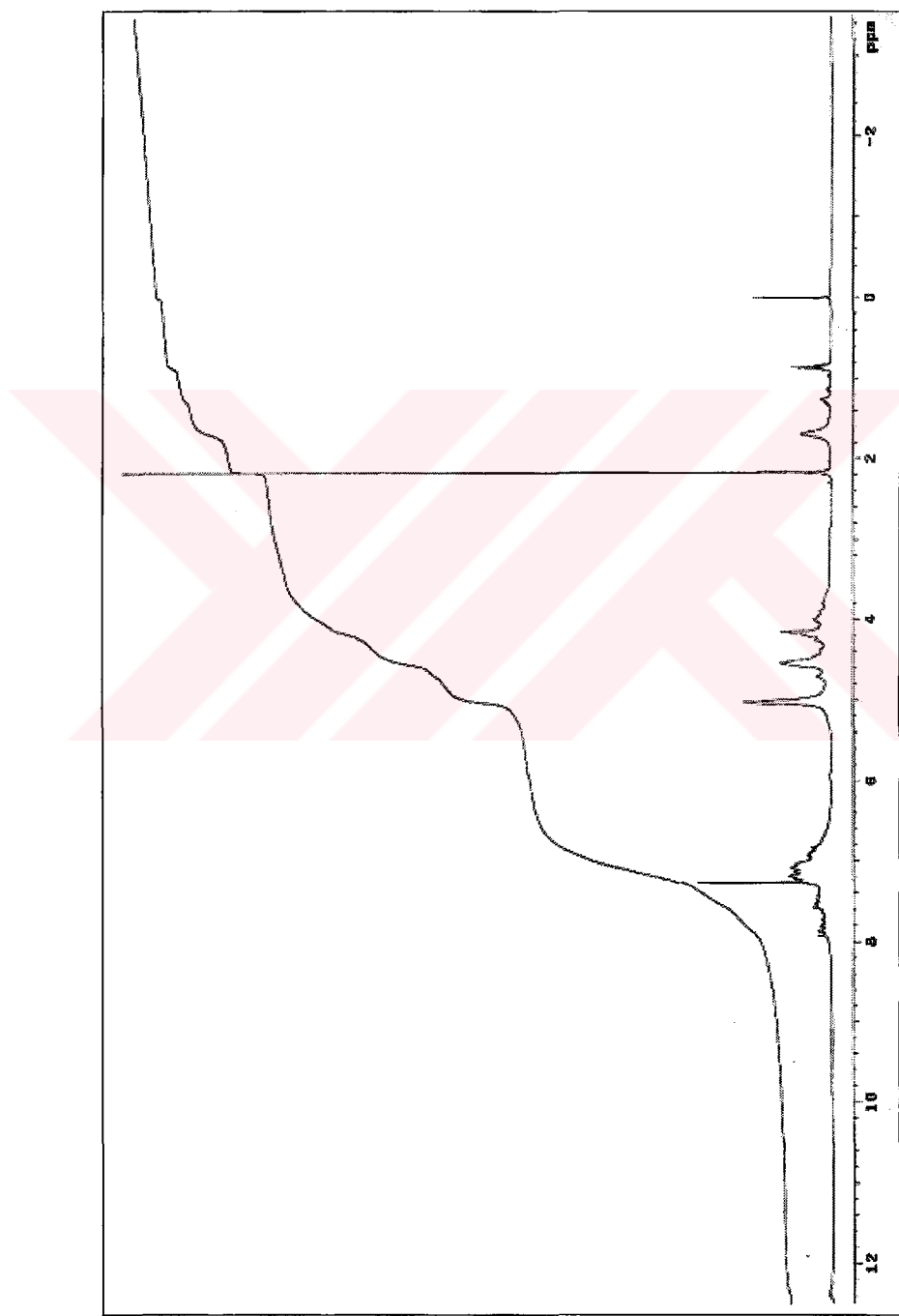
Sekil 4.7  $\{2, 3, 7, 8, 12, 13, 17, 18\text{-oktakis}[2\text{-(2-naftalenkarboksjeftiliyo]}]\text{porfirazinatoN}^{21}\text{N}^{22}\text{N}^{23}\text{N}^{24}\}$  magnezyumun ( $\text{P}_5$ ),  $^1\text{H}$  NMR spektrumu ( $\text{CDCl}_3$  içinde)



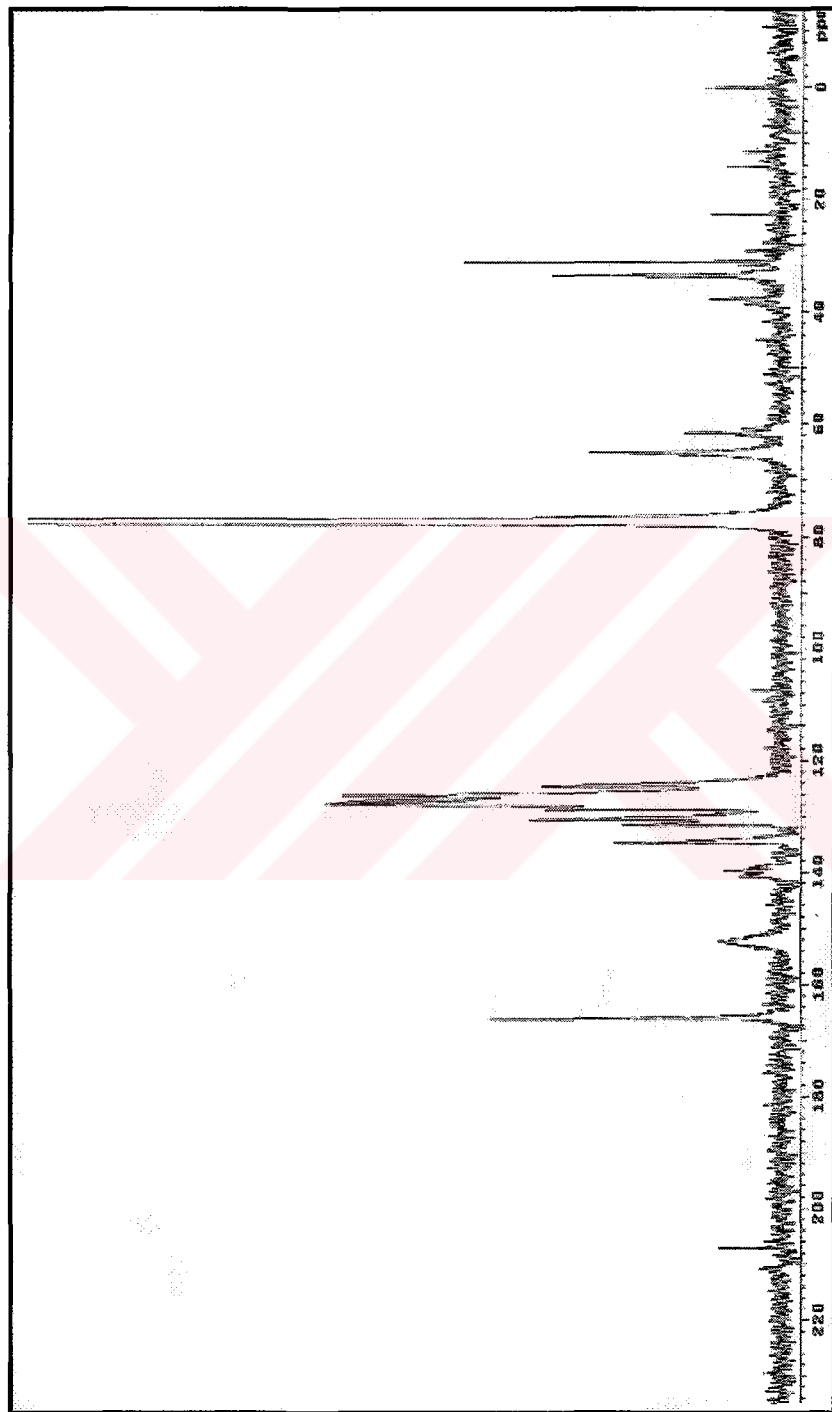
Sekil 4.8 {2, 3, 7, 8, 12, 13, 17, 18-oktakis [2-(2-naftalenkarboksietililyo)] H<sup>21</sup>N<sup>23</sup> porfirazin N<sup>21</sup>N<sup>22</sup>N<sup>23</sup>N<sup>24</sup>} (P6)<sup>min</sup>, IR spektrumu (KBr tablet 4000-450  $\text{cm}^{-1}$ )



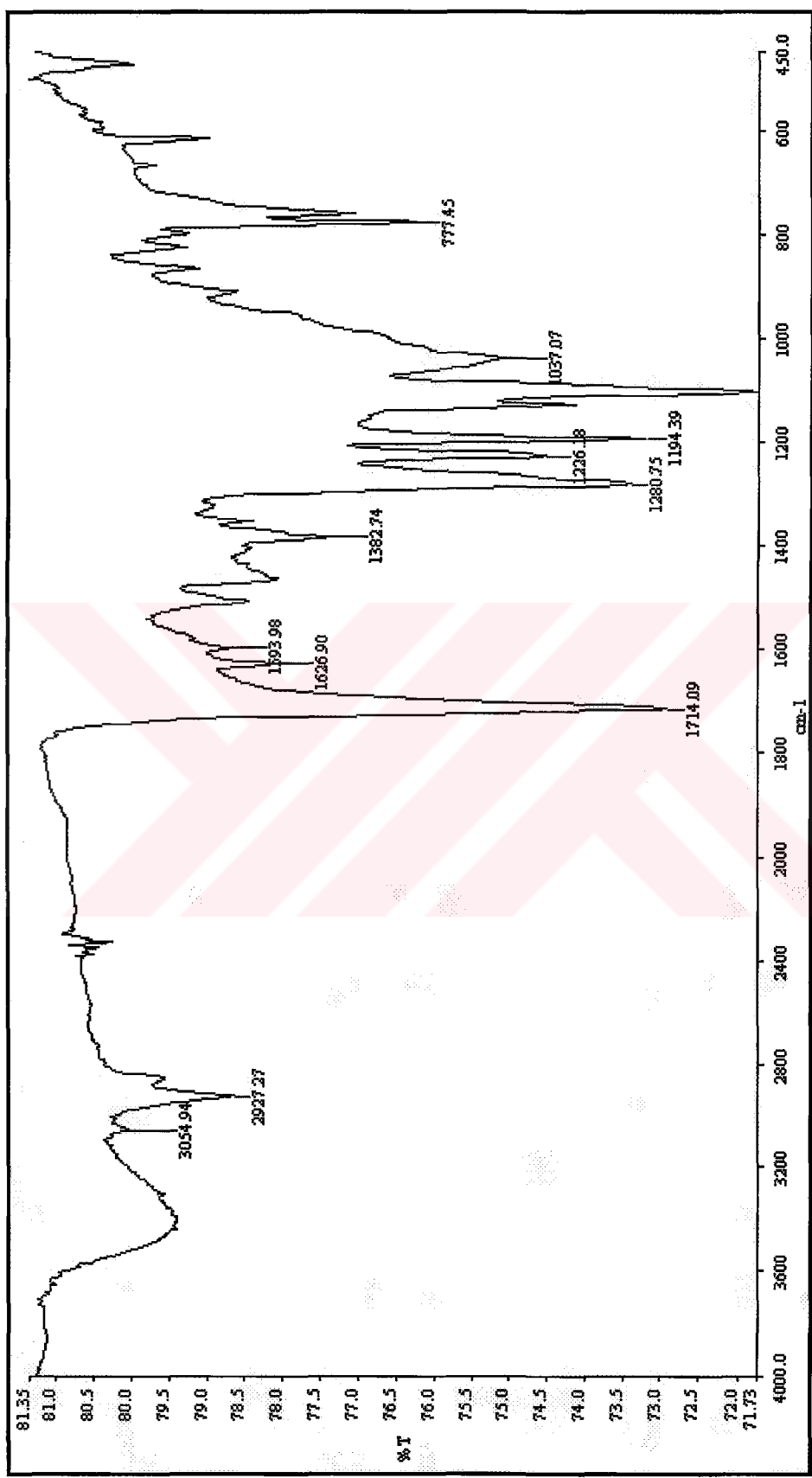
Sekil 4.9 {2, 3, 7, 8, 12, 13, 17, 18-oktakis [2-(2-naftalenkarboksü)etilimiyo] H<sup>21</sup>H<sup>23</sup> porfrazin N<sup>21</sup>N<sup>22</sup>N<sup>23</sup>N<sup>24</sup>} (P6)'nin kloroform'da UV-Görünür Bölge spektrumu



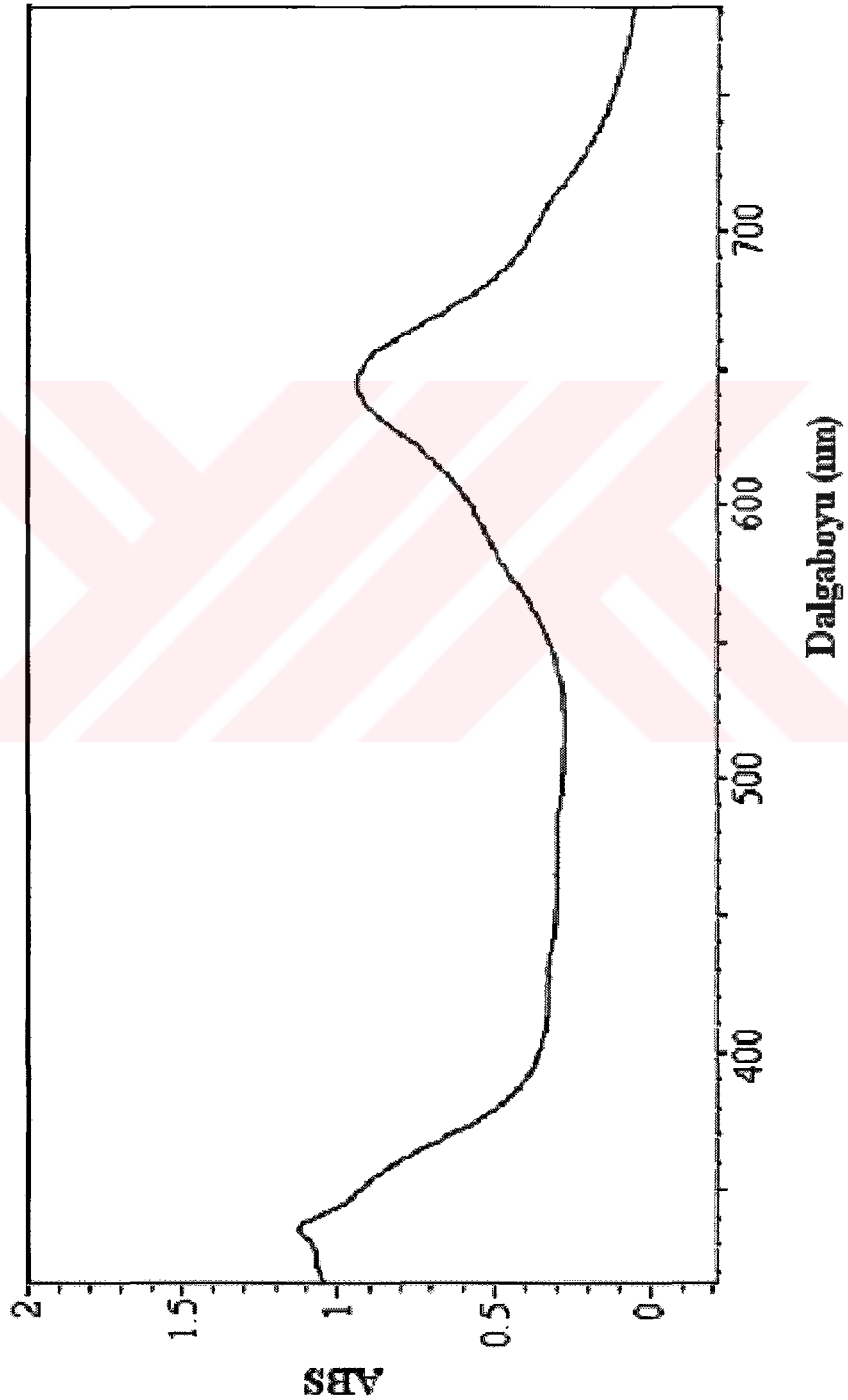
Sekil 4.10  $\{2,3,7,8,12,13,17,18\text{-oktakis}[2\text{-(2-naftalenkarboks)etiltilyo]} \text{H}^{21}\text{H}^{23}$  porfirazin  $\text{N}^{21}\text{N}^{22}\text{N}^{23}\text{N}^{24}\}(P6)$ 'nın  $^1\text{H}$  NMR spektrumu ( $\text{CDCl}_3$  içinde)



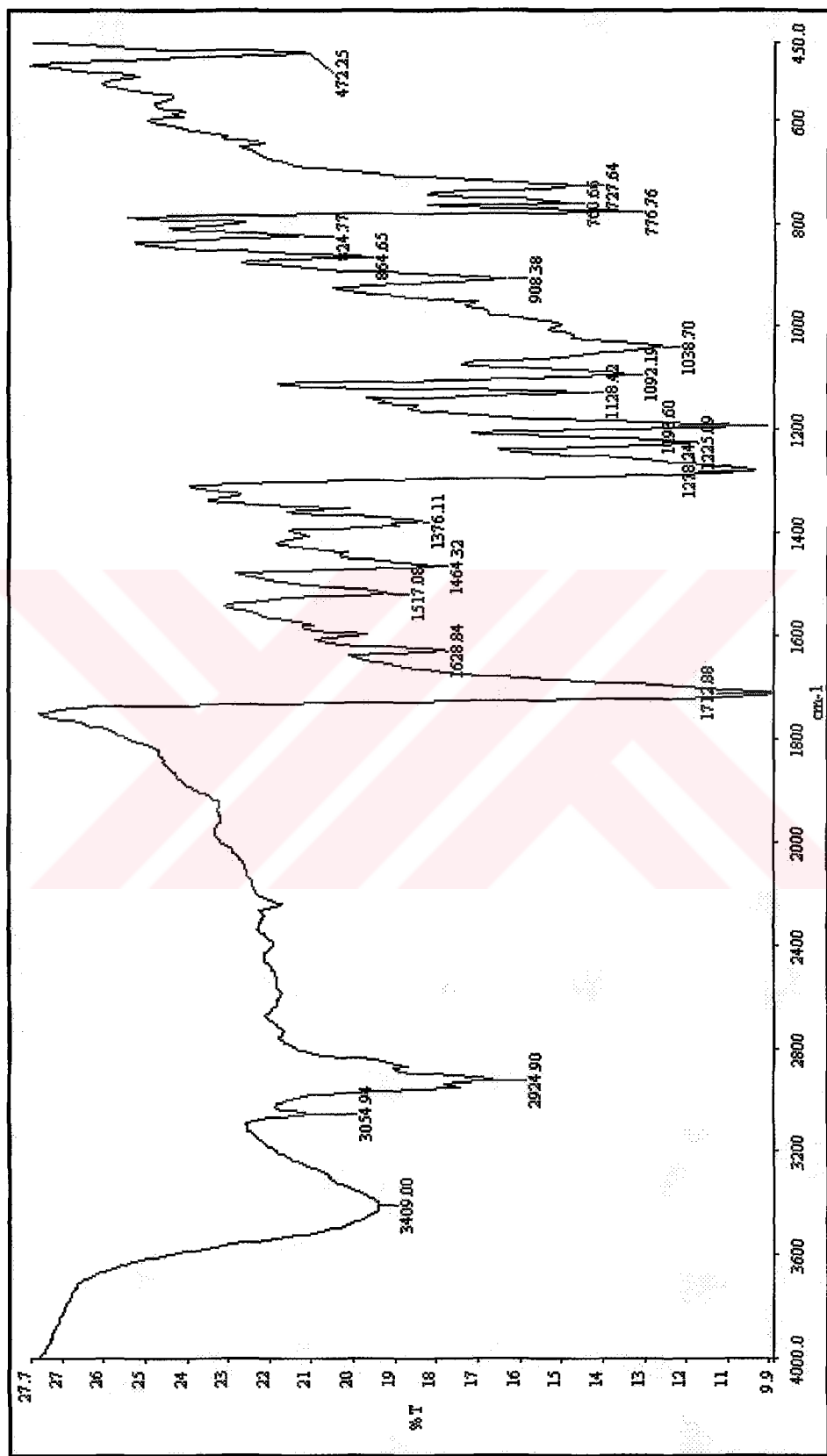
Sekil 4.11 {2, 3, 7, 8, 12, 13, 17, 18-oktakis [2-(2-nafthalenkarboksi)etil]o] H<sup>21</sup>H<sup>23</sup> porfirazin-N<sup>1</sup>N<sup>22</sup>N<sup>24</sup>(P6)}(P6)<sup>n</sup> <sup>13</sup>C NMR spektrumu (CDCl<sub>3</sub>)



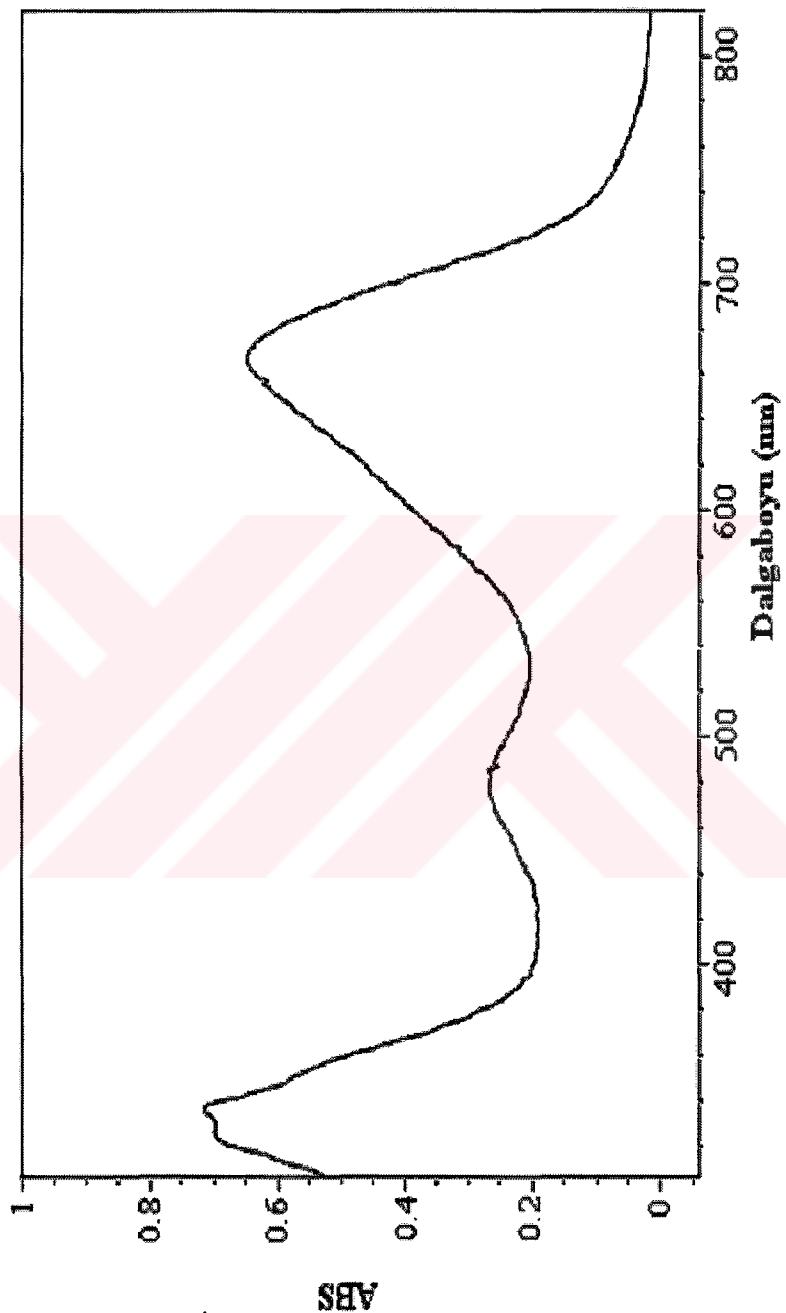
Sekil 4.12 {2, 3, 7, 8, 12, 13, 17, 18-oktakis [2-(2-naftalenkarboksje)etiliyo] porfirinato  $\text{N}^{21}\text{N}^{22}\text{N}^{23}\text{N}^{24}$ }kobalt (II) nin (P7), IR spektrumu (KBr tablet 4000-450  $\text{cm}^{-1}$ )



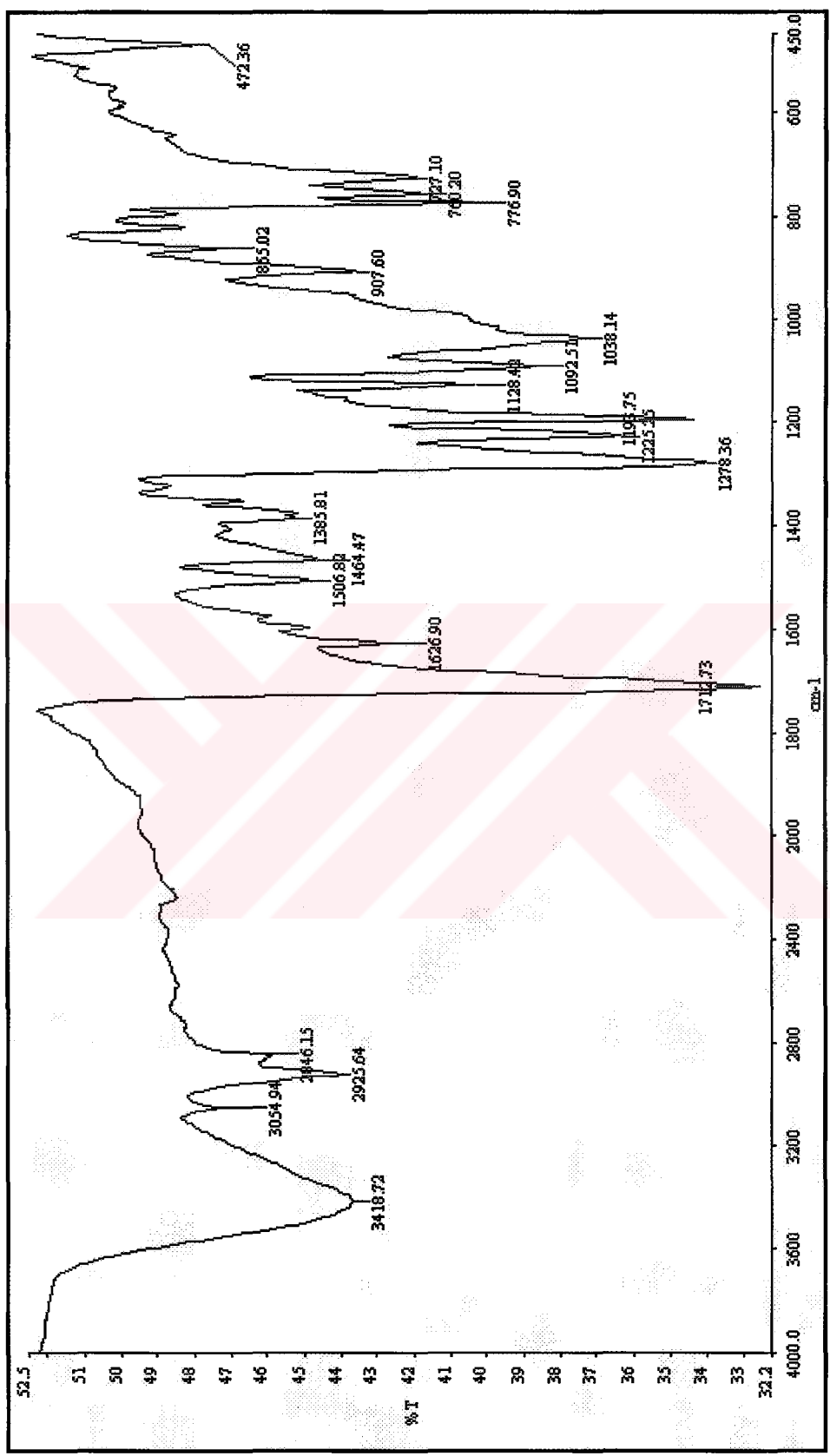
Sekil 4.13 {<sup>2</sup>, 3, 7, 8, 12, 13, 17, 18-oktakis [2-(2-naftalenkarboksietiliyo] porfirazinato N<sup>21</sup>N<sup>22</sup>N<sup>23</sup>N<sup>24</sup>}kobalt(II)'nin (P7), kloroform'da UV-Görünür Bölge spektrumu



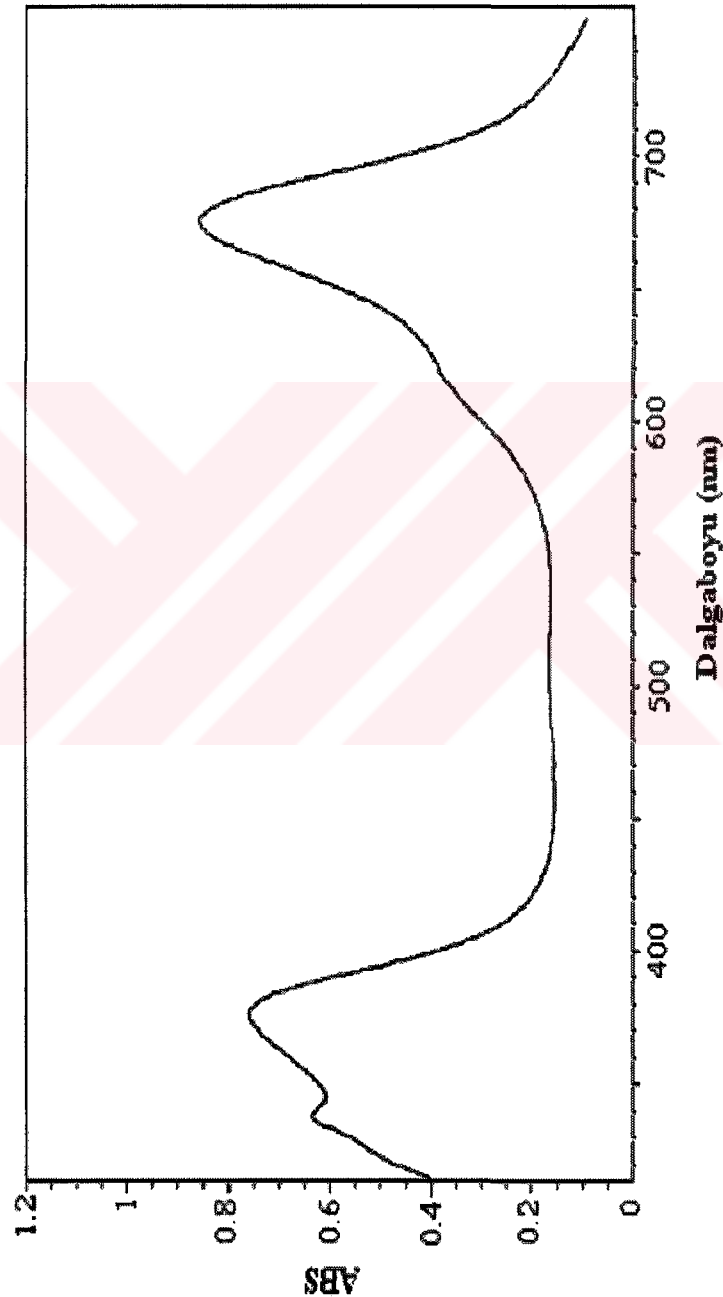
Sekil 4.14 {2, 3, 7, 8, 12, 13, 17, 18-oktakis [2-(2-naftalenkarboksi)jetiliyo] porfirazinato  $\text{N}^{21}\text{N}^{22}\text{N}^{23}\text{N}^{24}$ mikel(II)m}nin (P8) IR spektrum (KBr tablet 4000-450  $\text{cm}^{-1}$ )



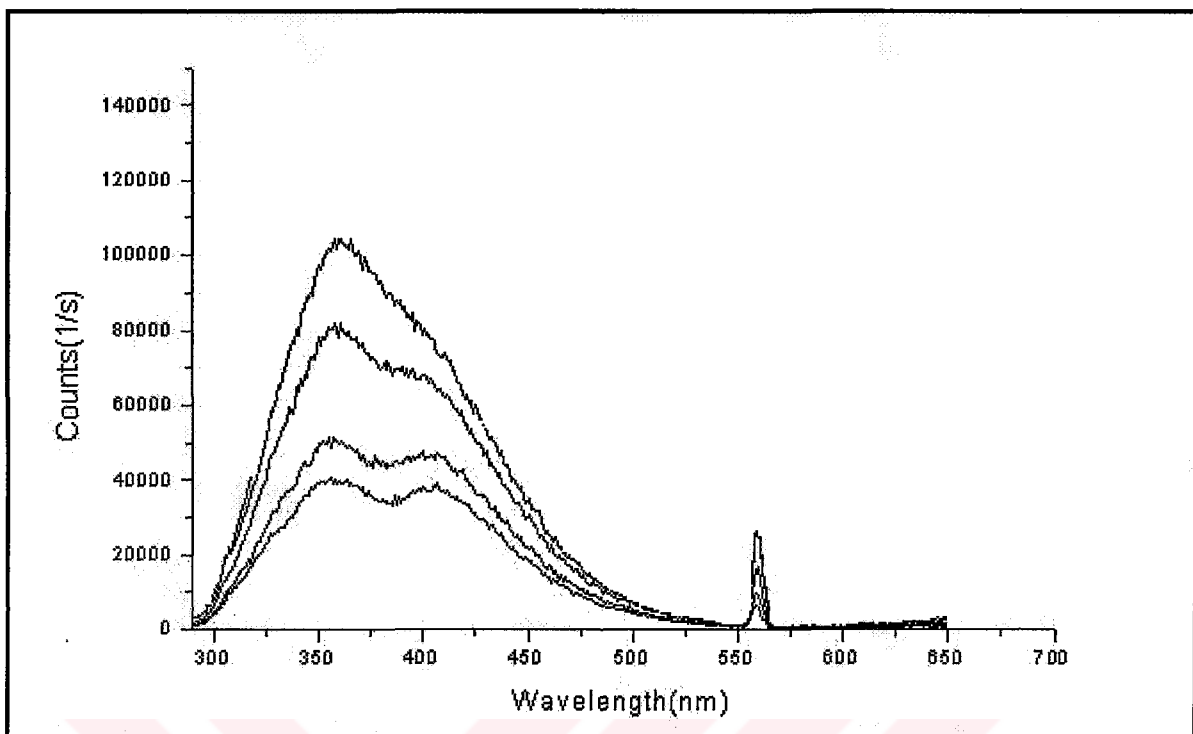
Sekil 4.15 {2, 3, 7, 8, 12, 13, 17, 18-oktakis [2-(2-naftalenkarbolsi)etiltiyol] porfirazinato N<sup>21</sup>N<sup>22</sup>N<sup>23</sup>N<sup>24</sup>}nikel(II)'nin (P8), kloroform'da UV-Görünür Bölge spektrumu



Sekil 4.16 {2, 3, 7, 8, 12, 13, 17, 18-oktakis [2-(2-nafthalenkarboksijetil)tiyo] porfirazinato N<sup>21</sup>N<sup>22</sup>N<sup>23</sup>N<sup>24</sup>'cinko(II)'nin (P9), IR spektrumu (KBr tablet 4000-450 cm<sup>-1</sup>)



Sekil 4.17 {2, 3, 7, 8, 12, 13, 17, 18-oktakis [2-(2-naftalenkarboksi)etiltiyo] porfirazinato  $\text{N}^{22}\text{N}^{23}\text{N}^{24}$ }çinko(II)'nın(P9), kloroform'da UV-Görünür Bölge spektrumu



Şekil 4.18 Farklı konsantrasyonlardaki ZnPz (P9)'un emisyon spektrumları.  $\lambda_{\text{exc.}} = 280 \text{ nm}$   
 $M = (2.3 \cdot 10^{-6}, 9.2 \cdot 10^{-6}, 1.61 \cdot 10^{-5}, 2.3 \cdot 10^{-5} \text{ M})$

## KAYNAKLAR

- Akkuş, H. ve Gül, A., (2001), "Octakis(ferrocene)-substituted Porphyrazines", *Transition Metal Chemistry.*, 26: 689-694.
- Anderson, M. E., Barrett, A. G. M. ve Hoffman, B. M., (1999), "Super-charged Porphyrazines. Synthesis and Physical Properties of Tetraazaporphyrins", *Inorg. Chem.*, 38:6143-6151.
- Anderson, M. E., Barett, A. G. M. ve Hoffman, B. M., (2000), "Binding of Octa-plus Porphyrazines to DNA", *Journal of Inorganic Biochemistry.*, 50: 257-260.
- Bahr, G. Ve Schleitzer, G., (1967), "Die Kondenzieren Spontanentschwefelung von Salzen und Estern der Cyandithioameisen-Soure. Freie Cyan Dithioameisensoure", *Chem. Ber.*, 10:8-26.
- Baumann, T. F., Sibert, J. W., Olmstead, M. M., Barrett, A. G. M., ve Hoffman, B. M., (1994), "Solitaire Porphyrazines: , X-Ray Crystal Structure, and Spectroscopy of [1,1'-Bis(diphenylphosphino)ferrocene]-[(nortphalocyanine)dithiolato]palladium(II)", *J. Am. Chem. Soc.*, 116: 2639-2640.
- Baumann, T. F., Nasir, M. S., Sibert, J. W., White, A. J. P., Olmstead, M. M., Williams, D. J., Barrett, A. G. M., ve Hoffman, B. M., (1996), "Solitaire-Porphyrazines: Synthetic, Structural, and Spectroscopic Investigation of Complexes of the Novel Binucleating Norphthalocyanines-2,3-dithiolato Ligand", *J. Am. Chem. Soc.*, 118: 10479-10486.
- Belviso, S., Ricciardi, G. ve Lelj, F., (2000), "Inter-ring Interactions and Peripheral Tail Effects on the Discotic Mezomorphism of 'free-base' and Co (II), Ni (II) and Cu (II) Alkenyl Porphyrazines", *J. Mater. Chem.*, 10: 297-304.
- Berezin, B. D., (1978), "Coordination Compounds of Porphyrins and Phthalocyanines", New York.
- Berezin, B. D., (1981), "Coordination Compounds of Porphyrins and Phthalocyanines", Whiley Interscience, New York.
- Braun, A. ve Tcherniac, J., (1907), "Über die Producte der Einwirkung von Acetanhydrid auf Phtalamid", *Ber. Deutsch. Chem. Ges.*, 40: 2709-2714.
- Chen, B. ve Tulinsky, A., (1972), "Redetermination of The Structure of Porphine", *J. Am. Chem. Soc.*, 4144-4151.
- Constable, E. C., (1990), "Metals and Ligand Reactivity", Ellis Horword Limited, England.
- Cook, A. H., ve Linstead, R. P., (1937), *J. Chem. Soc.*, 929.
- Davison, A. Ve Holm, R. H., (1967), "Metal Complex Derived from cis-1,2-dicyano-1,2-ethylenedithiolate and bis(trifluoromethyl)-1,2-dithiete", *Inorg. Synthesis*, 10:8-26.
- Diesbach, H., ve Von der Weid, E., (1927), *Helv.*, 10, 886.
- Eichhorn, H., Rutloh, M., Wöhrle, D. ve Stumpe, J., (1996), "Synthesis and Photochemical of Octacinnamoly-substituted Tetraazaporphyrins", *J. Chem. Soc. Perkin Trans.*, 2:1801-1811.
- Fischer, H. ve Endermann, F., (1937), "Synthese Tetra-imido-atio-porphyrins", *Justus Liebigs Ann. Chem.*, 531: 245-250.

Fitzgerald, J., Taylor, W. ve Owen, H., (1991), "Facile Synthesis of Substituted Fumaronitriles and Maleonitriles: Precursors to Soluble Tetraazaporphyrins", *Synthesis.*, 9: 686-688.

Gan, Q., Xiong, F., Li, S., Wang, S., Shen, S., Xu, H. ve Yang, G., (2005), "Synthesis and Photophysical Properties of a Series of Octaphenyl-Porphyrazine-Magnesium", *Inorganic Chem. Communications* 8., 3: 285-288.

Gürek G. A., (1996), "Tetraiy-Makrohalkaları İçeren Yeni Tip Ftalosiyanipler", Doktora Tezi, İstanbul Teknik Üniversitesi Fen Bilimleri Enstitüsü, İstanbul.

Goldberg, D. P., Michel, S. L. J., White, A. J. P., Williams, D. J., Barrett, A. G. M., ve Hoffman, B. M., (1998), "Molybdocene Porphyrazines: A peripheral Dithilone Metallacycle Fused To a Porphyrinic Core", *Inorg. Chem.*, 37: 2100-2001.

Gonca E., (2004), "Periferal konumlarda Naftalenli ve Fosforlu Gruplar İçeren Porfirazinler", Doktora Tezi, İstanbul Teknik Üniversitesi Fen Bilimleri Enstitüsü, İstanbul.

Guo, L., Ellis, D. E., Hoffman, B. M. ve Ishikawa, Y., (1996), "Ligand Substitution Effect Structure and Optical Properties of Nickel Porphyrazines", *Inorg. Chem.*, 35: 5304-5312.

Hambright, P., (1971), "Coordination Chemistry of Metalloporphyrins", *Coord. Chem. Rev.*, 247-258.

Hochmuth, D. H., Michel, S. L. J., White, A. J. P., Williams, D. J., Barrett, A. G. M., ve Hoffman, B. M., (2000), "C<sub>i</sub> Symmetric and Non-Centrosymmetric Crystalline Complex of [60] Fullerene with Octakis(dimethylamino)porphyratinato-Copper(II) and Nickel(II)", *Eur. J. Inorg. Chem.*, 593-596.

Kadish, K. M., Smith, K. M. and Guillard G., (2000), "The Porphyrin Handbook", Vol. 2, 301, Academic Press, San Diego, CA..

Kasuga, K. and Tsutsui, M., (1980), "Some New Developments in The Chemistry of Metallophthalocyanines", *Coord. Chem. Rev.*, 32, 1:67-95.

Khelevina, O. G., Chizhova, N. V. ve Stuzhin, P. A., (2000), "Modification of β-position in Porphyrazines by Substitution Reactions", *J. Porphyr. Phthalocya.*, 4: 555-563.

Khelevina, O. G., Rumyantseva, S. V., Chizhova, N. V., Stuzhin, P. A. ve Migalova, I. S., (2003), "Acid-base Properties of Octaaryltetraazaporphyrins", *Russian Journal of General Chemistry* 73., 3: 478-481.

Kobayashi, N., (2001), *Chem. Rev.*, . 99: 219.

Kudrevich, S. V. and van Lier, J. E., (1996), "Azaanalogs of Phthalocyanine: Syntheses and Properties", *Coord. Chem. Rev.*, 156:163-182.

Leznoff, C. C., Lever, A. B. P., (1989), "Phthalocyanines Properties and Application", 1, VCH, Weinheim, 1-54 ve 133-289.

Leznoff, C. C., Lever, A. B. P., (1993), "Phthalocyanines Properties and Application", 2, VCH, Weinheim.

Lever, A. B. P., (1965), *Adv. Inorganic and Radiochem.*, 7: 27.

Linstead, R. P., (1934), "Phthalocyanines", *J. Chem. Soc.*, 1016-1031.

- Linstead, R. P., Weiss, F. T., (1950), "Phthalocyanines and Related Compounds. XX. Further Investigations on Tetrabenzoporphine and Allied Substance", *J. Chem. Soc.*, 2975-2981.
- Luk'yanets, E. A., (1992), *Mol. Mater.*, 1: 209.
- Luo, Q., Cheng, S. ve Tian H., (2004), "Synthesis and Photochromism of a New Binuclear Porphyrazinato Magnesium (II)", *Tetrahedron Letters.*, 45: 7737-7740.
- McCleverty, J. A. ve Meyer, T. J., (2004), "Comprehensive Coordination Chemistry II", Vol. 9, Elsevier Pergamon, Amsterdam.
- McKeown, N. B., (1998), "Phthalocyanine Materials Synthesis, Structure and Function", Cambridge University Press.
- McKeown, N. B., (1999), *Adv. Mater.*, 11: 67.
- Michel, S. L. J., (The Advisor: Brain M. Hoffman), (2000), "Metallocene and Thia-Oxa Crown Porphyrazine", Doktora Tezi, Northwestern University, Evanston ve Chicago.
- Michel, S. L. J., Barrett, A. G. M., ve Hoffman, B. M., (2003), "Peripheral Metal-Ion Binding to Tris(thia-oxo crown) Porphyrazines", *Inorg. Chem.*, 42: 814-820
- Mitzel, F., Fitzgerald, S., Beeby, A. ve Faust, R., (2003), "Acetylenic Quinoxalinoporphyrazines as Photosensitisers for Photodynamic Therapy", *Chem. Eur. J.*, 5:1233-1241.
- Montalban, A. G., Sakellariou, E. G., Riquet, E., McCubbin Q. J., Barrett, A. G. M., ve Hoffman, B. M., (2001), "Phenanthroline-append Porphyrazines: Synthesis and Conversion Into Solitaire Ru(II) Complexes", *Inorganica Chimica Acta*, 317: 143-148.
- Morelli, G. and Ricciardi, G., (1991), "Discotic Mesomorphism of The 2,3,7,8,12,13,17,18-octakis(octylthio)tetrazaporphyrin Copper (II) complex", *Chemical Physics Letters*, 185 :468-472.
- Moser, F. H., (1983), "The phthalocyanines, Manufacture, Applications, and Properties", CRC, Boca Raton, Florida.
- Nalwa, H. S., Hanack, M., Pawlowski, G. ve Engel, M. K., (1999), "Third-order Nonlinear Optical Properties of Porphyrazine, Phthalocyanine and Naphthalocyanine Germanium Derivatives: Demonstrating the Effect of  $\pi$ -conjugation Length on Third-order Optical Nonlinearity of Two-dimensional Molecules", *Chemical Physics*, 245: 17-26.
- Pamuk, F., (2000), "Biyokimya", A. Ü., Fen Fakültesi, Ankara.
- Poon, K. W., Liu, W., Chan, P. K., Yang, Q., Chan, T. W. D., Mak, T. C. W., Ng, D. K. P., (2001), *J. Org. Chem.*, 66 :1553.
- Pullen, A. E., Faulman, C. ve Cassoux, P., (1999), "Synthesis and Investigation of Chalcogen Atom Substituted Dinitriles and Porphyrazines", *Eur. J. Inorg. Chem.*, 269-276.
- Prasad, R ve Kumar, A., (2004), "Synthesis of New Octakis(benzylthio)tetraazaporphyrin Complexes with Bivalent Transition Metal Ions and an Investigation of Their Spectral, Redox and Catalytic Properties", *Transition Metal Chemistry* 29., 714-721.

- Riccardi, G., Bencini, A., Bavoso, A., Rosa, A., Lelj, F. ve Bonosi, F., (1996), "Synthesis, Structure, Magnetic, Spectroscopic and Electrochemical Behaviour of chloro-iron (III) and Manganese (III) complex of 2,3,7,8,12,13,17,18-octakis(ethylsulfanly)-5,10,15,20-tetraazaporphyrin", *J. Chem. Soc. Dalton Trans.*, 2799-2807.
- Ricciardi, G., Ricciardi, G. ve Lelj, F., (1998), "Synthesis, Spectroscopy and Electrochemistry of Lanthanide Bis(ethylsulfonly) Tetraazaporphyrins", *Journal of Porphyrins and Photo.*, 2: 177-188.
- Ricciardi, G., Rosa, A., Ciofin, L. ve Bennini, A., (1999), "Synthesis, Structure and Physicochemical Properties of ((Ethylsulfanly)porphyratinato)Cobalt (II). Metal-Ligand Bonds in Co(OESPz) and in Related Cobalt (II) Tetrapyrroles: Insights from a Density Functional Study", *Inorg. Chem.*, 38: 1422-1431.
- Ricciardi, G., Belviso, S. and Lelj, F., (2000), "The Mn(OESPz)(OESPz)<sup>2-</sup>·2, 3, 5, 7, 8, 12, 13, 17, 18-Octakis(ethylsulfonyl)-5, 10, 15, 20-tetraazaporphyrinato Dianion) Complex in Situ Regenerative Defluorinating Agent", *Inorg. Chem.*, 39: 1618-1620
- Rojo, G., de la Torre, G., Garcia-Ruiz, J., Ledoux I., Torres, T., Zyss, J. ve Lopez-Agullo, F., (1999), "Novel Unsymmetrically Substituted Push-Pull Phthalosyanines for Second-Order Nonlinear Optics", *Chemical Physics*, 245: 27-34.
- Rodriguez-Morgade, M. S. ve Stuzhin, P. A., (2004), "The Chemistry of Porphyrazines: an Overview", *J. Porphyrins Phthalocyanines*, 8: 1129-1165.
- Sağlam, Ö. ve Gül, A., (2001), "Porphyrazines with Appending Eight Crown Ethers", *Polyhedron*, 20: 269-275.
- Sakamoto, K., Kato, T., Kawaguchi, T., Ohno-Okumura, E., Urano, T., Yamaoka, T., Suzuki, S. ve Cook, M. J., (2002), "Photosensitizer Efficacy of Non-peripheral Substituted Alkylbenzopyridoporphyrazines for Photodynamic Therapy of Cancer", *Journal of Photochemistry and Photobiology*, 153: 245-253.
- Sakellaria, E. G., Montalban, A. G., Meunier, H. G., Ostler, R. B., Rumbles, G., Barrett, A. G. M. ve Hoffman, B. M., (2000), "Synthesis and Photophysical Properties of Peripherally Metallated bis(dimethylamino)porphyrazines", *Journal of Photochemistry and Photobiology*, 136: 185-187.
- Sakellariou, E. G., Montalban, A. G., Meunier, H. G., Rumbles, G., Philips, D., Oster, R. B., Shuling, K., Barrett, A. G. M., ve Hoffman, B. M., (2002), "Peripherally Metalated Secoporphyrazines: A New Generation of Photoactive Pigments", *Inorg. Chem.*, 41: 2182-2187.
- Scheider, W., (1975), "Two-body Diffusion Problem and Application to Reaction Kinetics", *Struct. Bonding*, 123-137.
- Schramm, C. J. ve Hofmann, B. M., (1980), "Bis(alkilthio)tetraazaporphyrins", *Inorg. Chem.*, 19: 383-385.
- Sibert, J. W., Baumann, T. F., Williams, D. J., White, A. J. P., Barrett, A. G. M., ve Hoffman, B. M., (1996), "Gemini-Porphyrazines: Then Synthesis and Characterization of Metal-Capped cis- and trans-Porphyrazine Tetrathiolates", *J. Am. Chem. Soc.*, 118: 10487-10493.

- Simmons, H. E., Blomstrom, D. C., ve Vest, R. D., (1962), "Thiacyanocarbons II. Chemistry and Disodium Dimercaptomaloenitrile", *J. Am. Chem.Soc.*, 84: 4756-4771.
- Skoog, D. A., Holler, F. J. ve Niemar, T. A., (1998), "Principles of Instrumental Analysis", Vol. 5., Harcourt Brace& Company., Florida
- Stuzhin, P. A., Khelevina, O. G., (1996), "Azaporphyrins: Structure of The Reaction Center and Reactions of Complex Formation", *Coord. Rev.*, 147: 41-86.
- Stuzhin, P. A., (1999), "Azaporphyrins and Phthalocyanines as Multicentre Conjugated Amphalites", *Journal of Porphyrins and Phthalocyanines*, 3: 500-513.
- Stuzhin, P. A., Kabesheva, E. V. ve Khelevina, O. G., (2003), "Rhodium(III) and Iridium(III) Complexes with Octaphenyltetraazaporphine: Synthesis and Study of Their Acid Forms in Proton-Donor Media", *Russian Journal of Coordination Chem.*, Vol. 29, 5: 352-356.
- Thamae, M., ve Nyokong, T., (1999), "Cobalt(II) Porphyrazine Catalysed Reduction of Nitrite", *Journal of Electroanalytical Chemistry.*, 470: 126-135.
- Tsai, C. Y., Chen, S.P. ve Wen, T.C., (1998), "Nonlinear Absorption and Refraction in Porphyrazine Derivatives", *Chemical Physics.*, 240 : 191-196.
- Van Nostrum, C. F. ve Nolte, R. J. M., (1996), "Functional Supromolecular Materials Self-assembly of Phtalocyanines and Porphyrines", *Chem. Commun.*, 2385-2392.
- Van Nostrum, F. C., Benneker, F. B. G., Brussaard, H., Kooijman, H., Veldman, N., Spek, A. L., Schoonman, J., Feiters, C. M. ve Nolte, R. J. M., (1996), "Dithiacrown Ether Substituted Porphyrazines: Synthesis, Single-Crystal Structure, and Control of Aggregation in Solution by Complexation of Transition-Metal Ions", *Inorg. Chem.*, 35: 959-969.
- Velazquez, C. S., Broderick W. E., Sabat, M., Barrett, A. G. M., ve Hoffman, B. M., (1990), "Metal-Encapsulated Porphyrazines: Synthesis, X-Ray Crystal Structure, and Spectroscopy of a Tetratin-star-Ni(porphyrazine)S<sub>8</sub> Complex", *J. Am. Chem. Soc.*, 112: 7408-7410.
- Vesper, J. M., Salaita, K., Zong, H., Mirkin, C. A., Barett, A. G. M. ve Hoffman, B. M., (2004), "Surface-Bound Porphyrazines: Controlling Reduction Potentias of Self-Assembled Monolayer through Molecular Proximity/Orientation to a Metal Surface", *J. Am. Chem. Soc.*, 126: 16653-16658.
- Walley, M., (1961), *J. Chem. Soc.*, 866
- Wolf, W., Degener, E. ve Petersen, S., (1960), "Dicyano-dithia-cyclohexen, ein Neues Heterocyclisches Dinitril Zur Herstellung von Phthalocyaninen", *Angew. Chem.*, 24: 963-968.
- Zhao, M., Stern, C., Barrett, A. G. M., ve Hoffman, B. M., (2003), "Porphyrazines as Molecular Scaffolds: Periphery-Core Spin Coupling between Metal Ions of a Schiff Base Porphyrazine", *Angew. Chem. Int. Ed.*, 42: 462-465.

**ÖZGEÇMIŞ**

Doğum Tarihi	23-12-1979	
Doğum Yeri	Babaeski/Kırklareli	
Lise	1993-1996	Babaeski Lisesi
Lisans	1998-2002	Uludağ Üniversitesi Fen-Edebiyat Fak. Kimya Bölümü
Yüksek Lisans	2002-2005	Yıldız Teknik Üniversitesi Fen Bilimleri Enstitüsü Kimya Anabilim Dalı, Anorganik Kimya Programı

